

# RAPPORT

## Trillingsonderzoek Colosseum- en Rosestraatplot Rotterdam

Klant: StiGaM

Referentie: BG7020-MI-RP-231117-0944

Status: Definitief/01

Datum: 17 november 2023

# Projectgerelateerd

HASKONINGDHV NEDERLAND B.V.

George Hintzenweg 85  
3068 AX Rotterdam  
Netherlands  
Mobility & Infrastructure

+31 88 348 91 00 [T](#)  
[info@rhdhv.com](mailto:info@rhdhv.com) [E](#)  
[royalhaskoningdhv.com](http://royalhaskoningdhv.com) [W](#)

Titel document: Trillingsonderzoek Colosseum- en Rosestraatplot Rotterdam

Sub titel:

Referentie: BG7020-MI-RP-231117-0944

Uw kenmerk

Status: Definitief/01

Datum: 17 november 2023

Projectnaam: Bestemmingsplan Colosseumweg en Rosestraat

Projectnummer: BG7020-136-100

Auteur(s): Hans Schinck

Opgesteld door: Hans Schinck

Gecontroleerd door:

Datum: 13-11-2023

Goedgekeurd door: Koen Bos

Datum: 17-11-2023

Classificatie

Projectgerelateerd

Behoudens andersluidende afspraken met de Opdrachtgever, mag niets uit dit document worden verveelvoudigd of openbaar gemaakt of worden gebruikt voor een ander doel dan waarvoor het document is vervaardigd.  
HaskoningDHV Nederland B.V. aanvaardt geen enkele verantwoordelijkheid of aansprakelijkheid voor dit document, anders dan jegens de Opdrachtgever.

Let op: dit document bevat mogelijk persoonsgegevens van medewerkers van HaskoningDHV Nederland B.V.. Voordat publicatie plaatsvindt (of anderzins openbaarmaking), dient dit document te worden geanonimiseerd of dient toestemming te worden verkregen om dit document met persoonsgegevens te publiceren. Dit hoeft niet als wet- of regelgeving anonimiseren niet toestaat.

## Inhoud

<b>1.</b>	<b>Inleiding</b>	<b>1</b>
<b>2.</b>	<b>Toetsingskader trillingen</b>	<b>1</b>
<b>3.</b>	<b>Metingen trillingen</b>	<b>4</b>
<b>4.</b>	<b>Beschouwing trillingen in de woningen</b>	<b>6</b>
<b>5.</b>	<b>Samenvattende conclusie</b>	<b>11</b>

## 1. Inleiding

Het onderzoek zal worden uitgevoerd ter onderbouwing van het bestemmingsplan. Het project bestemmingsplan Colosseum- en Rosestraatplot Rotterdam bestaat uit 2 gebieden met variërende bouwhoogte in de nabijheid van het spoor. Het aspect trillingen is in de voorliggende memo onderzocht.

### Begrenzing plangebied

De Colosseumplot ligt ten zuiden van het spoor en ten zuiden van Varkenoordseviaduct/Laan op zuid en de metrolijn. Aan de zuidkant wordt De Colosseumplot begrensd door de Colosseumweg.

De Rosestraatplot ligt ten zuiden van het spoor en ten noorden van Varkenoordseviaduct/Laan op zuid en de metrolijn.

In het westen wordt het plangebied begrensd door de S120. Op afbeelding 1 is de Colosseumplot en de Rosestraatplot beiden weergegeven.



Afbeelding 1: Locatie Colosseumplot (grijs)

Locatie Rosestraatplot

## 2. Toetsingskader trillingen

In Nederland bestaat geen specifiek juridisch kader voor trillingen zoals geldt voor geluid met de Wet Geluidhinder. Het juridisch kader wordt door wetgeving bepaald welke niet specifiek voor trillingen is bestemd. Het kader wordt door het onderstaande bepaald:

In het ruimtelijk spoor is het kader de Wet Ruimtelijke Ordening (Wro). Voor het aspect trillingen dienen bestemmingen ruimtelijk zorgvuldig te worden gescheiden.

In 2019 is de Handreiking nieuwbouw en spoortrillingen gepubliceerd. Hierin is omschreven hoe binnen een zone van 100 meter moet worden omgegaan met spoortrillingen. Qua normstelling wordt verwezen naar de SBR B richtlijn “*hinder voor personen in gebouwen*”. In de gebruiksfase van de infrastructuur is de SBR B richtlijn “*hinder voor personen in gebouwen*” als normstelling te hanteren. Ook is de SBR A richtlijn “*schade aan gebouwen*” als normstelling te hanteren met betrekking tot de aanlegfase. De beoordelingssystematiek in de SBR B richtlijn “*hinder voor personen in gebouwen*” kent streefwaarden.

### SBR trillingsrichtlijn deel B (hinder voor personen in gebouwen)

In het geval van trillingen langs infrastructuur tijdens de gebruiksfase is richtlijn B (hinder voor personen in gebouwen) van belang.

De toetsing van de trillingsniveaus aan de SBR-richtlijn B betreft de zogenoemde  $V_{max}$  en  $V_{per}$ . De  $V_{max}$  betreft de maximale trillingssterkte die voorkomt. Deze wordt apart getoetst voor de dag/avondperiode en de nachtperiode. De  $V_{per}$  betreft de gemiddelde trillingssterkte. Ook deze waarde wordt apart bepaald en getoetst voor de dag/avondperiode en de nachtperiode. Voor de exacte definitie en bepalingsmethode van deze toetswaarden wordt verwezen naar de SBR-richtlijn.

De streefwaarden zijn er op gericht om hinder door trillingen te voorkomen of zoveel mogelijk te beperken. Overschrijding van deze streefwaarden dient dan ook zoveel mogelijk te worden vermeden. De situatie waaronder de te beoordelen trillingssterkte optreedt, is bij de afweging van de toe te laten trillingssterkte van belang. De SBR-richtlijn maakt daarbij onderscheid tussen een bestaande situatie, een nieuwe situatie en een gewijzigde situatie.

De voorliggende situatie is een nieuwe situatie in het licht van de SBR-richtlijn. In de gebouwen zijn woonfuncties aanwezig. Voor deze functies gelden de volgende streefwaarden zoals opgenomen in tabel 1.

**Tabel 1: Streefwaarden (SBR richtlijn).**

Gebouwfunctie	A1 (dag / avond / nacht)	A2 (dag / avond / nacht)	A3 (dag / avond / nacht)
Woning nieuwe situatie	0.1 / 0.1 / 0.1	0.4 / 0.4 / 0.2	0.05 / 0.05 / 0.05
Woning bestaande situatie	0.2 / 0.2 / 0.2	0.8 / 0.8 / 0.4	0.1 / 0.1 / 0.1

Er wordt voldaan aan de streefwaarden als:

- de waarde van de maximale trillingssterkte in de ruimte ( $V_{max}$ ) kleiner is dan A1, of als
- de waarde van de maximale trillingssterkte van een ruimte ( $V_{max}$ ) kleiner is dan A2 waarbij de gemiddelde trillingssterkte over de beoordelingsperiode voor deze ruimte ( $V_{per}$ ) kleiner is dan A3.

De eerste regel met A1 betreft de zogenoemde onderste streefwaarde. Als hieraan wordt voldaan dan is een nadere toetsing niet meer nodig.

De nadere toetsing met A2 en A3 betreft de zogenoemde streefwaarde A2 voor  $V_{max}$  en een streefwaarde A3 voor  $V_{per}$ . Als hieraan wordt voldaan dan wordt aan de beoordelingssystematiek voldaan.

De grootheid maximale trillingssterkte  $V_{max}$  en gemiddelde trillingssterkte  $V_{per}$  zijn dimensieloos [-].

Als er niet wordt voldaan aan de toetsingssytematiek wat betreft streefwaarden dient afhankelijk van de omstandigheden een afweging te worden gemaakt of de te beoordelen trillingssterkte al dan niet acceptabel is. Voor deze beoordeling wordt in de SBR-richtlijn verwezen naar bijlage 5 van de SBR-richtlijn. Daarin is aangegeven dat bij overschrijding van de streefwaarden aanvullend gebruik kan worden gemaakt van de kwalificatie van hinder zoals is aangegeven in de navolgende tabel 2 (uit SBR-richtlijn, bijlage 5).

**Tabel 2: Hinderclassificatie.**

<b>V<sub>max</sub></b>	<b>Hinderkwalificatie</b>
< 0,1	geen hinder
0,1 - 0,2	weinig hinder
0,2 - 0,8	matige hinder
0,8 - 3,2	Hinder
> 3,2	ernstige hinder

Het accepteren van (matige) hinder door overschrijding van de streefwaarden kan onder meer afhankelijk zijn van de mate waarin trillingssterkte voorkomt, de aanwezigheid van andere trillingsbronnen (de achtergrondtrillingen), de mogelijkheid tot het treffen van trillingsreducerende maatregelen en de historie. In geval van mogelijke hinder dienen de betrokken partijen te overleggen. Ernstige hinder is niet toelaatbaar.

Naast de “SBR B richtlijn Hinder voor personen” is er voor schade de “SBR-Richtlijn A schade aan gebouwen”. Voor schade is de topwaarde van de trillingssterkte V<sub>top</sub> relevant. Deze schade trillingssterkten V<sub>top</sub> wordt uitgedrukt in mm/s. Alhoewel het een andere grootheid betreft en andere meetpunten aan een woning kan gesteld worden dat de streefwaarden voor hinder veel maatgevender (lager) zijn dan de grenswaarden voor schade. Door het hanteren van de streefwaarden voor hinder wordt voorkomen dat schade grenswaarden worden overschreden.

Vermeldenswaardig is verder dat er specifiek voor spoorse tracé besluiten de Beleidsregel Trillinghinder Spoor (Bts) bestaat. Dit betekent dat indien het spoor relevant wordt gewijzigd en er een Tracébesluit wordt genomen door de minister er een trillingsonderzoek en indien nodig een maatregelen onderzoek plaats vind om het woon en leefklimaat in de bebouwing rond het spoor te beschermen.

### 3. Metingen trillingen

Het aspect trillingen wordt bepaald door de passages van de treinen. Ten noorden van het plangebied ligt een aantal sporen. Van 18 augustus t/m 29 augustus 2023 zijn trillingsmetingen op locatie verricht. Voor het trillingsonderzoek zijn er maaiveldmetingen aan passages van treinen verricht. Het spoor heeft een licht verhoogde ligging ten opzichte van het maaiveld bij de meetpunten.

De meetpunten zijn gekozen in de nabijheid van de footprint van de gebouwen aan de noordzijde de plangebieden en daar waar praktisch gezien een meetpunt kan worden geplaatst.

Tabel 3: afstanden meetpunten

meetpunt	MP1	MP2	MP3
Afstand meetpunt tot hart dichtstbijzijnde spoor	27 m	33 m	39 m

Afbeelding 3: Situatie meetpunt MP1, MP2 en MP3



Alle trillingsmetingen zijn conform de SBR B richtlijn "hinder voor personen in gebouwen" verricht met een vibra plus meetsysteem. Het vibra plus meetsysteem is tijdens de metingen met een sensor die drie richtingen registreert uitgerust. De sensor is op een 60 cm stalen pen die in de bodem zit bevestigd.

## Projectgerelateerd

**Foto 1 t/m 3: Meetopstelling MP1, MP2 en MP3.**



In bijlage 1 zijn de metingen grafisch weergegeven.

De metingen zijn van 18 augustus t/m 29 augustus 2023 verricht. De spoorintensiteiten zijn opgevraagd bij Prorail. In deze periode zijn er 541 goederentreinpassages geweest volgens opgave van Prorail, deze opgave staat in bijlage 2 weergegeven. Hiermee zijn de meetgegevens inclusief een relevant aantal goederentreinpassages.

In tabel 5 zijn de meetgegevens samengevat weergegeven.

**Tabel 5: Trillingssterkte in het maaiveld**

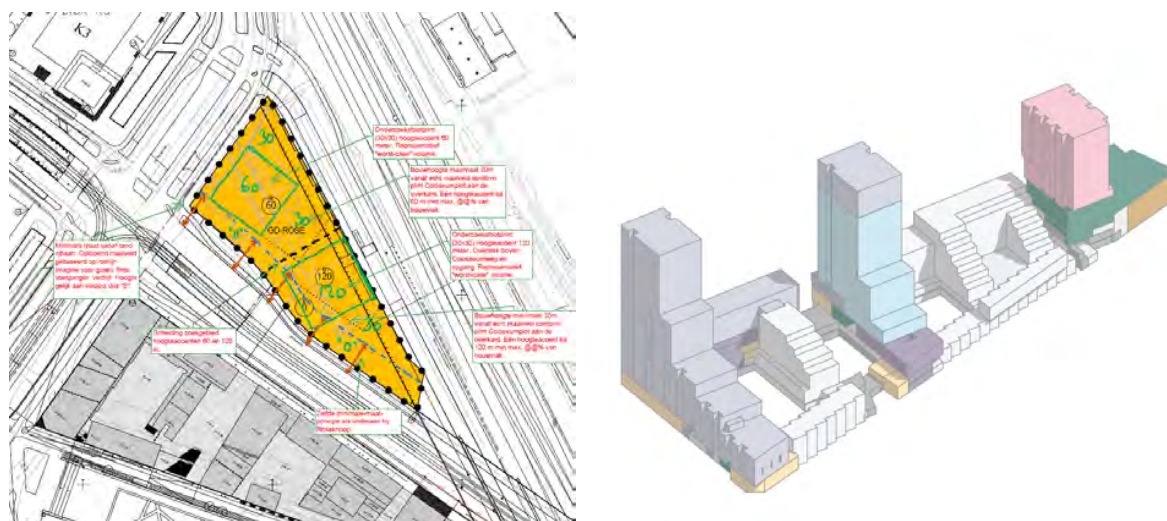
Meetpunt	MP1 Rosestraatplot westzijde op 27 m hart spoor	MP2 Rosestraatplot oostzijde op 33 m hart spoor	MP3 Colosseumplot op 40 m hart spoor
	Alle passages	Alle passages	Alle passages
$V_{per} [-]$ (Gemiddeld verticale $V_{max,eff}$ ) dag / avond / nacht	Verticaal $Z < 0,09 / 0,08 / 0,05$ Horizontaal dwars op spoor $Y < 0,18 / 0,14 / 0,06$ Horizontaal parallel aan spoor $X < 0,34 / 0,27 / 0,11$	Verticaal $Z < 0,06 / 0,05 / 0,03$ Horizontaal dwars op spoor $Y < 0,16 / 0,13 / 0,07$ Horizontaal parallel aan spoor $X < 0,13 / 0,10 / 0,05$	Verticaal $Z < 0,02 / 0,01 / 0,01$ Horizontaal dwars op spoor $Y < 0,01 / 0,00 / 0,01$ Horizontaal parallel aan spoor $X < 0,01 / 0,00 / 0,00$
$V_{max} [-]$ (Maximum verticale $V_{max,eff}$ )*	Verticaal $Z < 0,55$ Horizontaal dwars op spoor $Y < 1,3$ Horizontaal parallel aan spoor $X < 2,7$	Verticaal $Z < 0,4$ Horizontaal dwars op spoor $Y < 1,5$ Horizontaal parallel aan spoor $X < 1,0$	Verticaal $Z < 0,45$ Horizontaal dwars op spoor $Y < 0,3$ Horizontaal parallel aan spoor $X < 0,3$

\* overwegend

De verticale maximale trillingssnelheid  $V_{max}$  bedraagt ter hoogte van Rosestraatplot overwegend maximaal 0,55 en ter hoogte van Colosseumplot overwegend maximaal 0,45. De trillingen in het horizontale vlak zijn getalsmatig hoger en hebben overwegend hogere frequenties. De frequentie in verticale richting zijn overwegend  $< 10$  Hz. De frequentie in horizontale richting is overwegend  $> 10$  Hz.

## 4. Beschouwing trillingen in de woningen

In afbeelding 4 zijn de Rosestraatplot en Colosseumplot weergegeven. De hoogtes in de Colosseum- en Rosestraatplot bedragen respectievelijk 30 tot 120 m en 28 tot 68 m. De afstand tot het hart van het dichtstbijzijnde spoor in de Colosseumplot en Rosestraatplot bedragen respectievelijk 38 m en 23 tot 30 m.



Afbeelding 4: Weergave gebouwhoogten Rosestraatplot (links) en Colosseumplot (rechts).

In tabel 5 zijn de trillingssnelheden in het maaiveld weergegeven waar de gebouwen binnen 100 m afstand aan worden blootgesteld.

Tabel 5: Trillingssnelheden gebouwen.

gebouw	gebouw	gebouw		Trillingssnelheid meetpunt Maaiveld	Trillingssnelheid maaiveld gebouw	excitatie frequentie
naam	afstand r tot dichtstbijzijnde hart spoor [m]	hoogte [m]	trillings richting	Vmax op 40 m	Vmax r maaiveld	fe [Hz]
Colloseumplot blok C	30	21-51	verticaal	0,01	0,45	<10
Colloseumplot blok C	30	21-51	horizontaal	0,01	0,3	>10
Rosestraatplot	27	30-120	verticaal	0,01	0,55	<10
Rosestraatplot	27	30-120	horizontaal	0,01	2,7	>10

Op basis van de publicatie "Gedrag van constructies en funderingen" is de overdrachtsverhouding  $H_{xf}$  tussen trillingen op het maaiveld en de trillingen op de fundering voor hogebouw ( $> 20$  m) zichtbaar in tabel 6.

Tabel 6: Overdrachtsverhouding  $H_{xf}$ .

Frequentie (f)	Verticaal	Horizontaal
< 10 Hz	0,55	0,55
10-50 Hz	0,6-0,05*f	-

## Projectgerelateerd

Van de Colloseumplot is een VO gebouwontwerp vorhanden. In het ontwerp van de Colosseumplot gebouw blok C zitten tot verdieping 4 massieve breedplaat betonvloeren en vanaf verdieping 5 hollekanaalplaatvloeren met een maatgevende overspanning van 5,2 of 7,2 m. Van de Rosestraatplot is nog geen gebouwontwerp vorhanden. Voor de Rosestraatplot wordt aangenomen dat de vloeren met breedplaatvloeren met een overspanning 5,2 tot 7,8 m- worden gerealiseerd.

De overige overspanningen zijn minder maatgevend. Hierbij is 5,2 m de meest maatgevende overspanning qua opslingeringsfactor.

De eigenfrequentie  $f_e$  van een massief betonnen vloer met overspanning L bedraagt:

$$f_e = 130/L$$

De vergrotingsfactor  $H_{vf}$  van een vloerveld bedraagt:

$$H_{vf} = 0,4 + \sqrt{\frac{f_e}{76 \times \vartheta}}$$

$\zeta$  bedraagt 0,047 voor breedplaat betonvloeren

$\zeta$  bedraagt 0,030 voor kanaalplaat betonvloeren

De eigenfrequentie van een 5,2 m vloerveld is 25 Hz en de eigenfrequentie van een 7,2 m vloerveld bedraagt 18 Hz. Beide eigenfrequenties liggen ver van de excitatiefrequentie. Om die reden vindt er geen versterking plaats.

### Afstandsafname trillingen

Op grotere afstand van het spoor nemen de trillingen in het maaiveld af ten opzichte van de twee meetpunten in het maaiveld. De afname kan op basis van de empirische formule van Barkan voor trillingen in het verre veld van een homogeen isotrope halfruimte worden bepaald. Voor de overdracht van trillingen door de bodem wordt gebruikgemaakt van de formule van Barkan [Vibration of soils and foundations Richart, Hall en Woods Prentice Hall 1970].

$$V_R = V_{R0} * \left[ \frac{R_0}{R} \right]^n e^{-\alpha(R-R_0)}$$

Waarin:

$V_R$  trillingssterkte (m/s) op een afstand R van de bron;

$V_{R0}$  trillingssterkte (m/s) op een afstand  $R_0$  van de bron;

R afstand tussen immissiepunt en de bron;

$R_0$  afstand tussen meetpunt en de bron;

$\alpha$  materiaaldemping in de bodem (1/m);

n  $n = 1$  tot 2 voor P- en S-golven;

$n = 0.5$  voor R-golven.

De geometrische demping is afhankelijk van het type golf en de richting vanuit de bron waarin de trillingsuitbreiding plaatsvindt. Voor de R (Rayleigh)-golven of oppervlaktegolven ( $n = 0.5$ ) is de geometrische demping kleiner dan voor de P-(pressure) golven of compressiegolven en de S-(shear) golven of schuifgolven.

Dit geeft voor de Rayleigh-golven op grotere afstand van de bron ten opzichte van de P- en S-golf de grootste energie (>67%). De materiaal demping  $\alpha$  is op basis van een worst case aanname 0,01 [-] gekozen.

De metingen zijn op meetpunten in de nabijheid van de dichtstbijzijnde geprojecteerde gebouwen tot het spoor verricht. De onderstaande beschouwing is gebaseerd op de worst case afstand per gebouw (noordzijde). Dit betekent dat, indien de afstand tot het spoor groter is (zuidzijde van de gebouwen), de niveaus lager kunnen zijn. De mate van afname voor de zuidzijde van de gebouwen wordt bepaald door de formule van Barkan.

## Projectgerelateerd

**Tabel 7: Schatting trillingen Vmax vloervelden noordoostzijde gebouwen.**

Gebouw		excitatie frequentie	overdracht fundering	fundering	eigen frequentie vloer	Opslinger factor massieve breedplaat vloer	Vloer worst case prognose incl. opslinger-factor	Vloer prognose excl. opslinger-factor	Toets waarde Vmax [dag avond nacht]	Toetsing voldoet
Naam	trillings richting	fe [Hz]	Hxf [-]	Vmax [-]	fn [Hz]	Hvl [-]	Vmax [-]	Vmax [-]	woningen	
Colloseumplot blok C	verticaal	<10	0,55	0,31	25	3,71	1,15	0,31*	0,4 / 0,4 / 0,2 0,8 / 0,8 / 0,4	Ja
Colloseumplot blok C	horizontaal	>10	0	0,00	25	3,71	0,00	0,00	0,4 / 0,4 / 0,2 0,8 / 0,8 / 0,4	Ja
Rosestraatplot	verticaal	<10	0,55	0,30	25	3,05	0,92	0,30*	0,4 / 0,4 / 0,2 0,8 / 0,8 / 0,4	Ja
Rosestraatplot	horizontaal	>10	0	0,00	25	3,05	0,00	0,00	0,4 / 0,4 / 0,2 0,8 / 0,8 / 0,4	Ja

\* I.v.m. ligging excitatie frequenties t.o.v. de eigenfrequentie is een opslingerfactor niet van toepassing

In tabel 7 is op basis van de maaiveldmetingen en de analytische formules een schatting gegeven van de maximaal te verwachten trillingssterkte  $V_{max}$  in de vloervelden van de woningen.

Tabel 8: Schatting trillingen Vper vloervelden noordoostzijde gebouwen.

gebouw		excitatie frequentie	overdracht fundering	fundering	eigen frequentie vloer	Opslinger factor massieve breedplaat vloer	Vloer worst case prognose incl. opslinger-factor	Toets waarde Vmax [dag avond nacht]	toetsing
Naam	trillings richting	fe [Hz]	Hxf [-]	Vper [-]	fn [Hz]	Hvl [-]	Vper [-]	woningen	
Colloseumplot blok C	verticaal	<10	0,55	0,01	25,0	3,71	0,05	0,01	0,05 / 0,10
Colloseumplot blok C	horizontaal	>10	0	0,00	25,0	3,71	0,00	0,00	0,05 / 0,10
Rosestraatplot	verticaal	<10	0,55	0,05	25,0	3,05	0,15	0,05	0,05 / 0,10
Rosestraatplot	horizontaal	>10	0	0,00	25,0	3,05	0,00	0,00	0,05 / 0,10

In tabel 8 is op basis van de maaiveldmetingen en de analytische formules een schatting gegeven van de maximaal te verwachten trillingssterkte  $V_{per}$  in de vloervelden van de woningen.

#### Maximale trillingssterkte

De maximale trillingssterkte  $V_{max}$  (0,31) in de woningen van de Rosestraatplot ten gevolge van de passages van de treinen voldoet naar verwachting niet aan de streefwaarden voor een nieuwe situatie A2 (0,2) voor woonfunctie in de nachtperiode.

De maximale trillingssterkte  $V_{max}$  (0,31) in de woningen van de Rosestraatplot ten gevolge van de passages van de treinen voldoet naar verwachting aan de streefwaarden voor een bestaande situatie A2 (0,4) voor woonfunctie in de nachtperiode.

De maximale trillingssterkte  $V_{max}$  (0,30) in de woningen van de Colosseumplot ten gevolge van de passages van de treinen voldoet naar verwachting niet aan de streefwaarden voor een nieuwe situatie A2 (0,2) voor woonfunctie in de nachtperiode.

De maximale trillingssterkte  $V_{max}$  (0,30) in de woningen van de Colosseumplot ten gevolge van de passages van de treinen voldoet naar verwachting aan de streefwaarden voor een bestaande situatie A2 (0,4) voor woonfunctie in de nachtperiode.

#### Gemiddelde trillingssterkte

Op basis van de meetwaarde van de gemiddelde trillingssterkte  $V_{per,meet}$  is de verwachting dat de gemiddelde trillingssterkte  $V_{per}$  in dag-, avond- en nachtperiode in de woningen in de Rosestraatplot en de Colosseumplot voldoet aan de streefwaarden voor een nieuwe situatie voor een woonfunctie ( $A3=0,05$ ).

Op basis van de beschouwde verwachtingen zijn geen aanvullende maatregelen nodig.

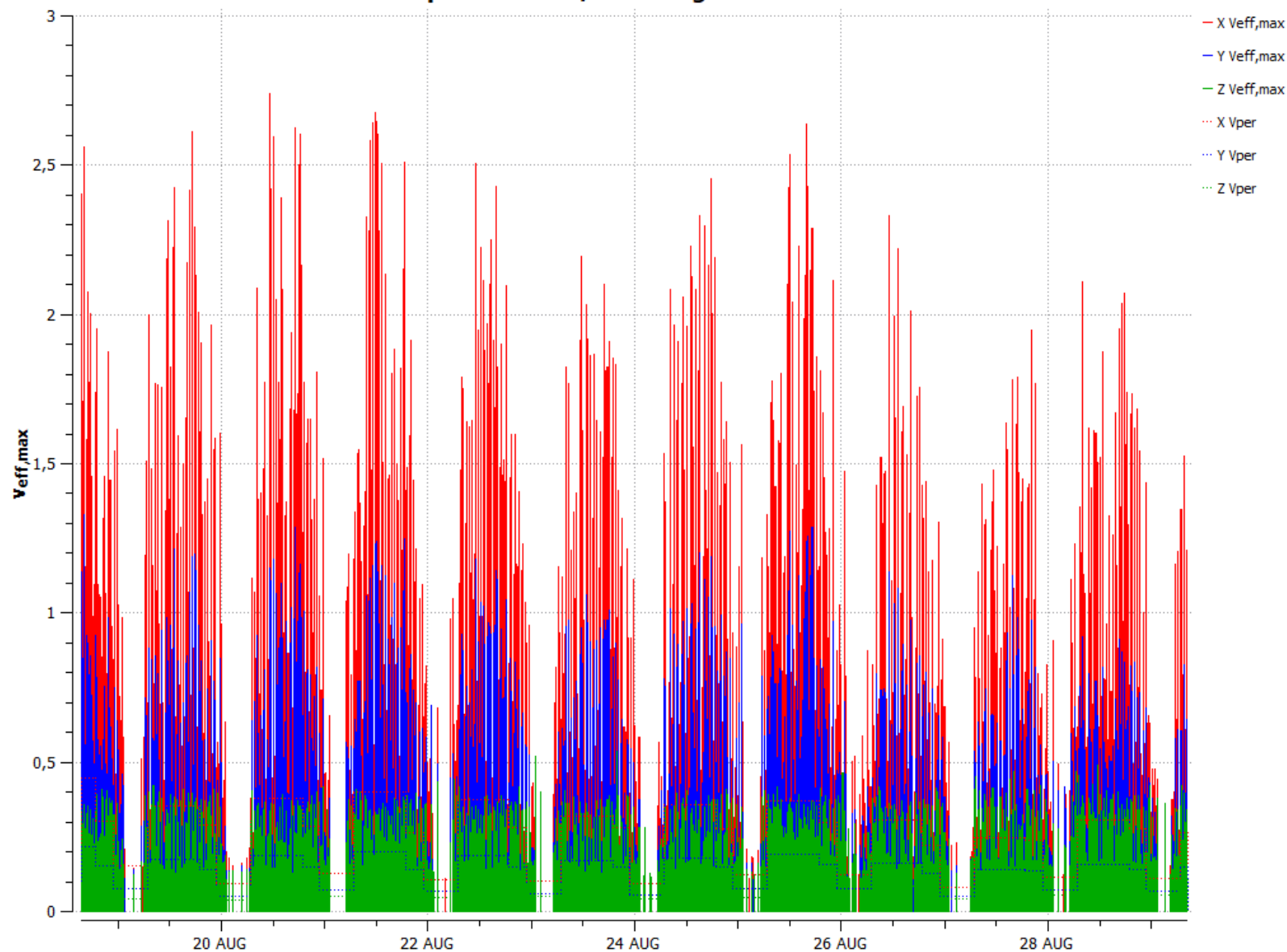
## 5. Samenvattende conclusie

Op basis van trillingsmetingen in het maaiveld en een worst case beschouwing voor de spoorzijde van de gebouwen worden de volgende conclusies geformuleerd:

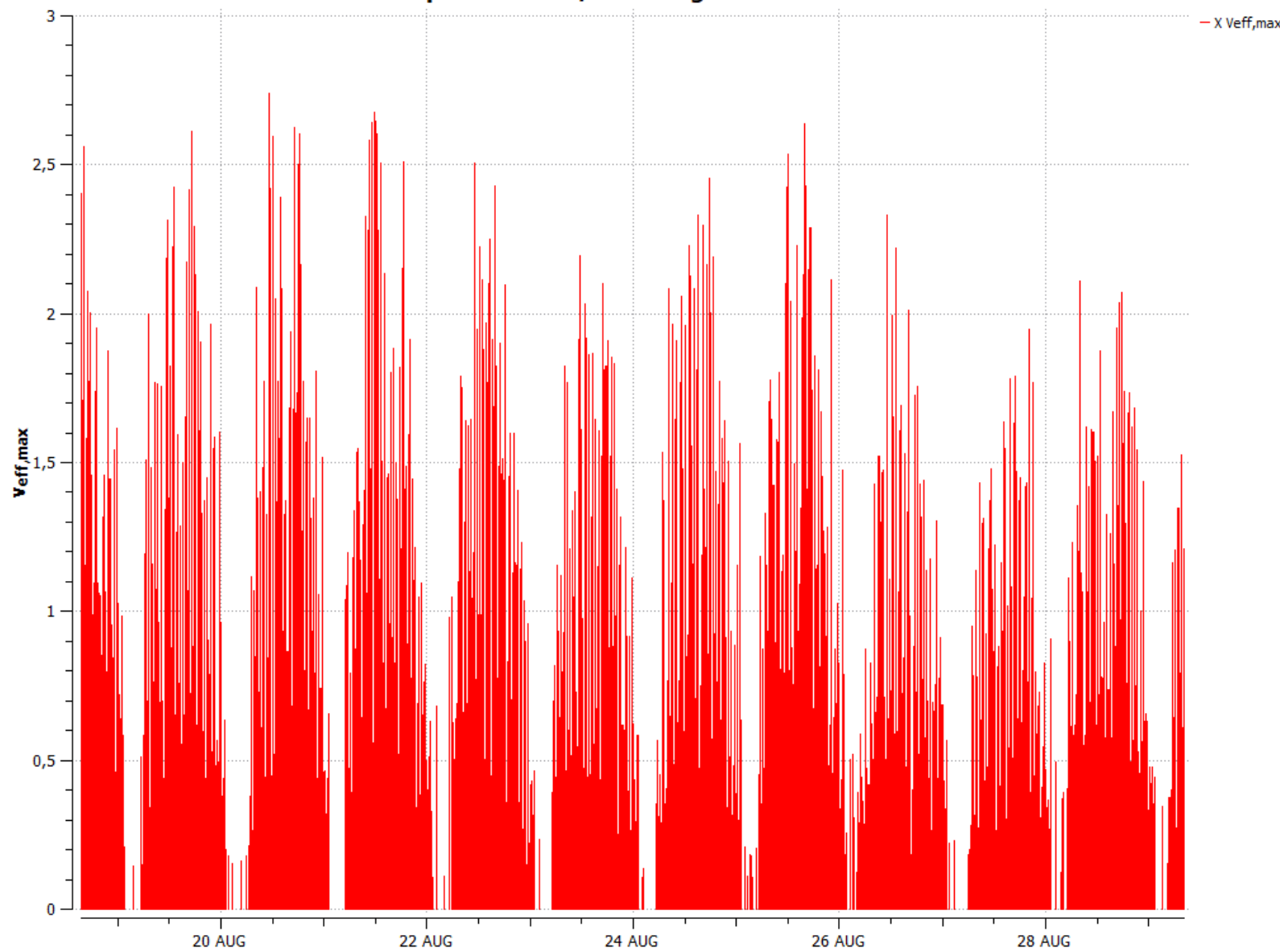
- De maximale trillingssterkte Vmax (0,31) in de woningen van het Colosseumplot ten gevolge van de passages van de treinen voldoet naar verwachting niet aan de streefwaarde nieuwe situatie voor de nachtperiode A2 (0,2) voor woonfunctie en voldoet naar verwachting aan de streefwaarde bestaande situatie voor de nachtperiode A2 (0,4) voor woonfunctie. Op basis van de meetwaarde van de gemiddelde trillingssterkte Vper,meet is de verwachting dat de gemiddelde trillingssterkte Vper in dag-, avond- en nachtperiode in de woningen voldoet aan de streefwaarde voor woonfunctie (A3=0,05). De maximale trillingssterkte Vmax valt in de hinder kwalificatie matige hinder. Hiermee is er in het licht van de beoordelingssystematiek van de SBR B richtlijn sprake van een acceptabel woon- en leefklimaat;
- De maximale trillingssterkte Vmax (0,30) in de woningen van het Rosestraatplot ten gevolge van de passages van de treinen voldoet naar verwachting niet aan de streefwaarde nieuwe situatie voor de nachtperiode A2 (0,2) voor woonfunctie en voldoet naar verwachting aan de streefwaarde bestaande situatie voor de nachtperiode A2 (0,4) voor woonfunctie. Op basis van de meetwaarde van de gemiddelde trillingssterkte Vper,meet is de verwachting dat de gemiddelde trillingssterkte Vper in dag-, avond- en nachtperiode in de woningen voldoet aan de streefwaarde voor woonfunctie (A3=0,05). De maximale trillingssterkte Vmax valt in de hinder kwalificatie matige hinder. Hiermee is er in het licht van de beoordelingssystematiek van de SBR B richtlijn sprake van een acceptabel woon- en leefklimaat;
- Hiermee voldoen de woningen op basis van het ontwerp c.q. t.o.v. de geformuleerde aannames naar verwachting aan de beoordelingssystematiek van de SBR B richtlijn “hinder voor personen in gebouwen” op basis van de systematiek in de Richtlijn nieuwbouw en spoortrillingen en de SBR B richtlijn is geen aanvullende maatregelen beschouwing nodig in het ontwerp c.q. ten opzichte van de geformuleerde aannames van het ontwerp.
- Hiermee is aangetoond dat er een ontwerp mogelijk is waarbij de bestemming wonen in de Rosestraatplot en de Colosseumplot ruimtelijk zorgvuldig zijn in te passen naast de bestemming spoor voor het aspect trillingen volgens de Wro. Omdat het ontwerp niet vast ligt in een DO in beide plannen en daarmee de trillingssterkte in de woningen wordt geadviseerd in de planregels van het bestemmingsplan een verplichting op te nemen voor het DO om aan te tonen dat aan de systematiek in de Richtlijn “nieuwbouw en spoortrillingen” alsmede aan de daarin opgenomen beoordelingssystematiek van de SBR B richtlijn “hinder voor personen in gebouwen” wordt voldaan.

## Bijlage 1: Weergave trillingsmetingen

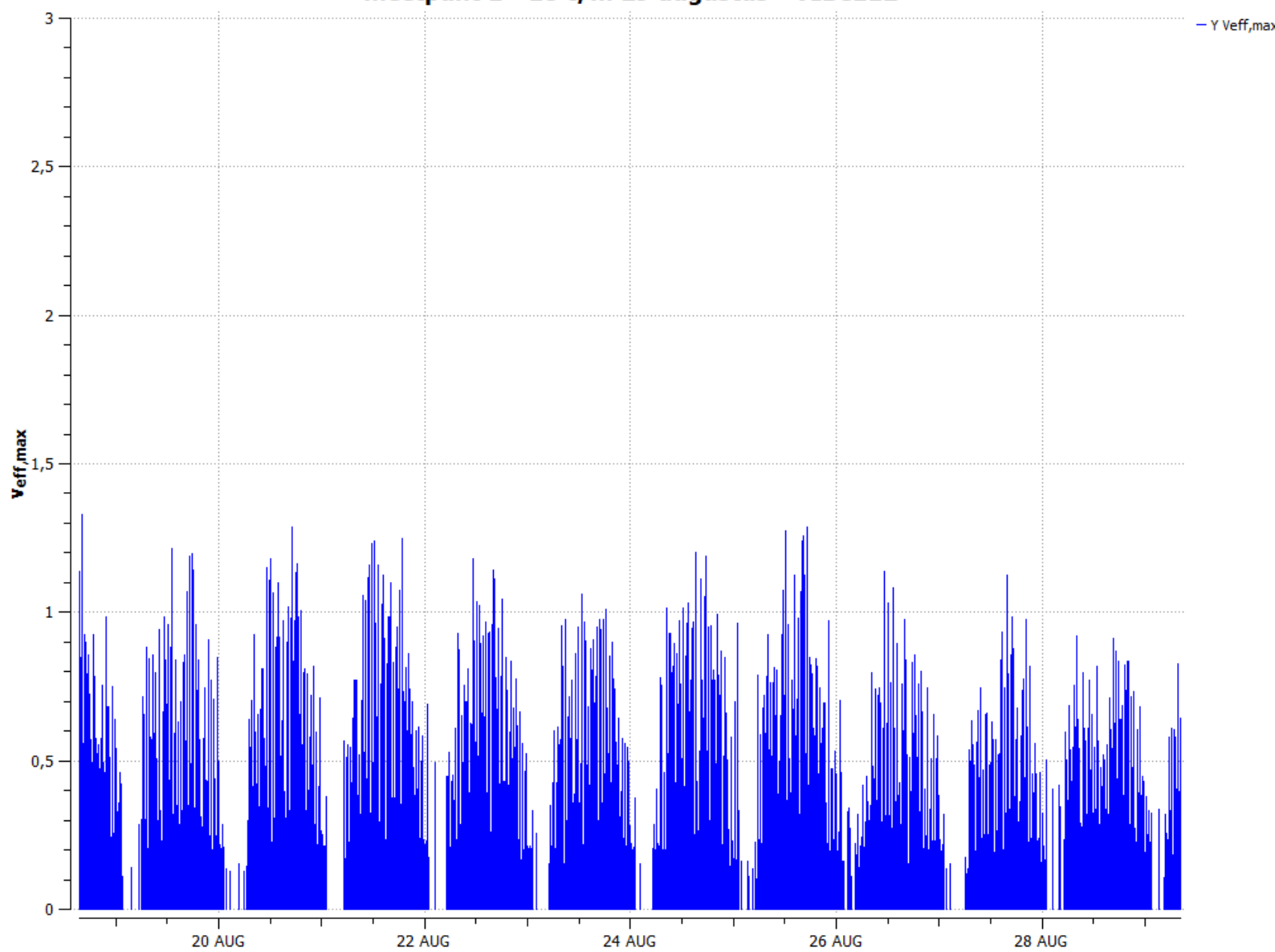
**meetpunt 1 - 18 t/m 29 augustus - VIBe112**



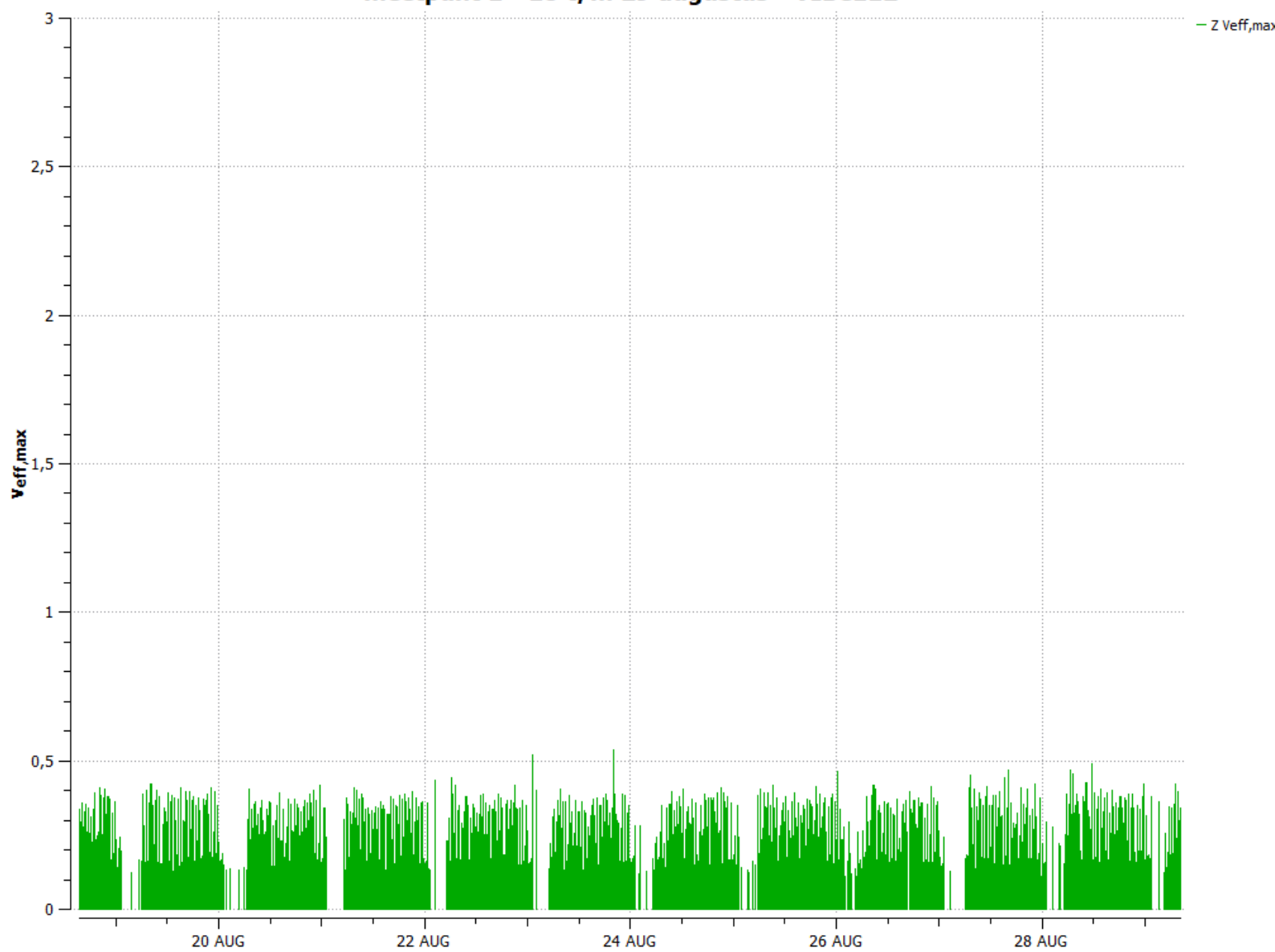
**meetpunt 1 - 18 t/m 29 augustus - VIBe112**



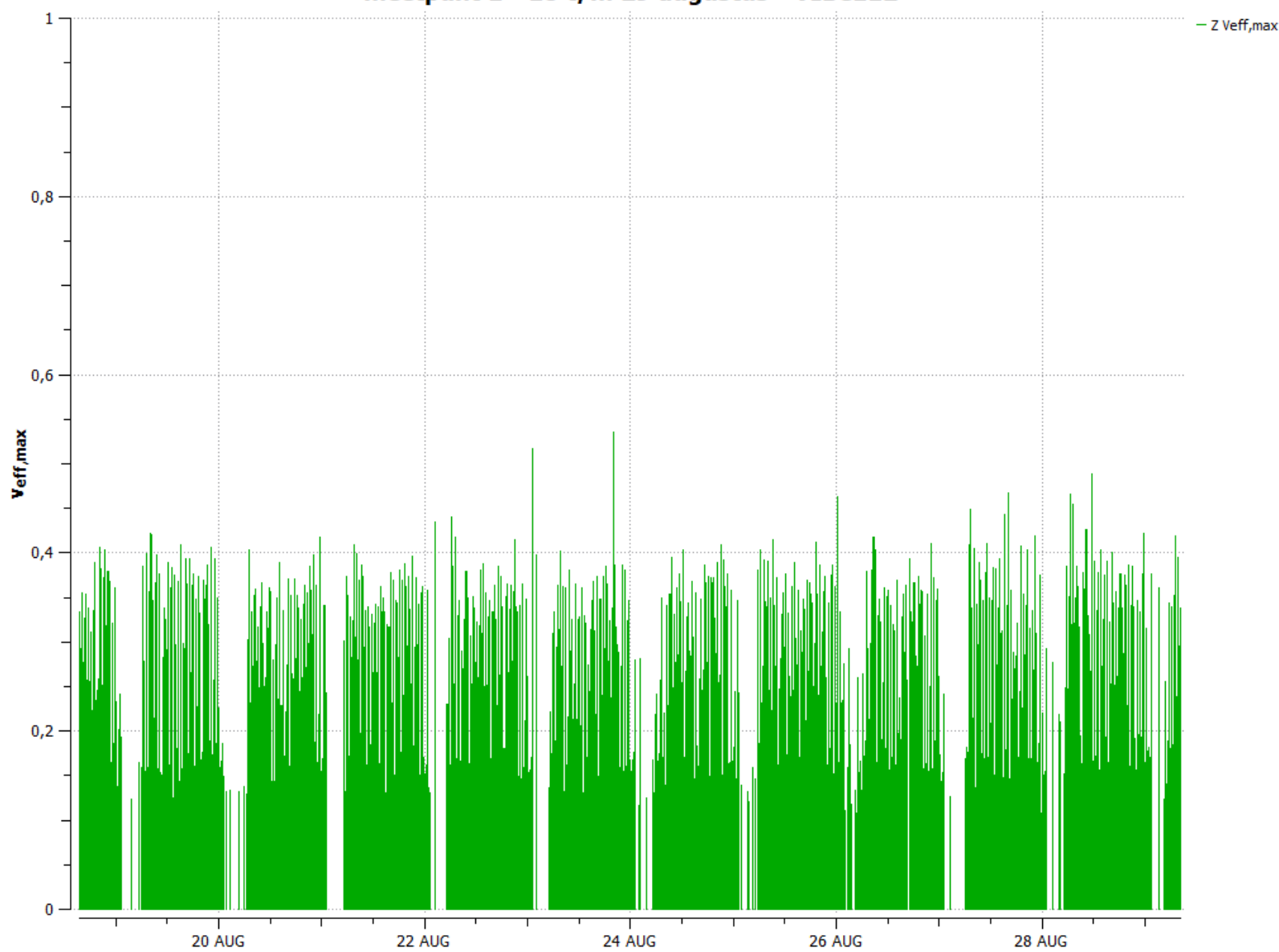
**meetpunt 1 - 18 t/m 29 augustus - VIBe112**



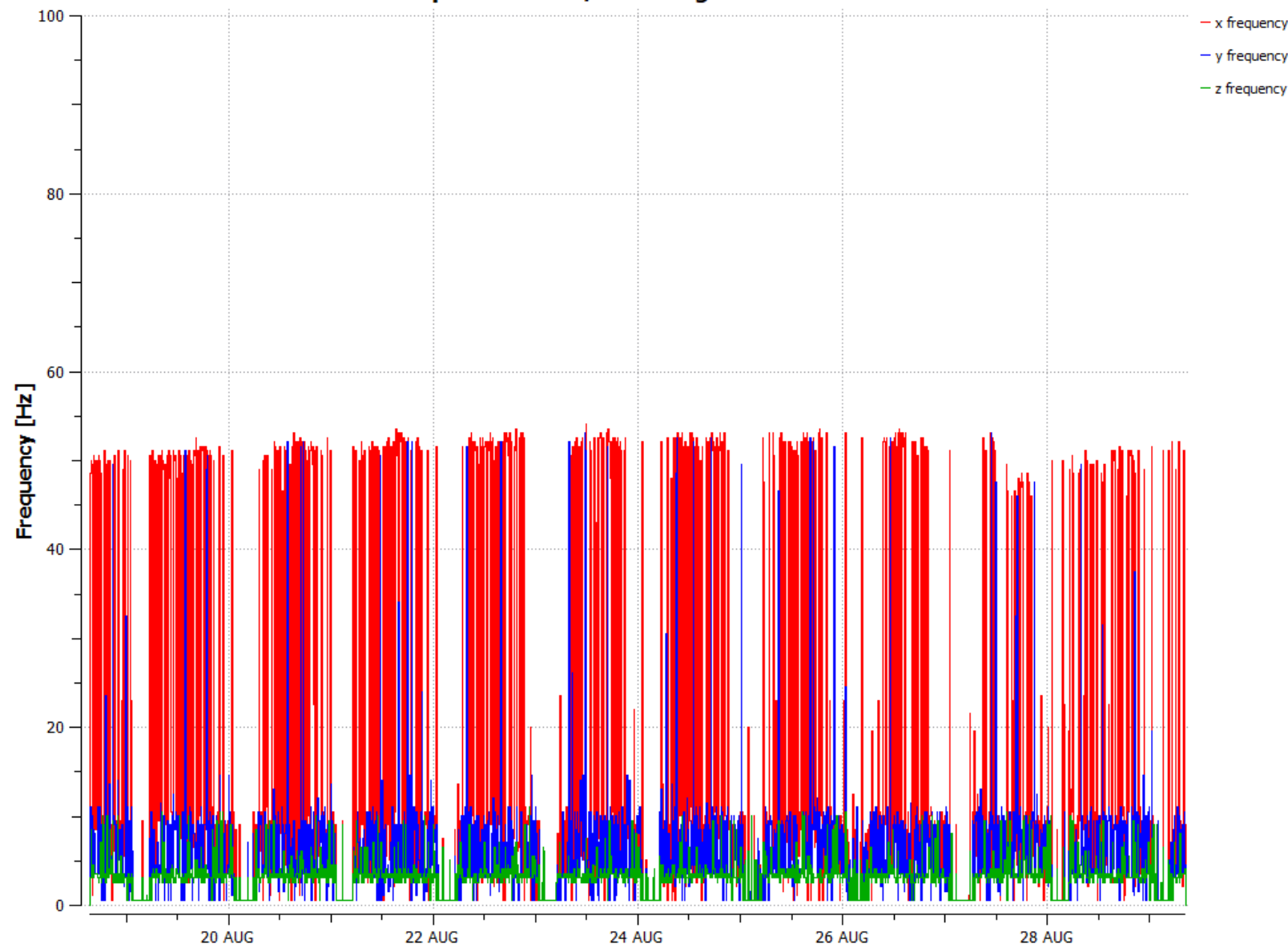
**meetpunt 1 - 18 t/m 29 augustus - VIBe112**



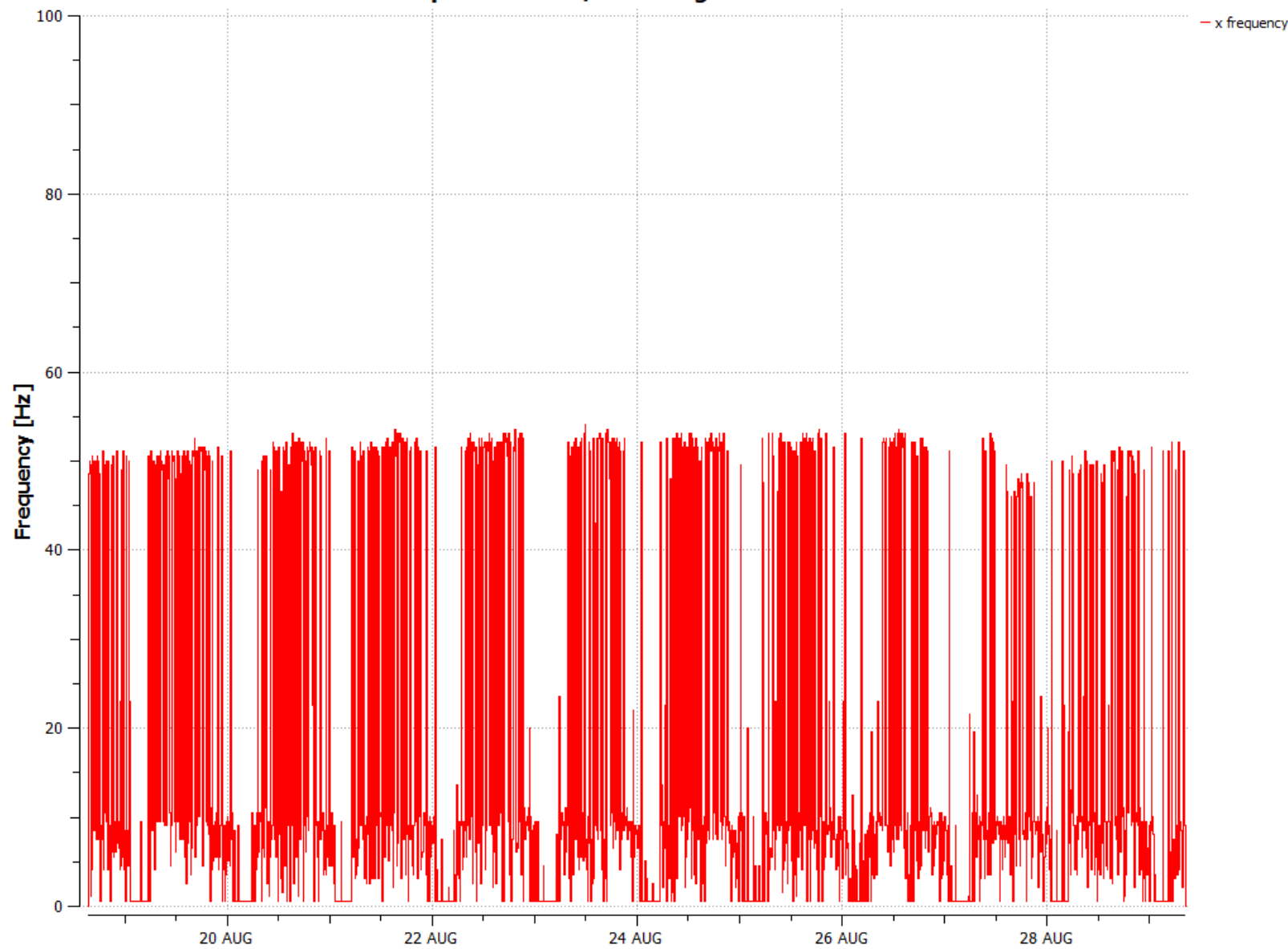
**meetpunt 1 - 18 t/m 29 augustus - VIBe112**



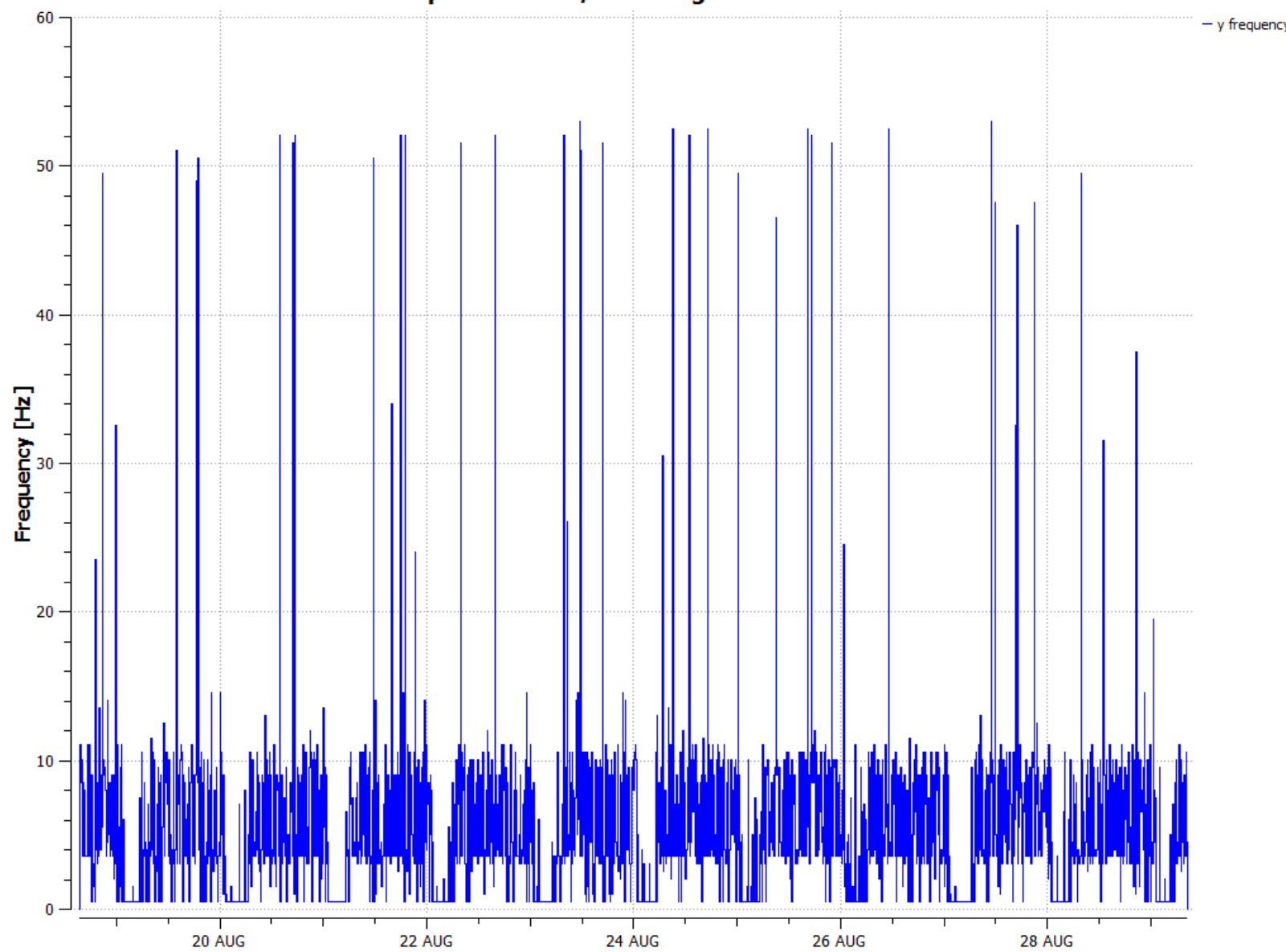
**meetpunt 1 - 18 t/m 29 augustus - VIBe112**



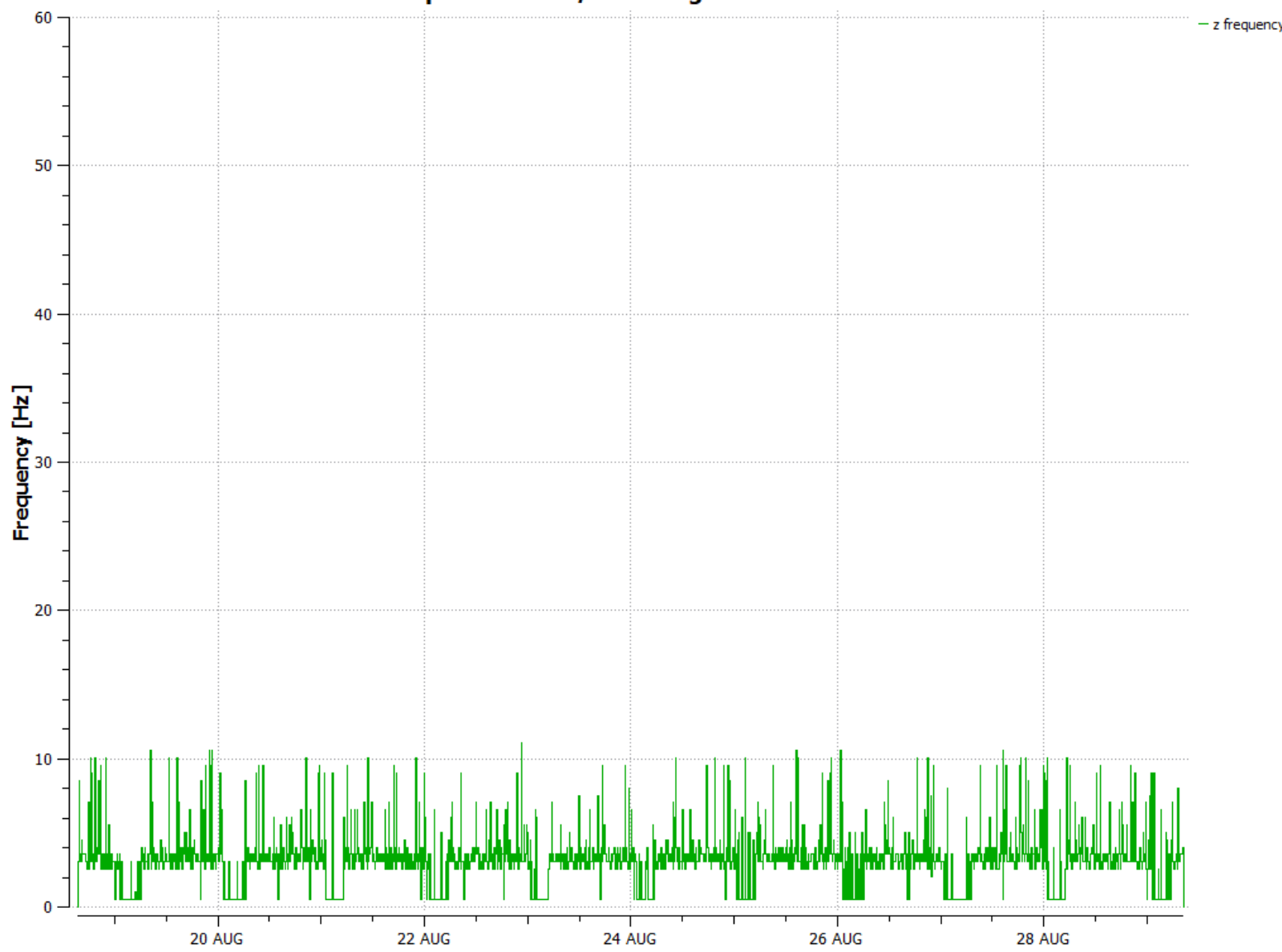
**meetpunt 1 - 18 t/m 29 augustus - VIBe112**



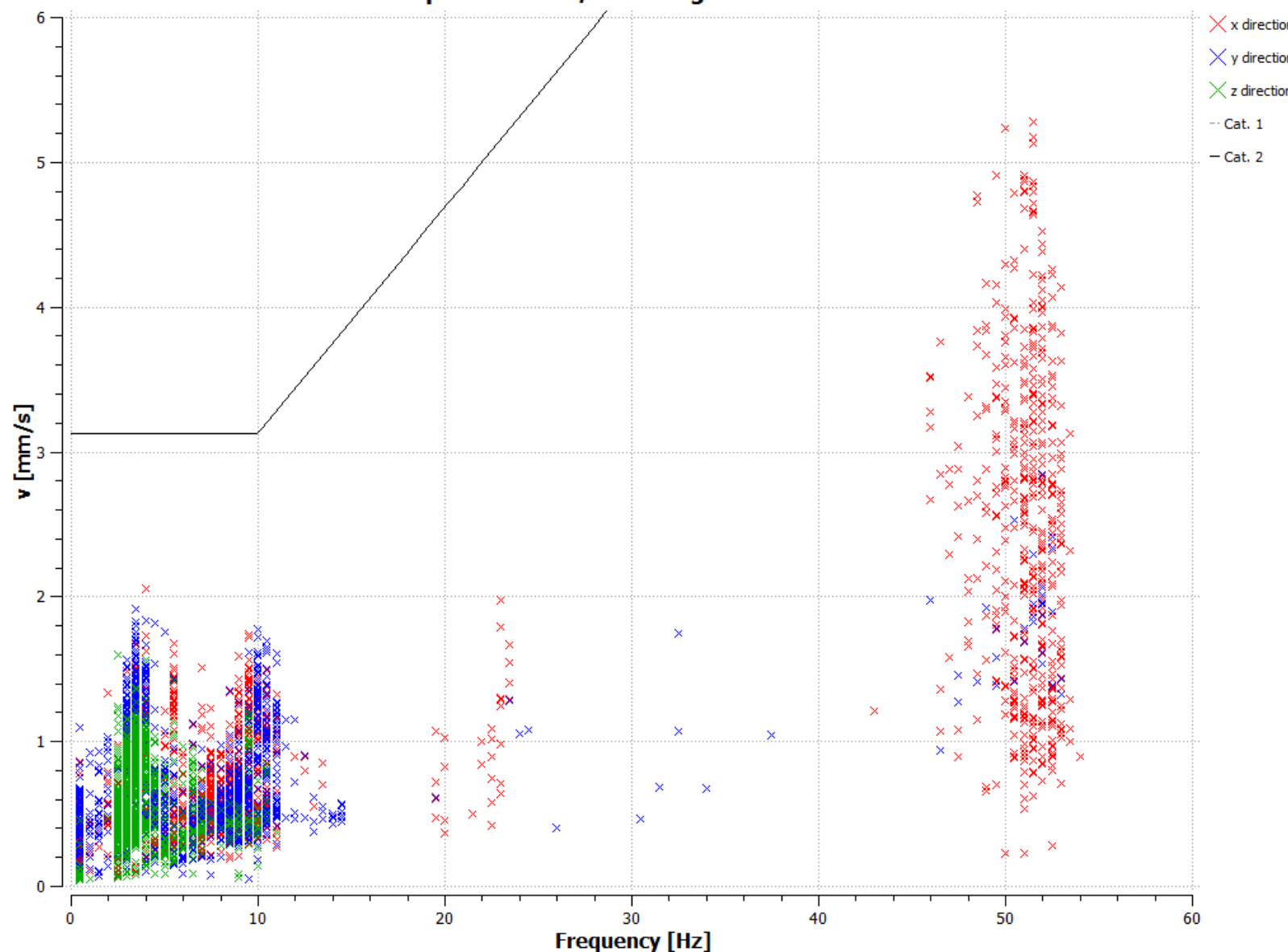
**meetpunt 1 - 18 t/m 29 augustus - VIBe112**



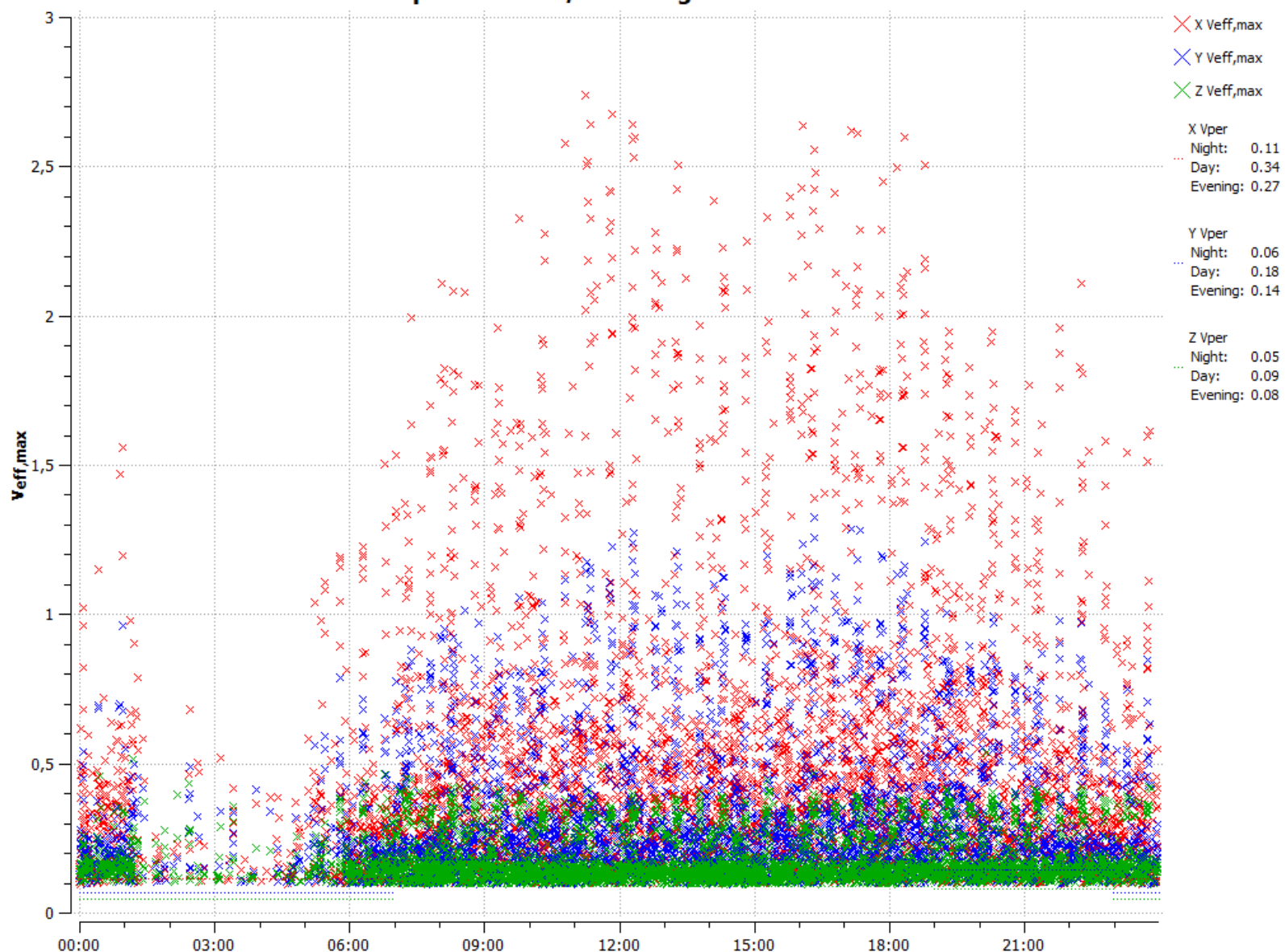
**meetpunt 1 - 18 t/m 29 augustus - VIBe112**



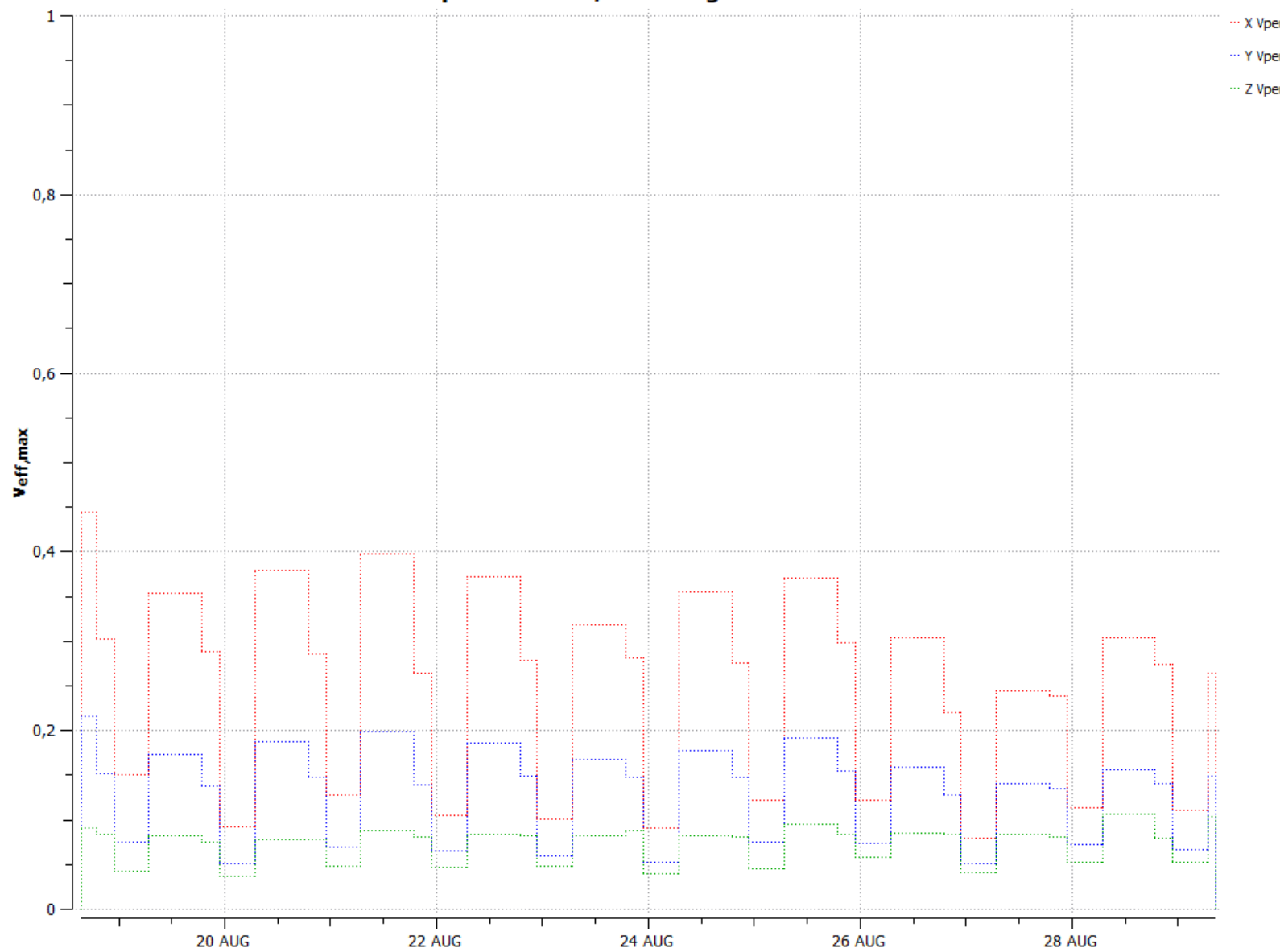
**meetpunt 1 - 18 t/m 29 augustus - VIBe112**



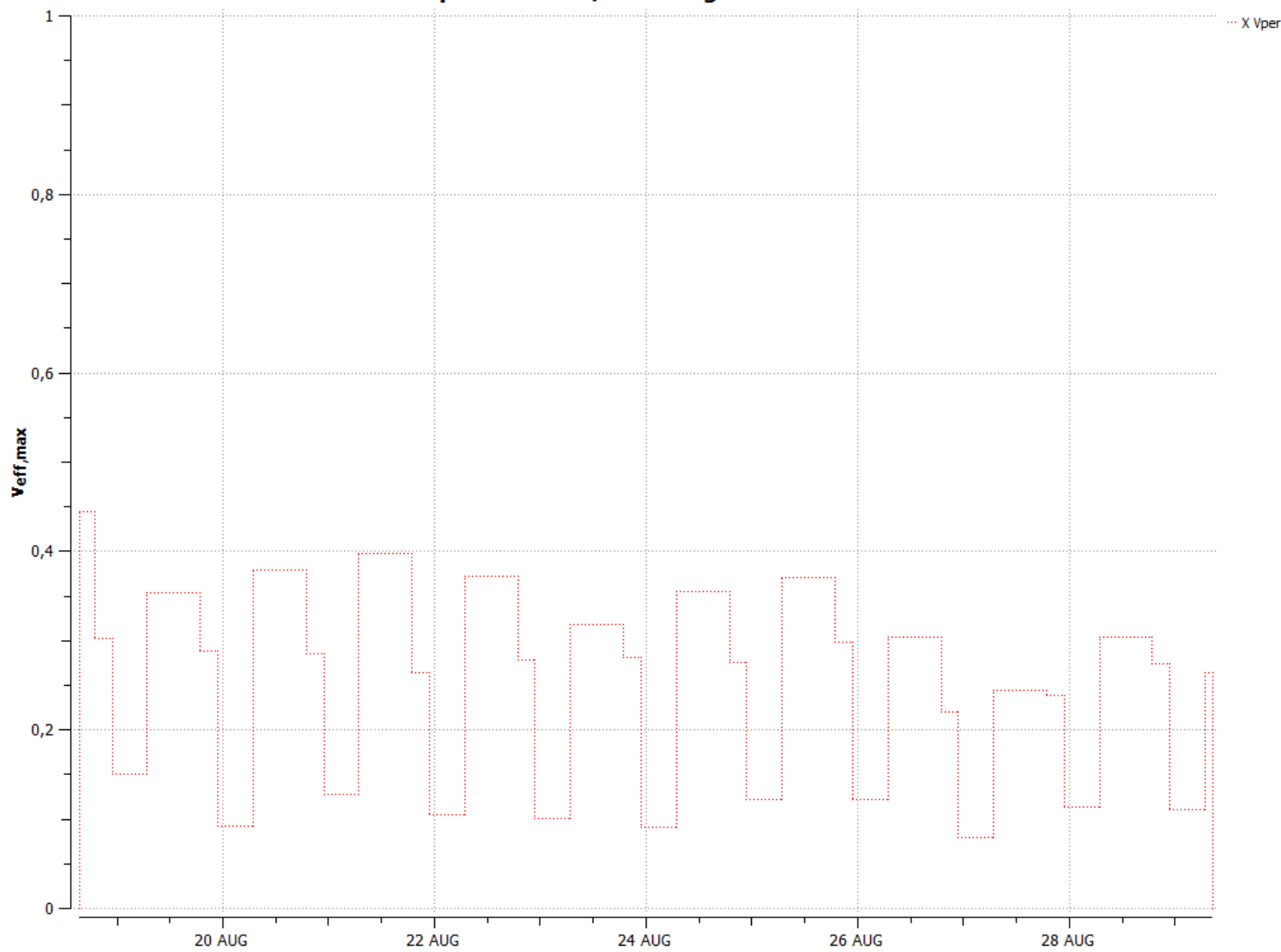
### meetpunt 1 - 18 t/m 29 augustus - VIBe112



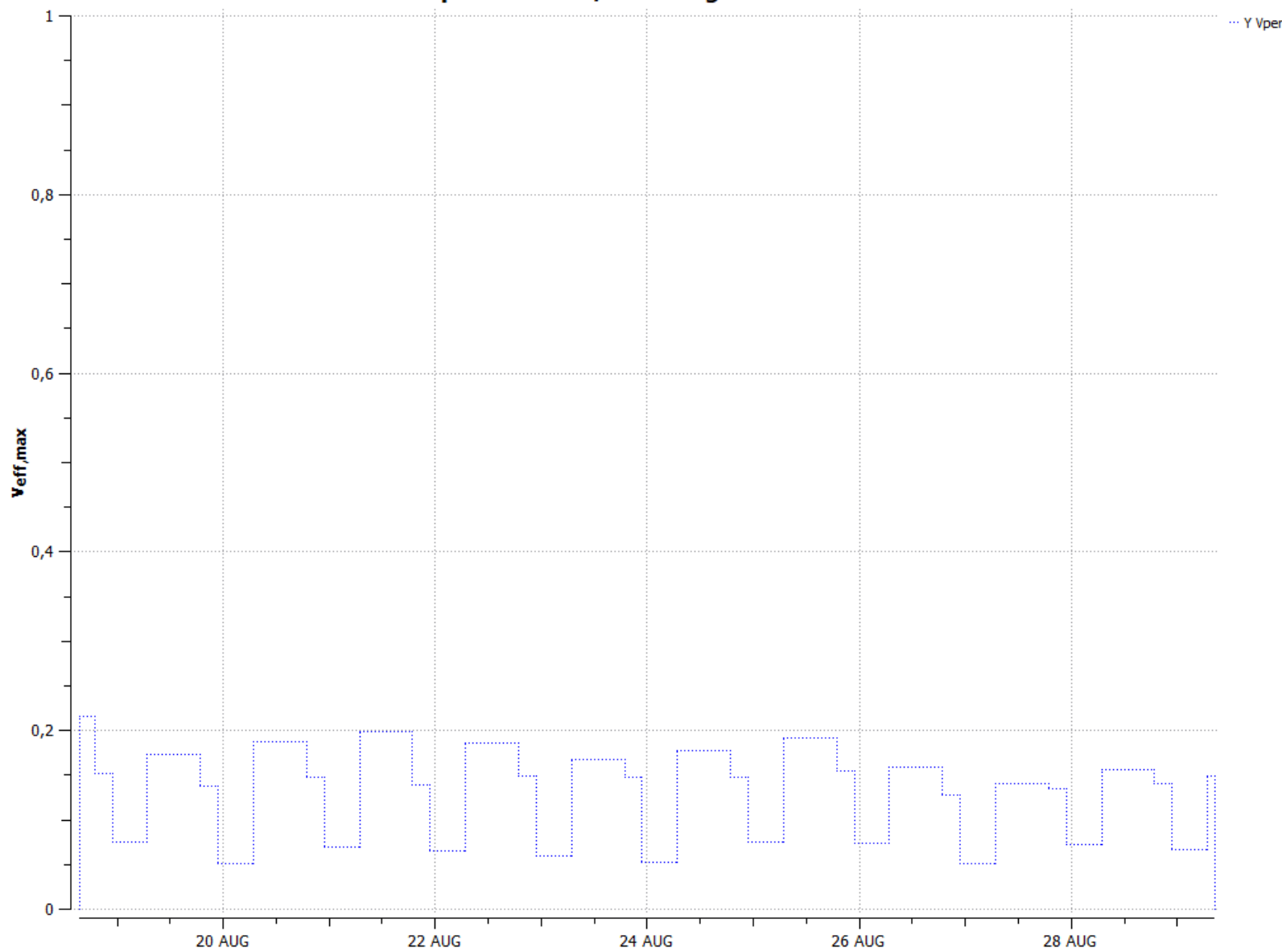
**meetpunt 1 - 18 t/m 29 augustus - VIBe112**



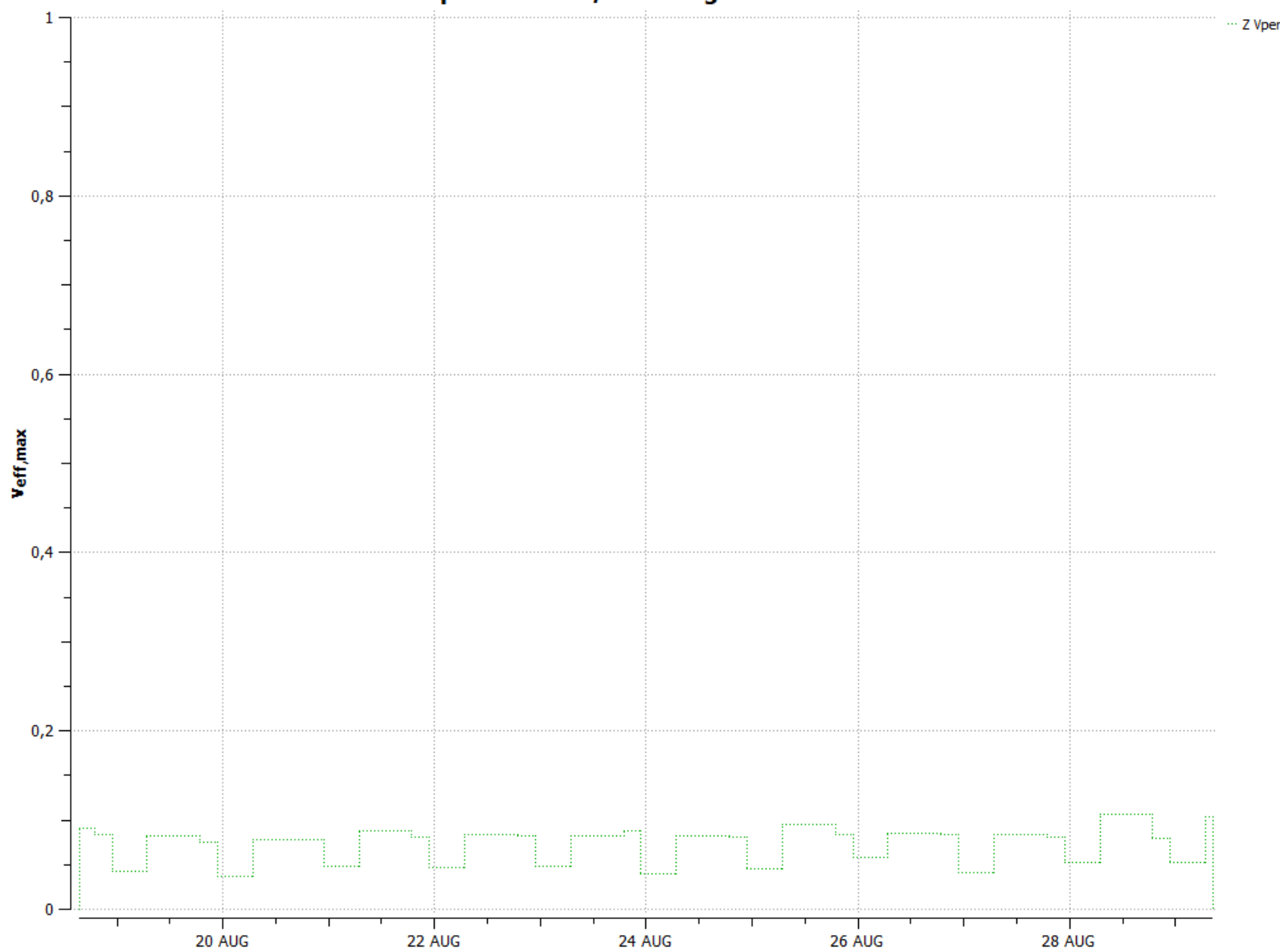
**meetpunt 1 - 18 t/m 29 augustus - VIBe112**



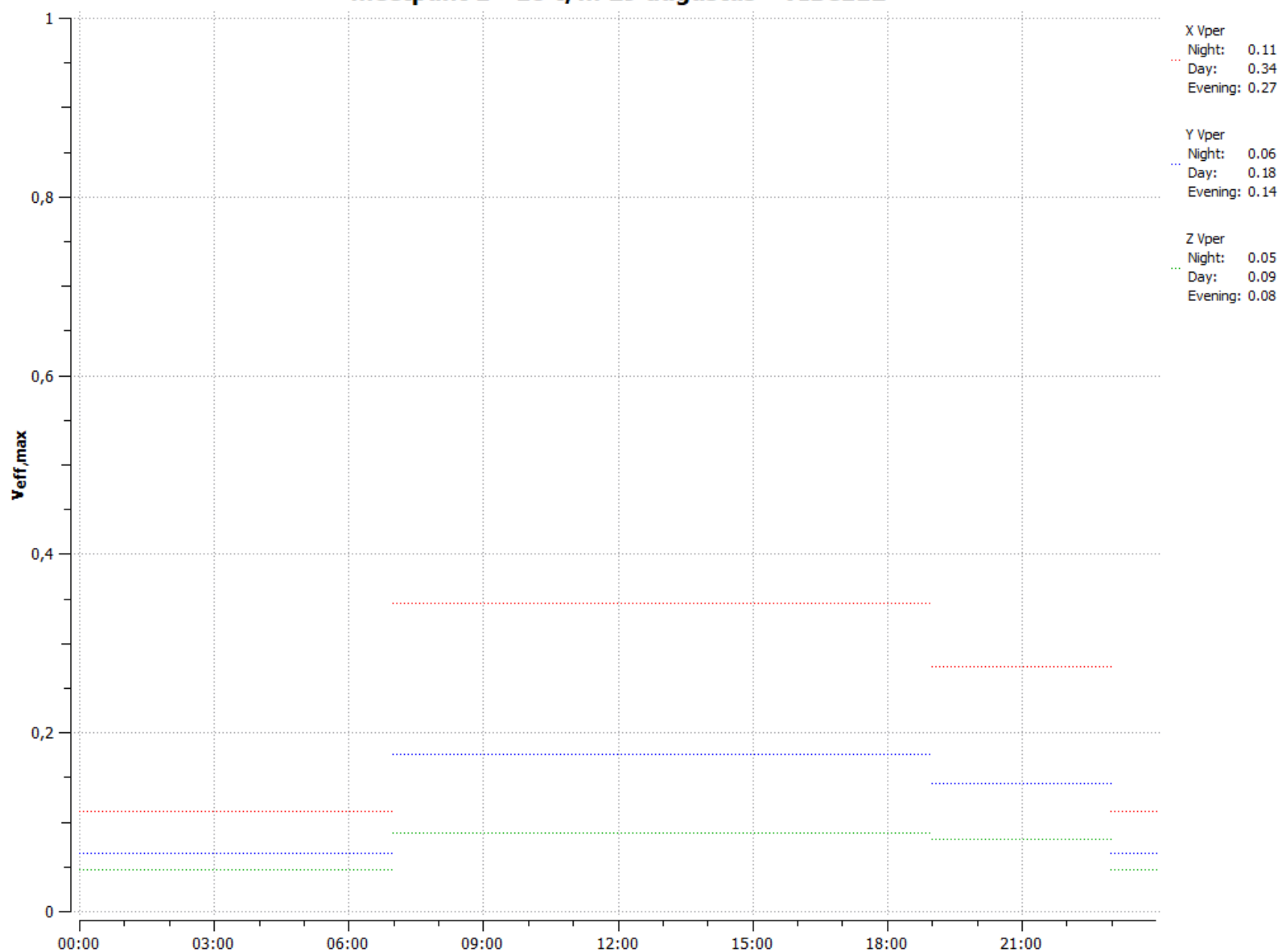
**meetpunt 1 - 18 t/m 29 augustus - VIBe112**



**meetpunt 1 - 18 t/m 29 augustus - VIBe112**

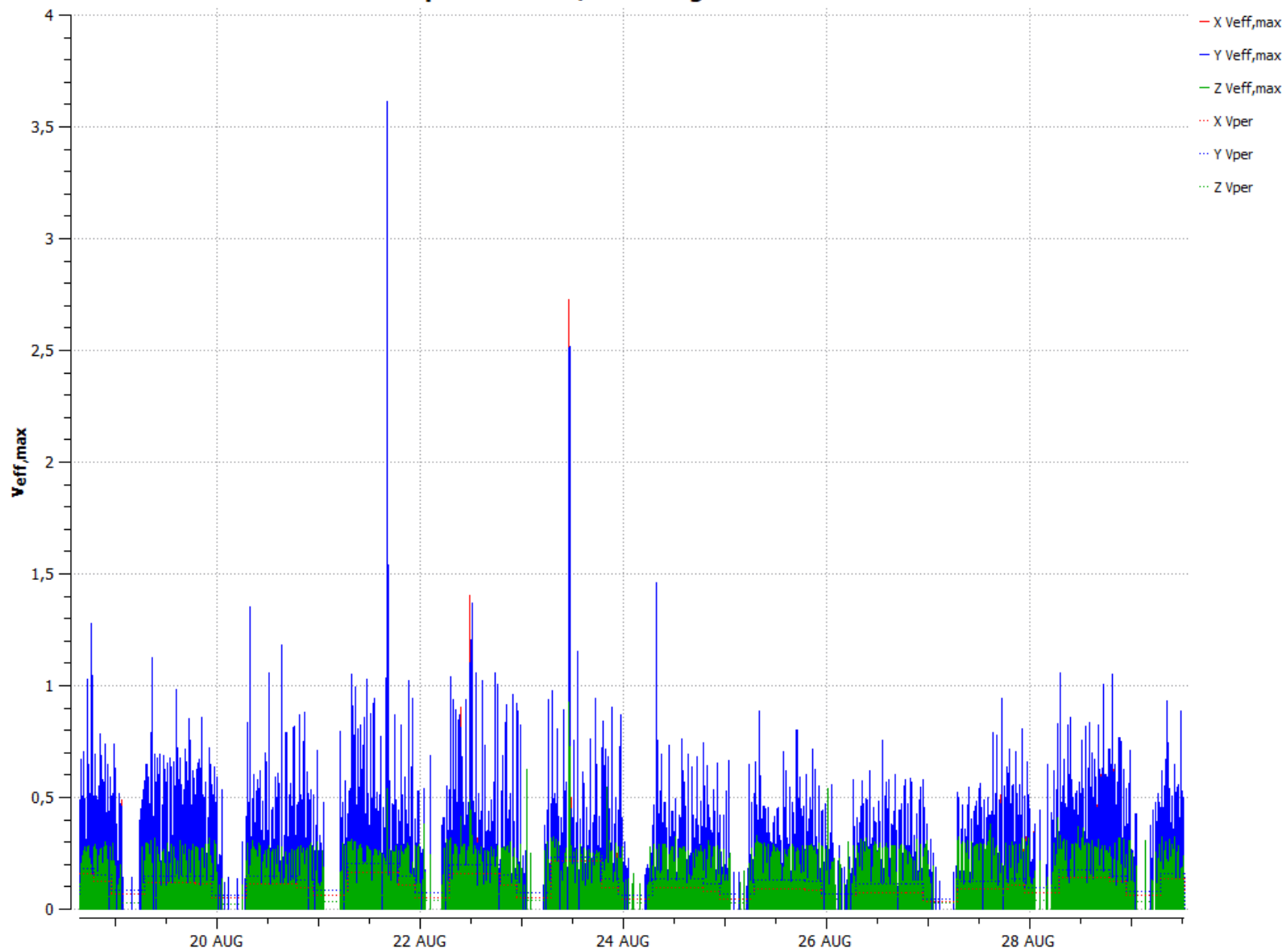


### meetpunt 1 - 18 t/m 29 augustus - VIBe112

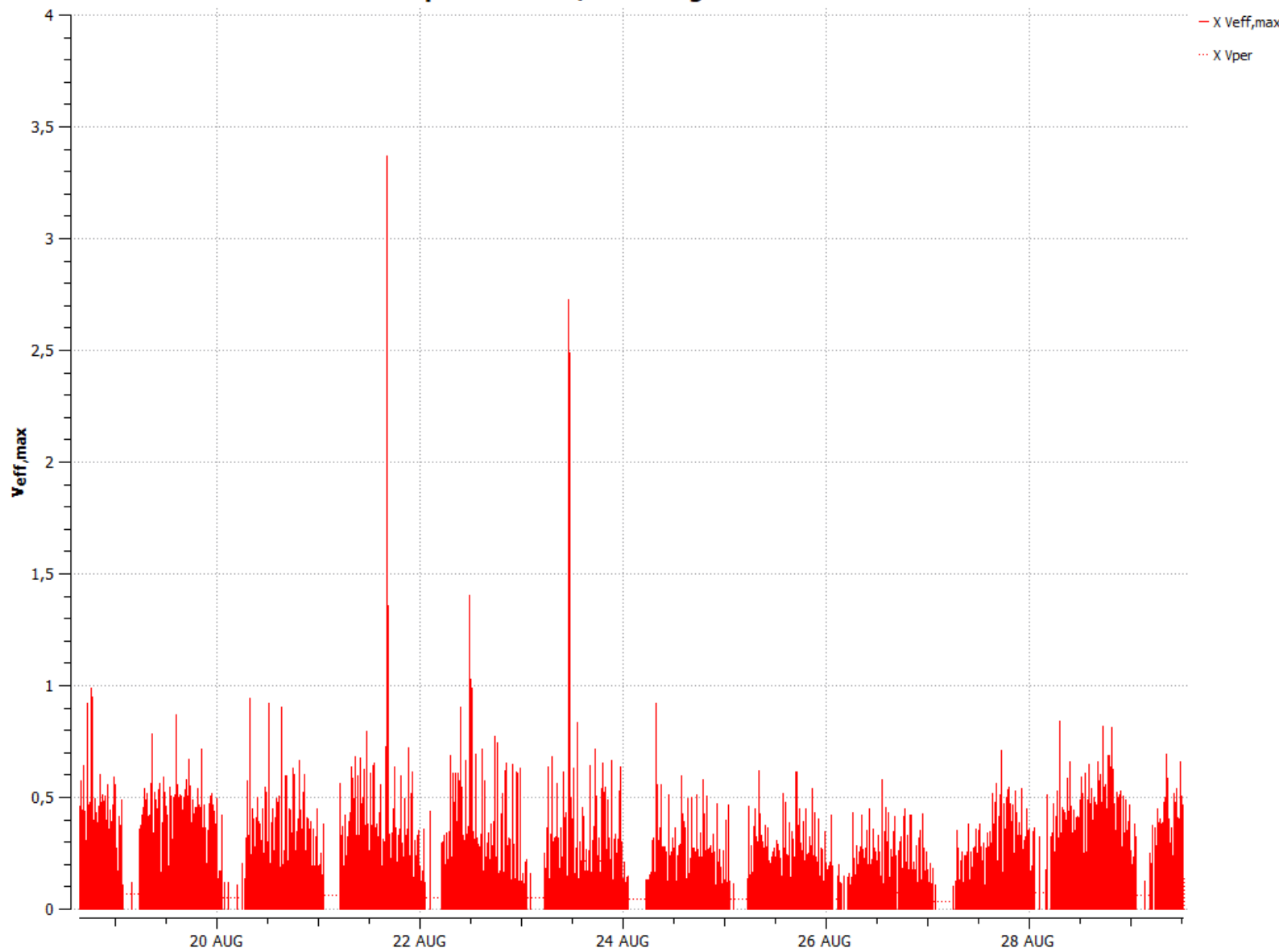




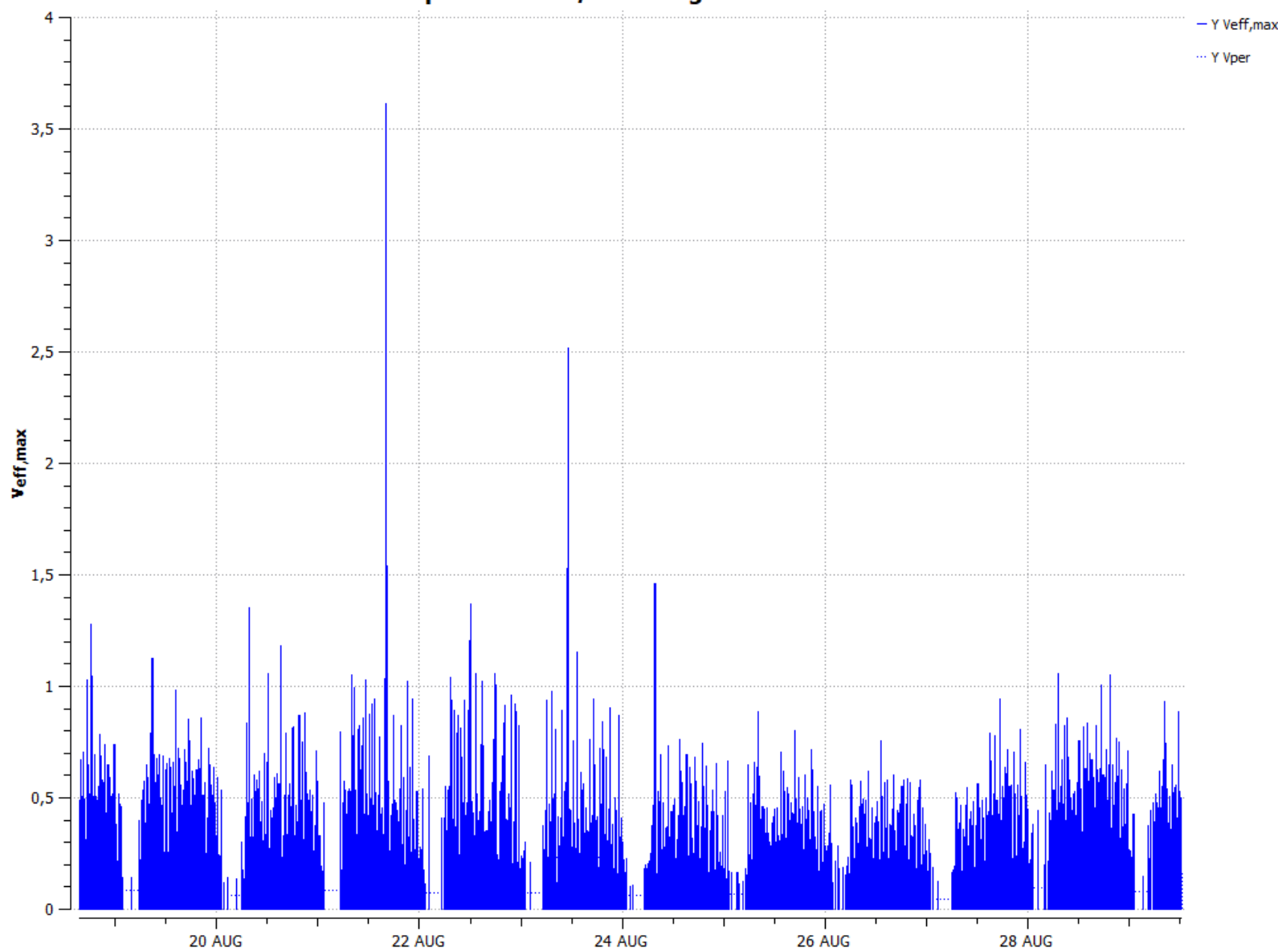
**meetpunt 2 - 18 t/m 29 augustus - VIBe117**



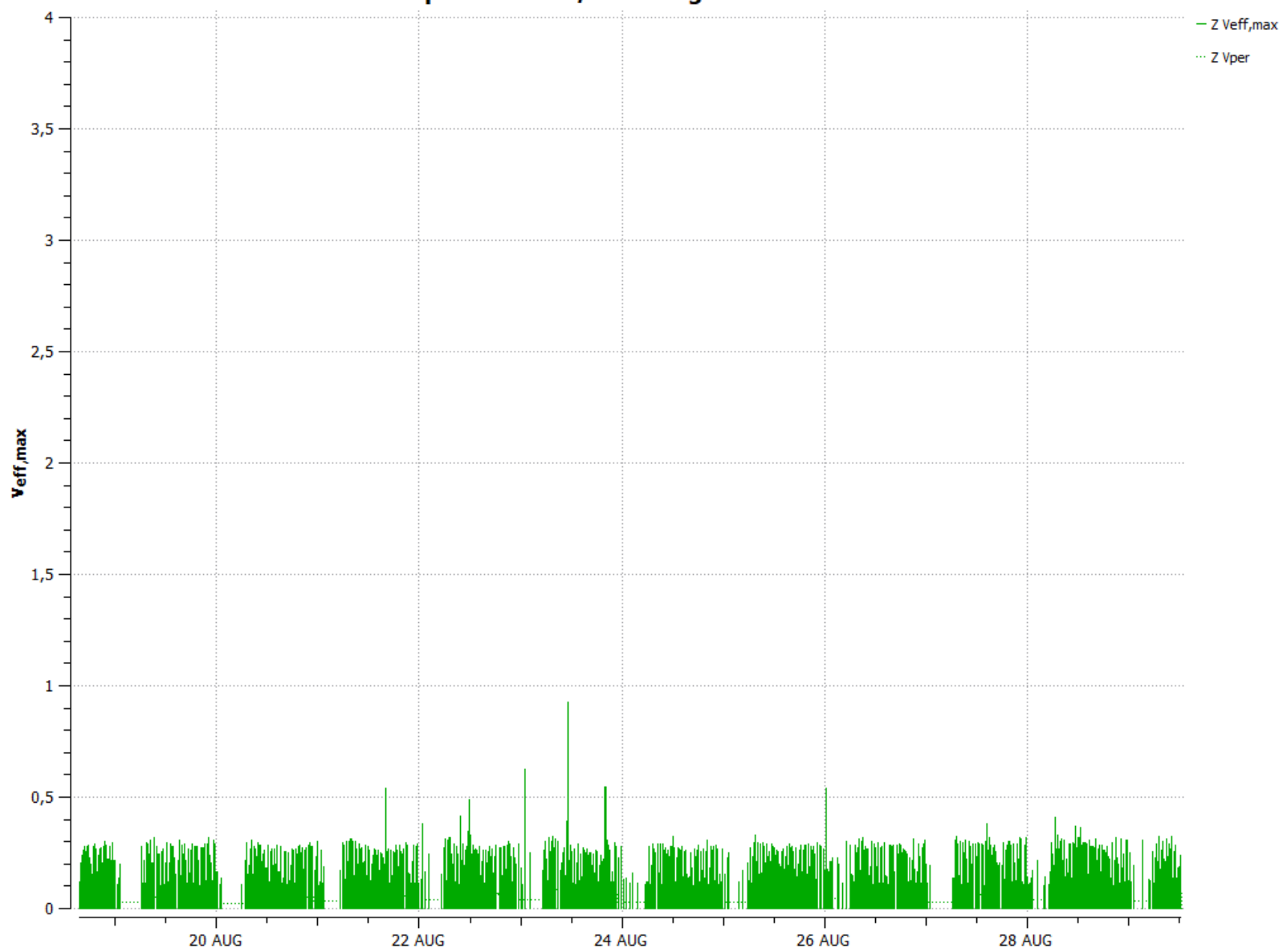
**meetpunt 2 - 18 t/m 29 augustus - VIBe117**



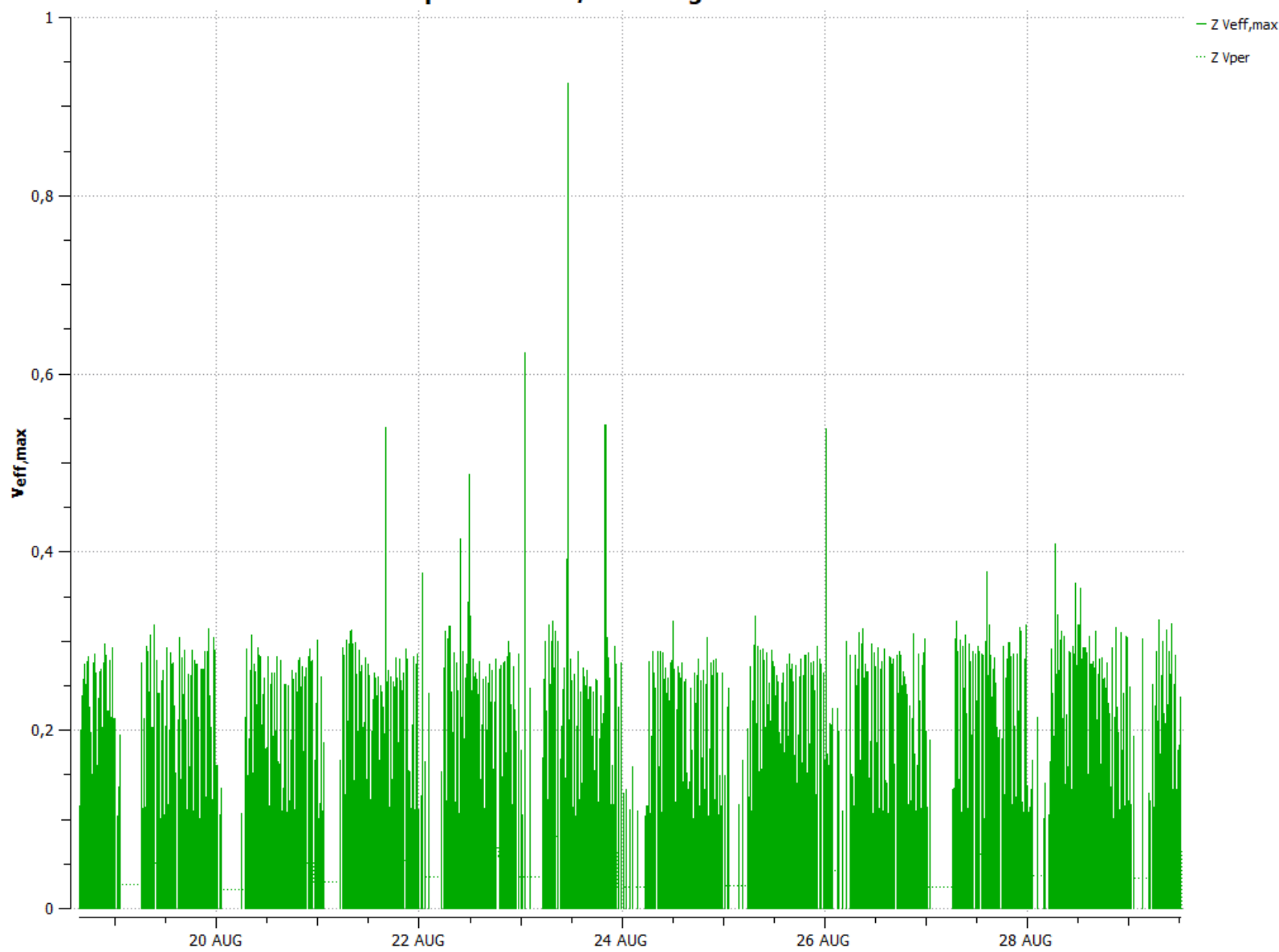
**meetpunt 2 - 18 t/m 29 augustus - VIBe117**



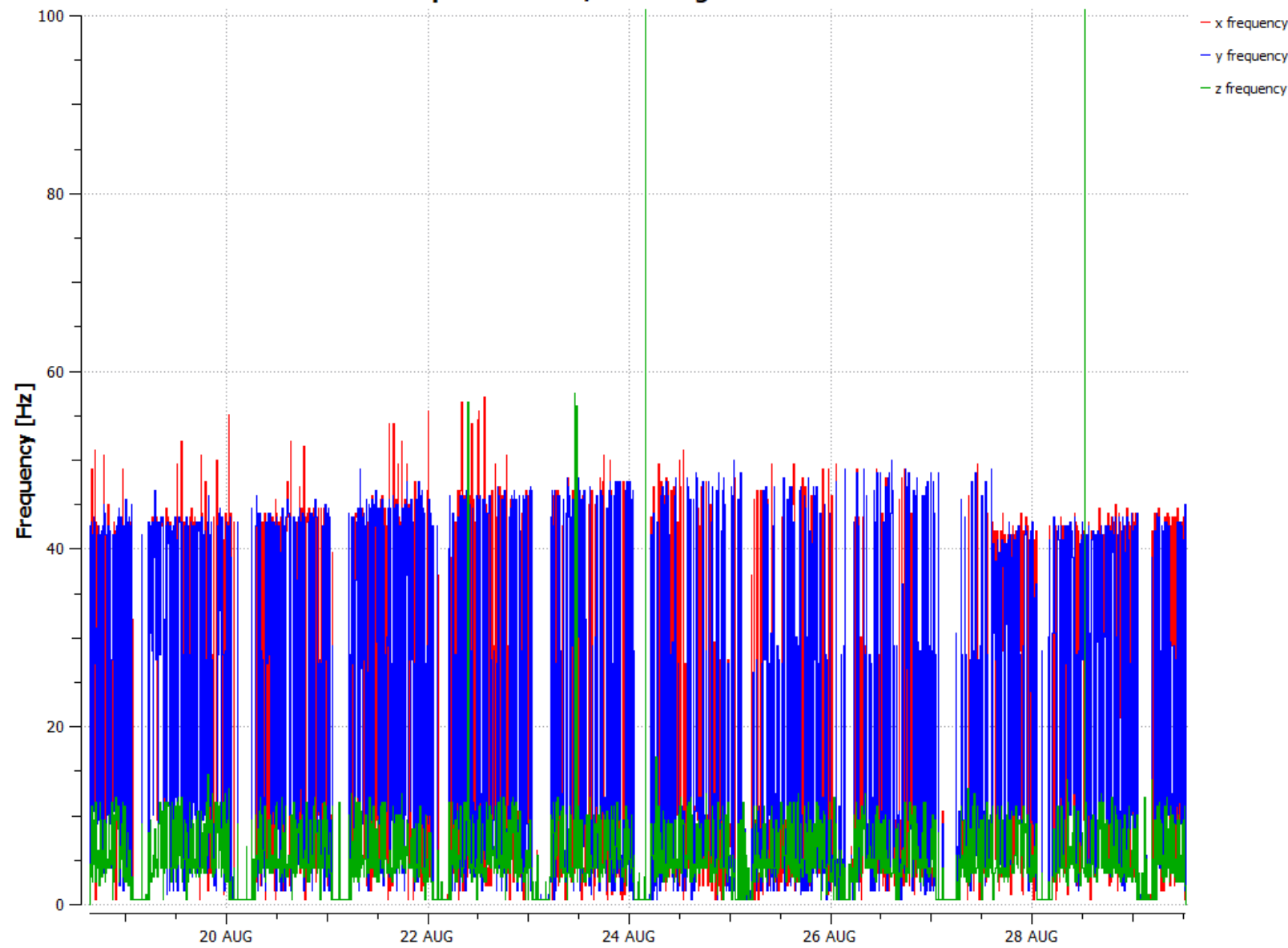
**meetpunt 2 - 18 t/m 29 augustus - VIBe117**



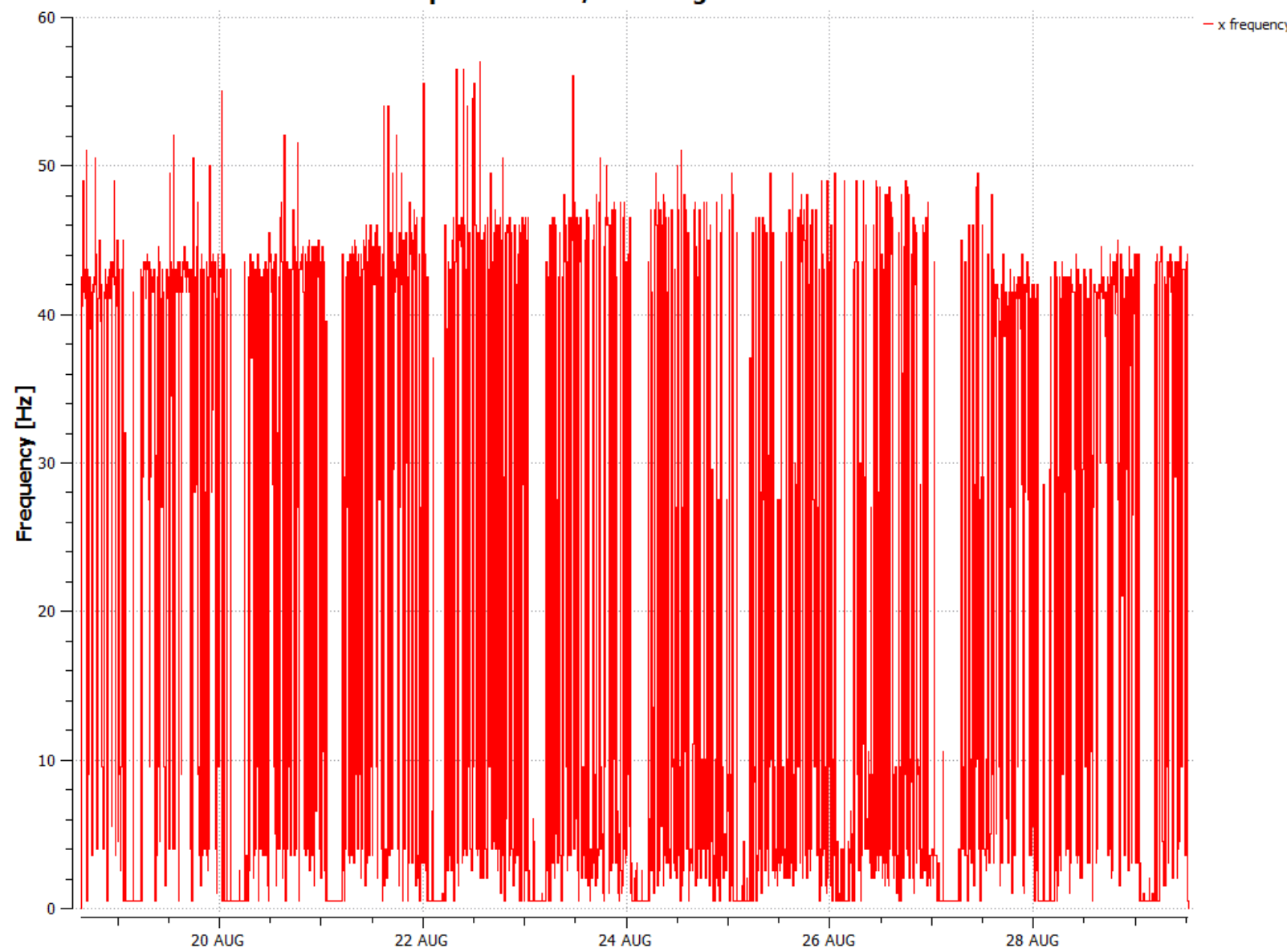
**meetpunt 2 - 18 t/m 29 augustus - VIBe117**



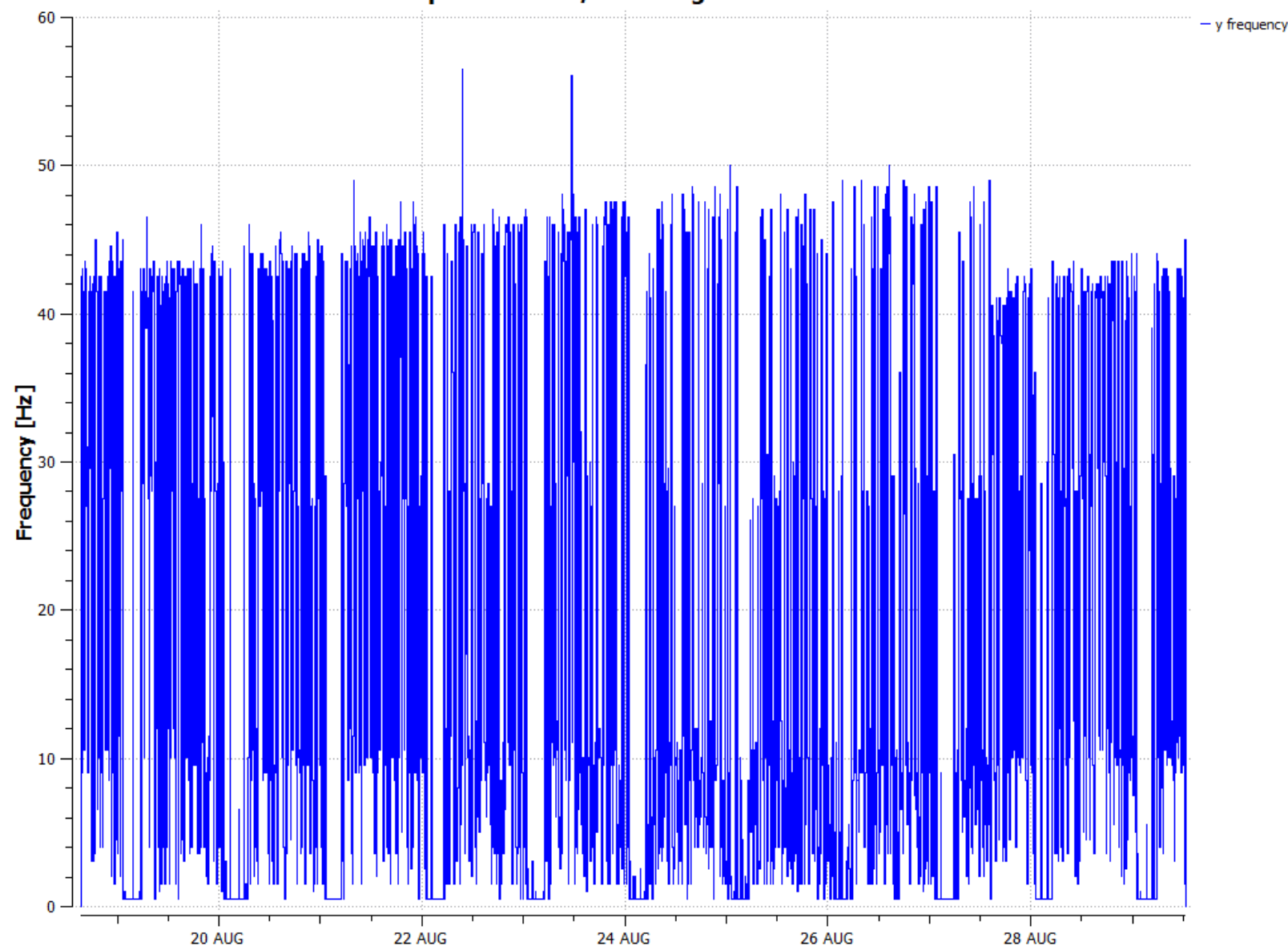
**meetpunt 2 - 18 t/m 29 augustus - VIBe117**



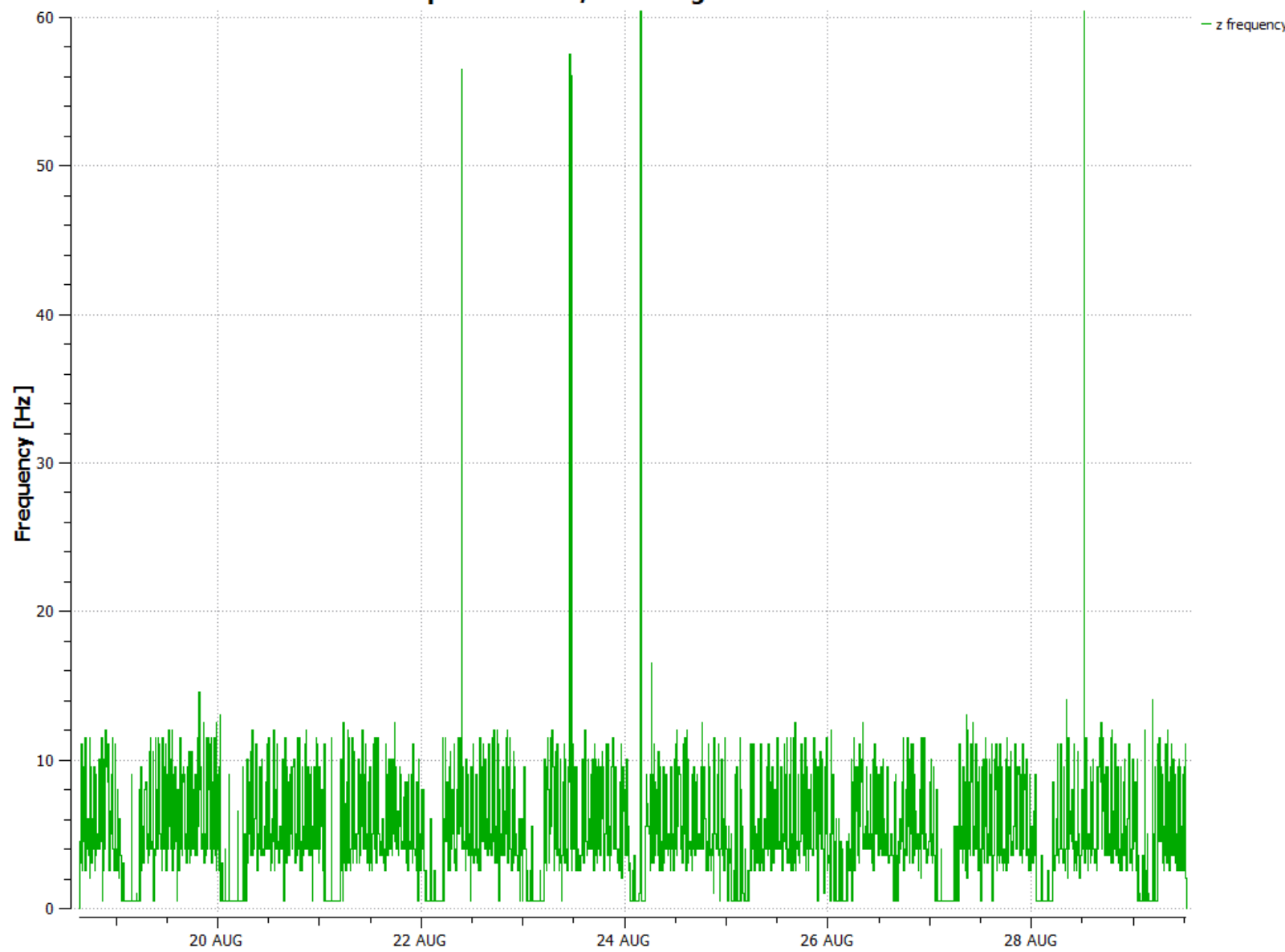
**meetpunt 2 - 18 t/m 29 augustus - VIBe117**



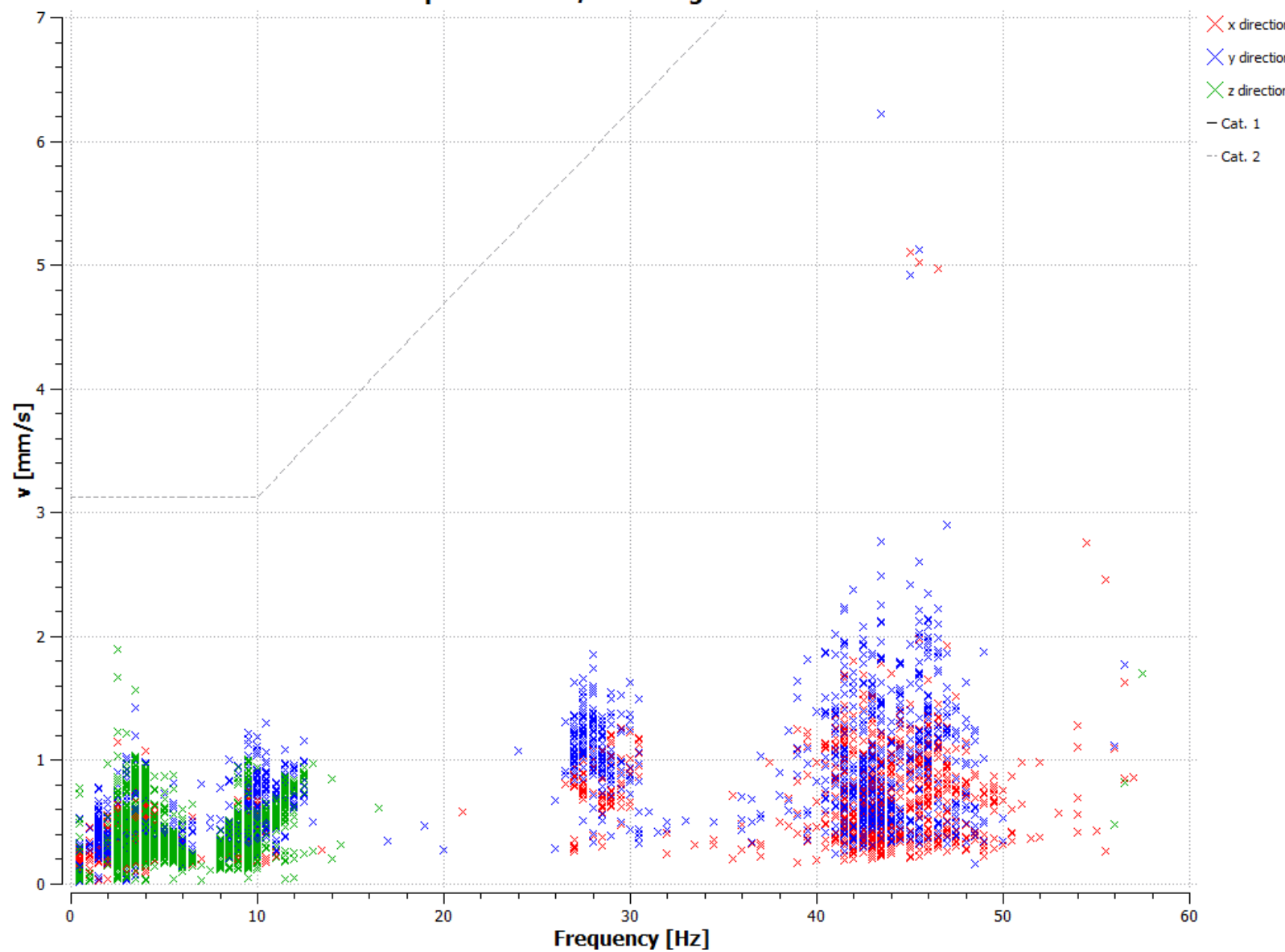
**meetpunt 2 - 18 t/m 29 augustus - VIBe117**



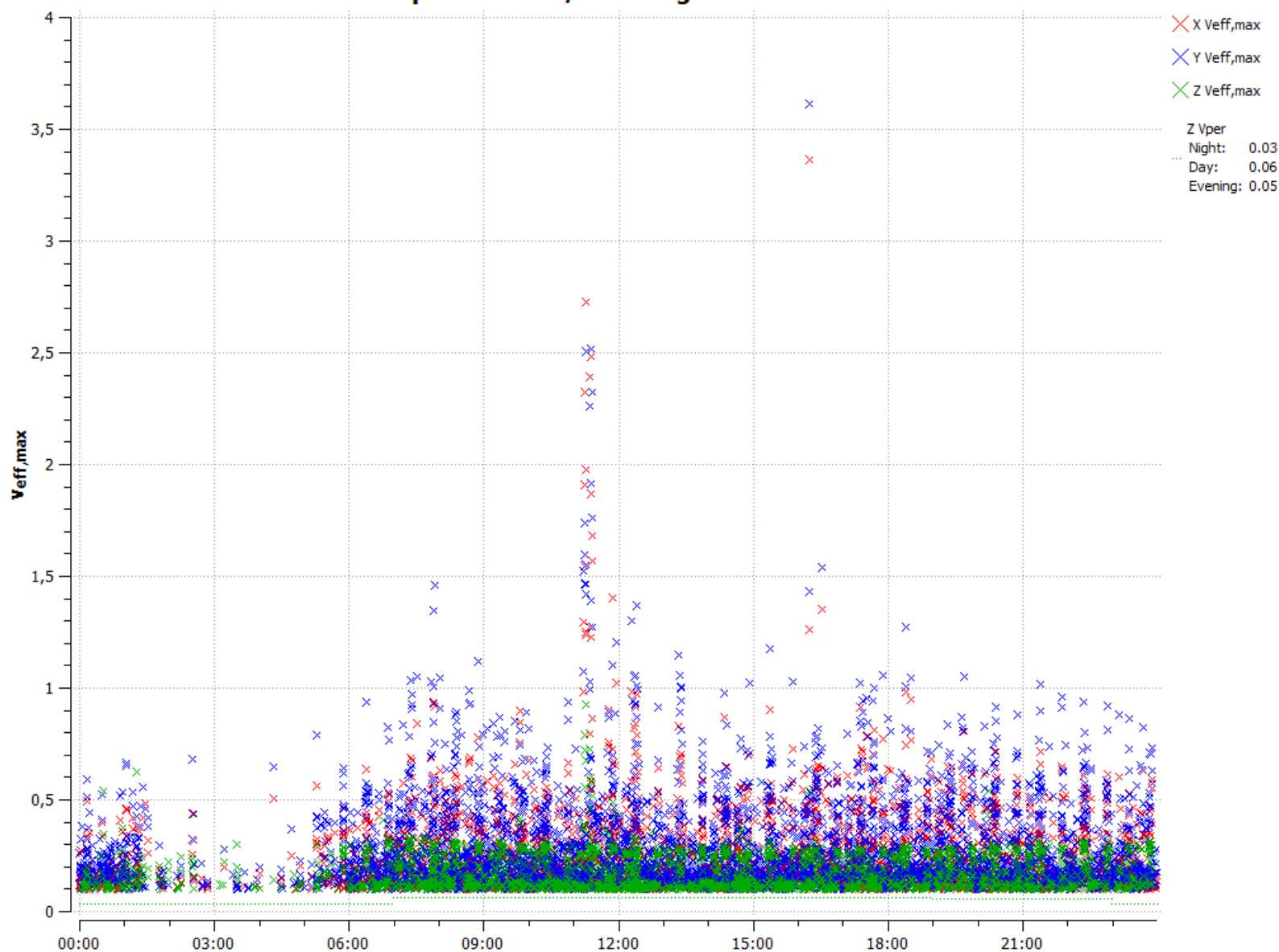
**meetpunt 2 - 18 t/m 29 augustus - VIBe117**



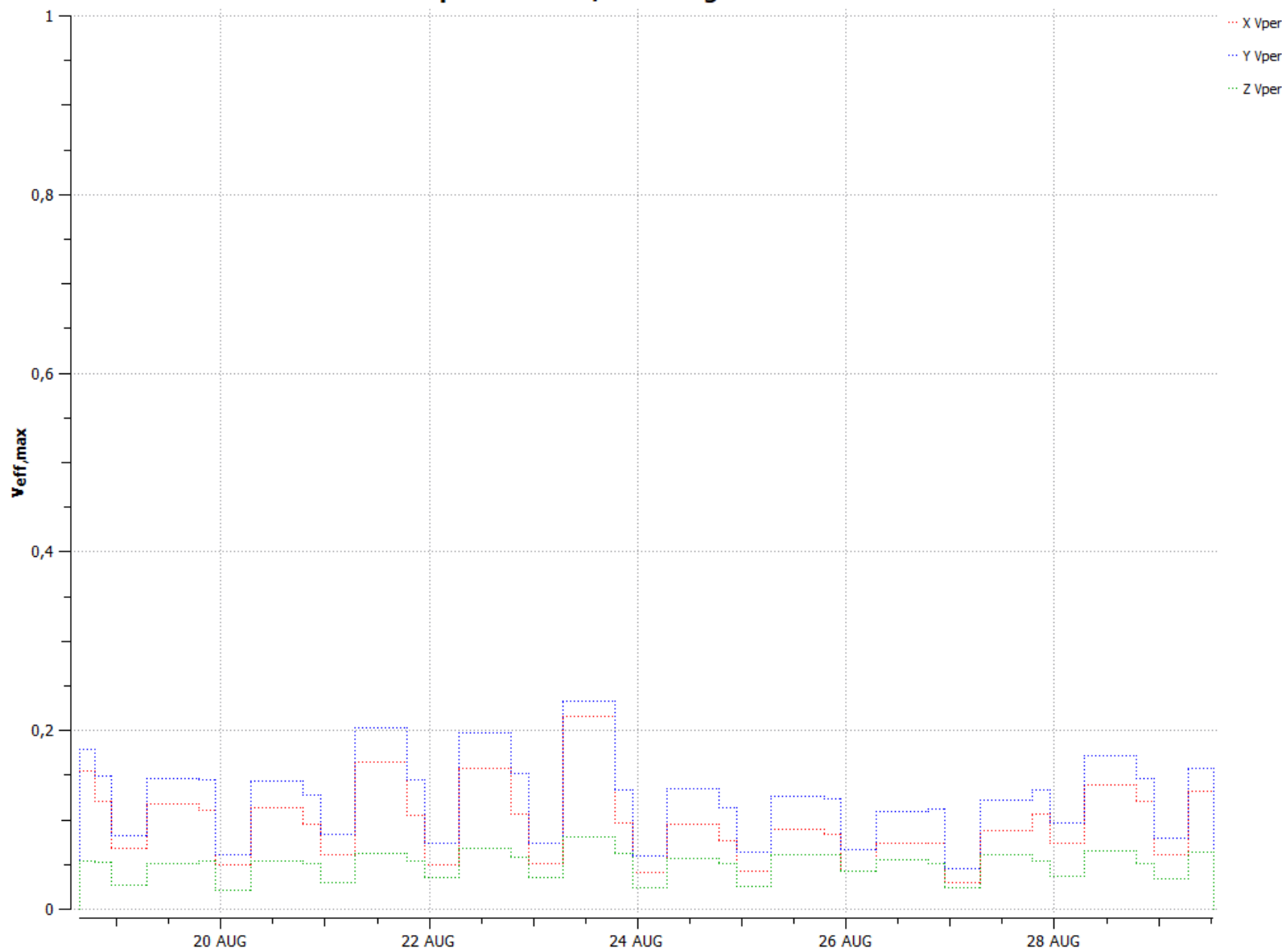
**meetpunt 2 - 18 t/m 29 augustus - VIBe117**



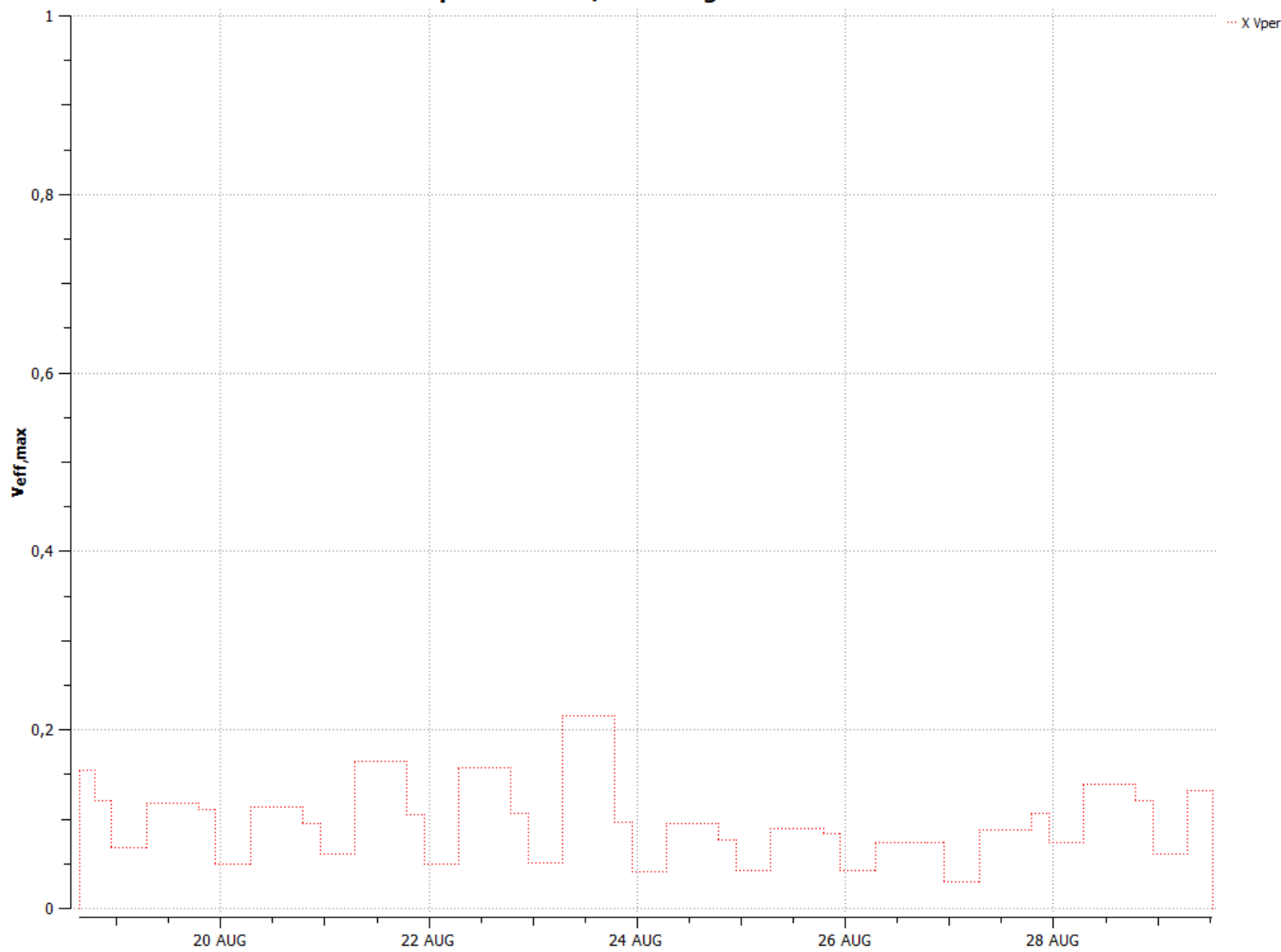
### meetpunt 2 - 18 t/m 29 augustus - VIBe117



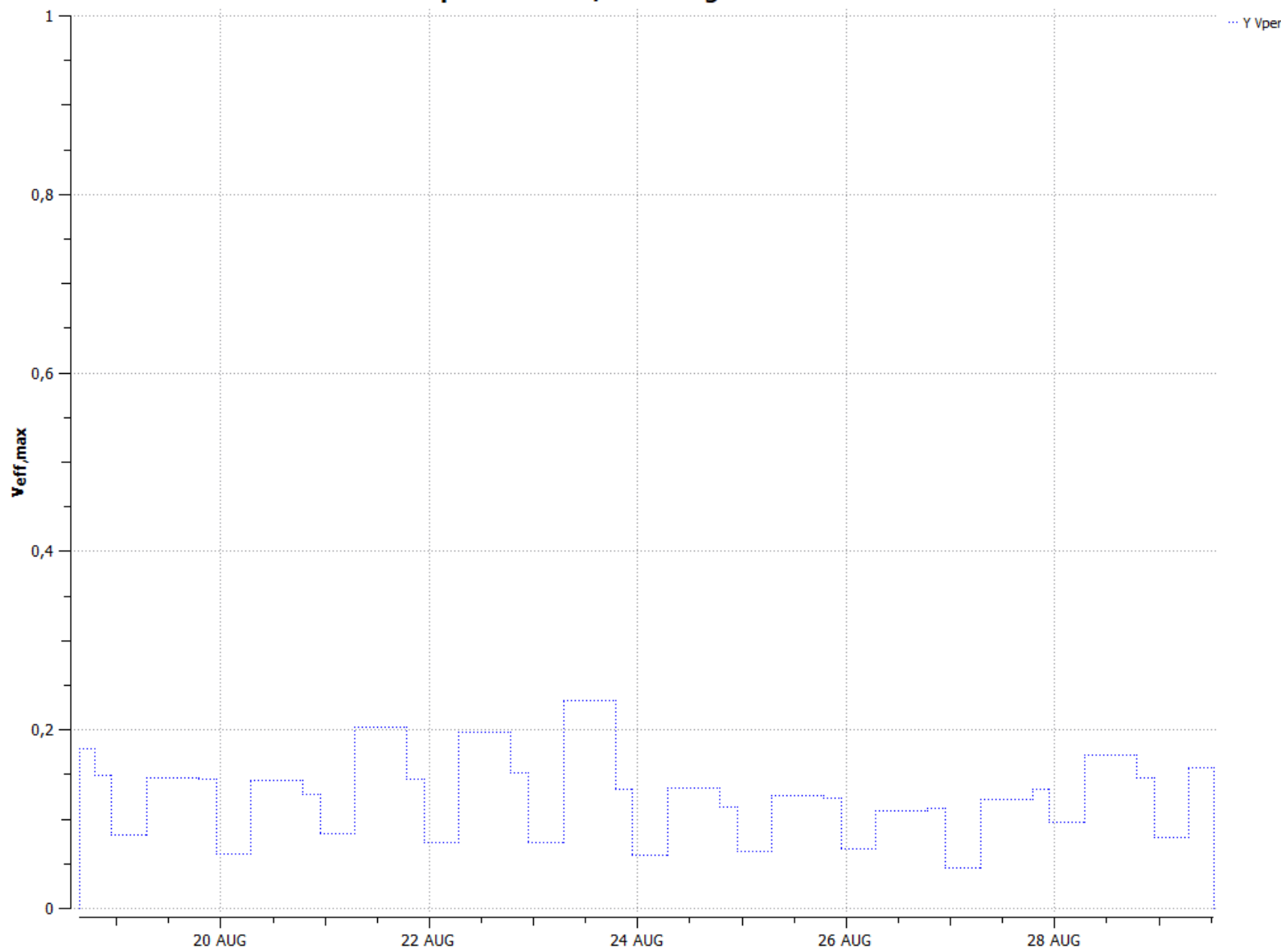
**meetpunt 2 - 18 t/m 29 augustus - VIBe117**



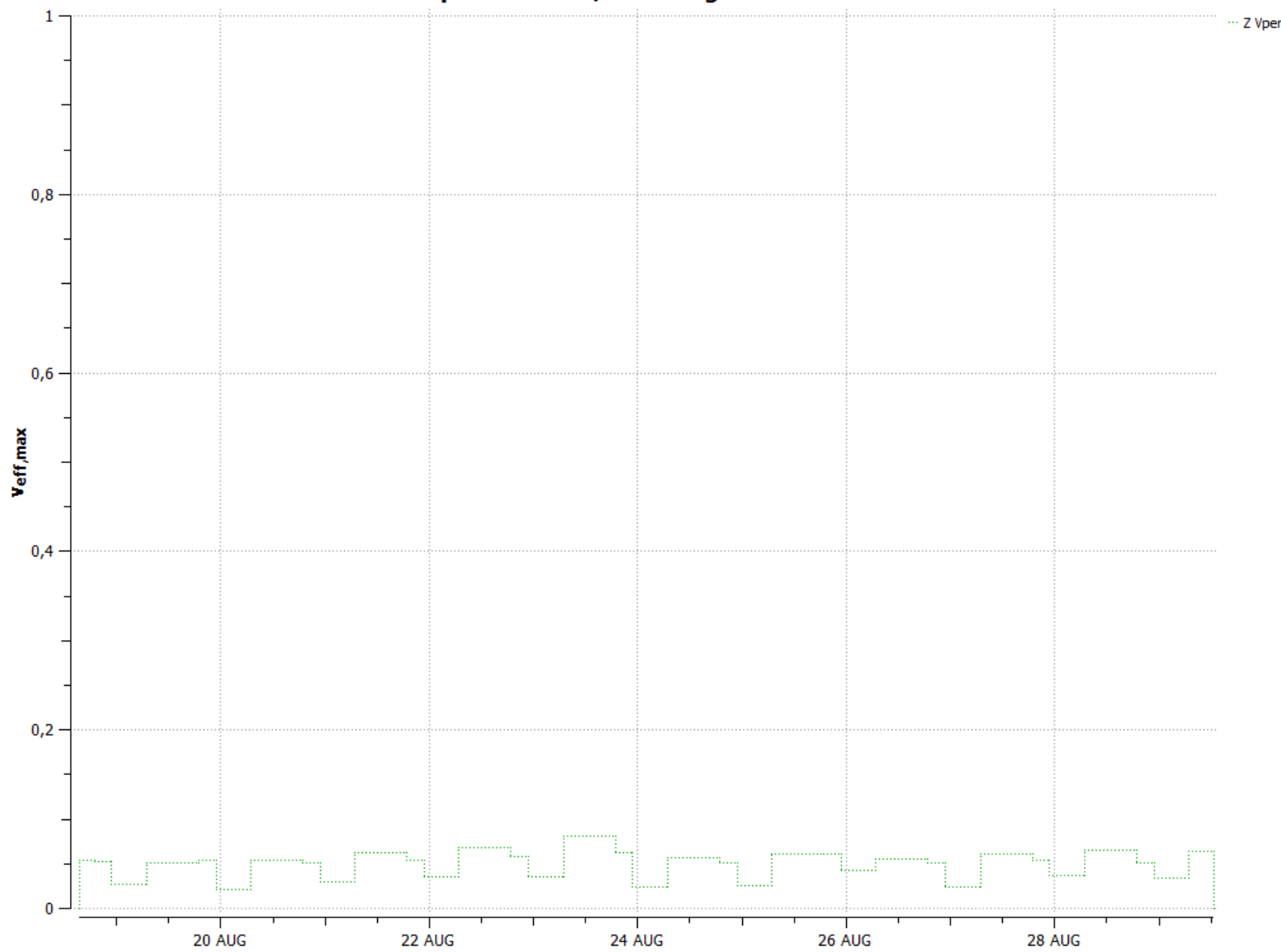
**meetpunt 2 - 18 t/m 29 augustus - VIBe117**



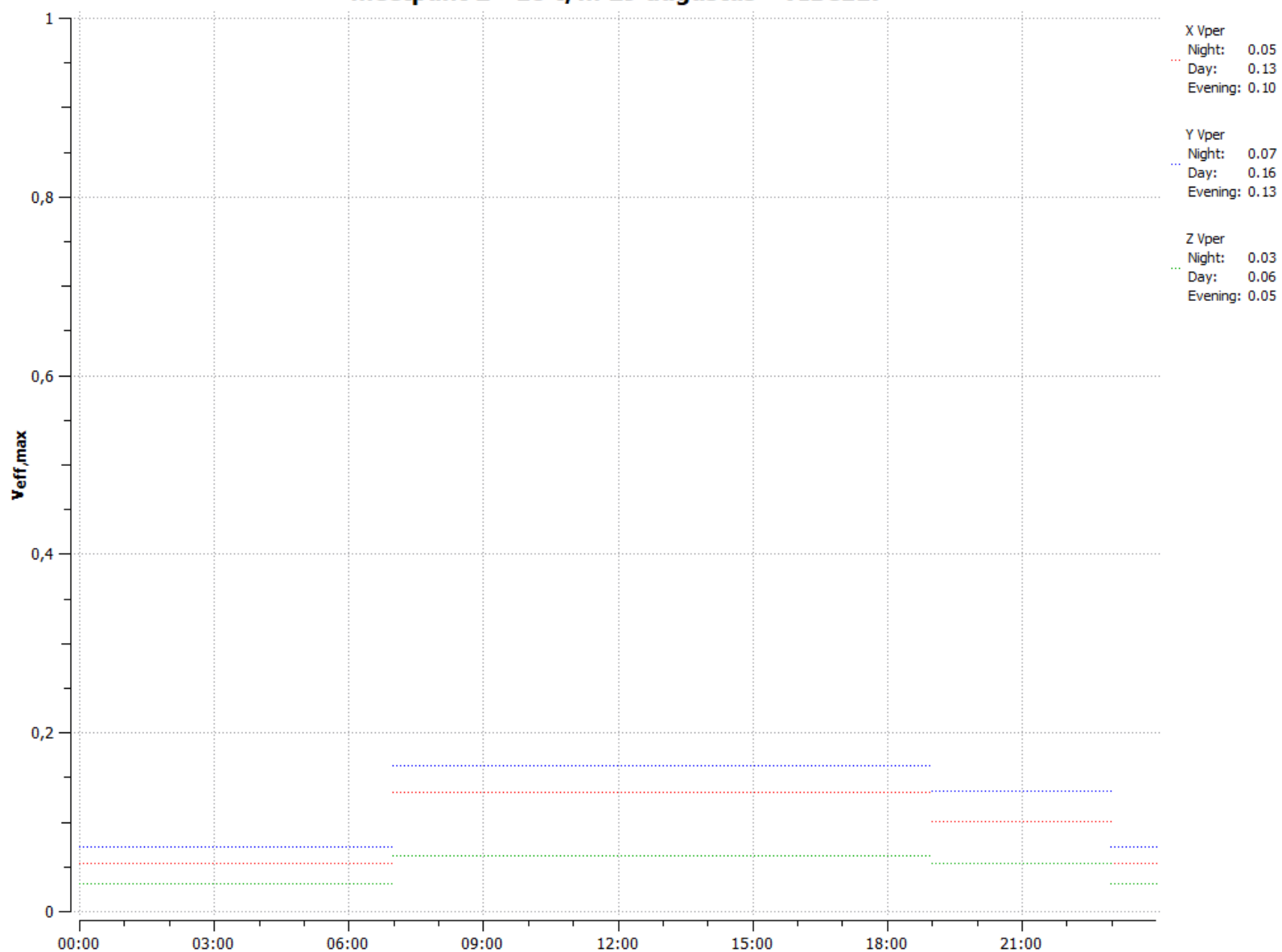
**meetpunt 2 - 18 t/m 29 augustus - VIBe117**



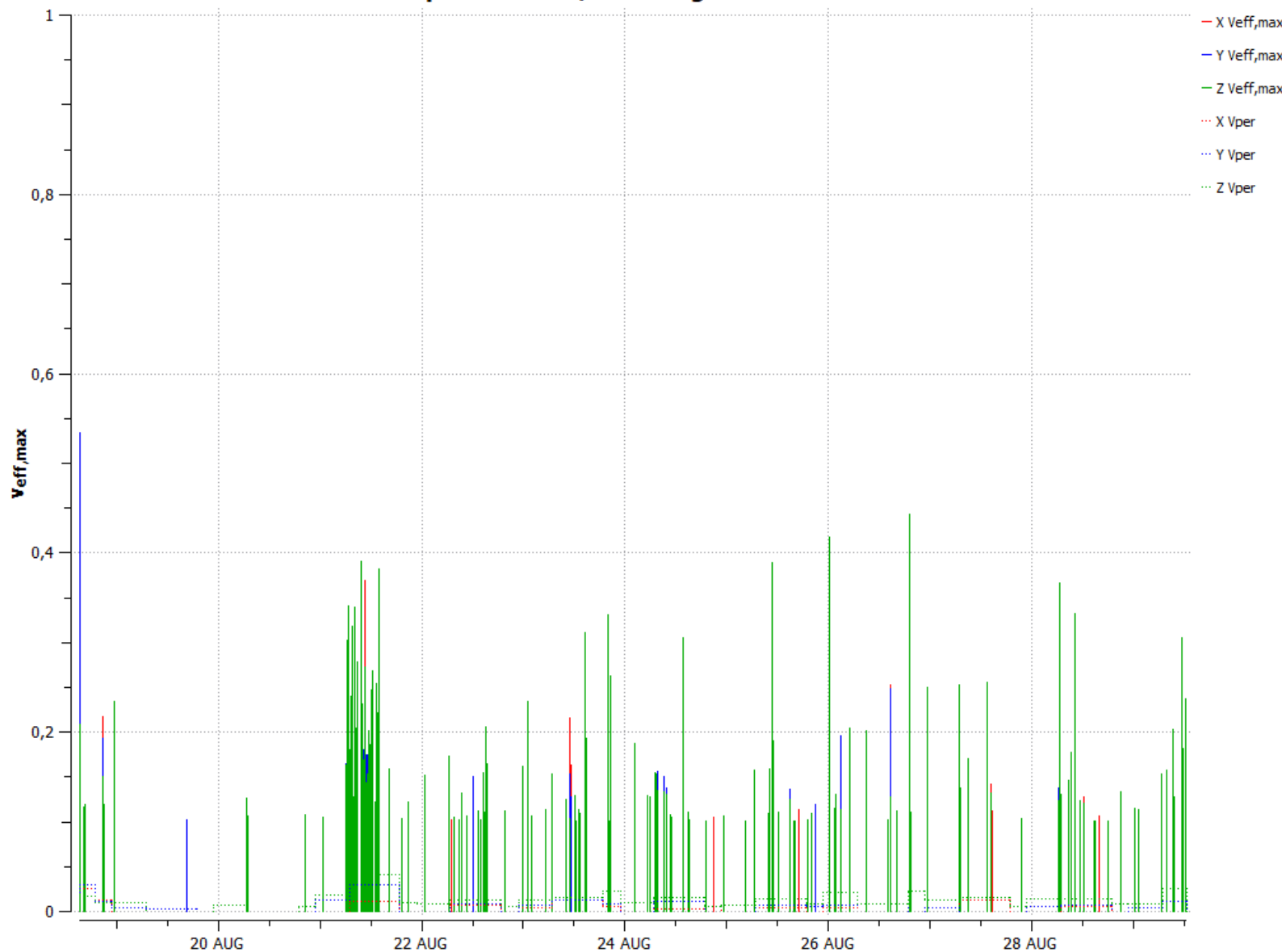
**meetpunt 2 - 18 t/m 29 augustus - VIBe117**



## meetpunt 2 - 18 t/m 29 augustus - VIBe117



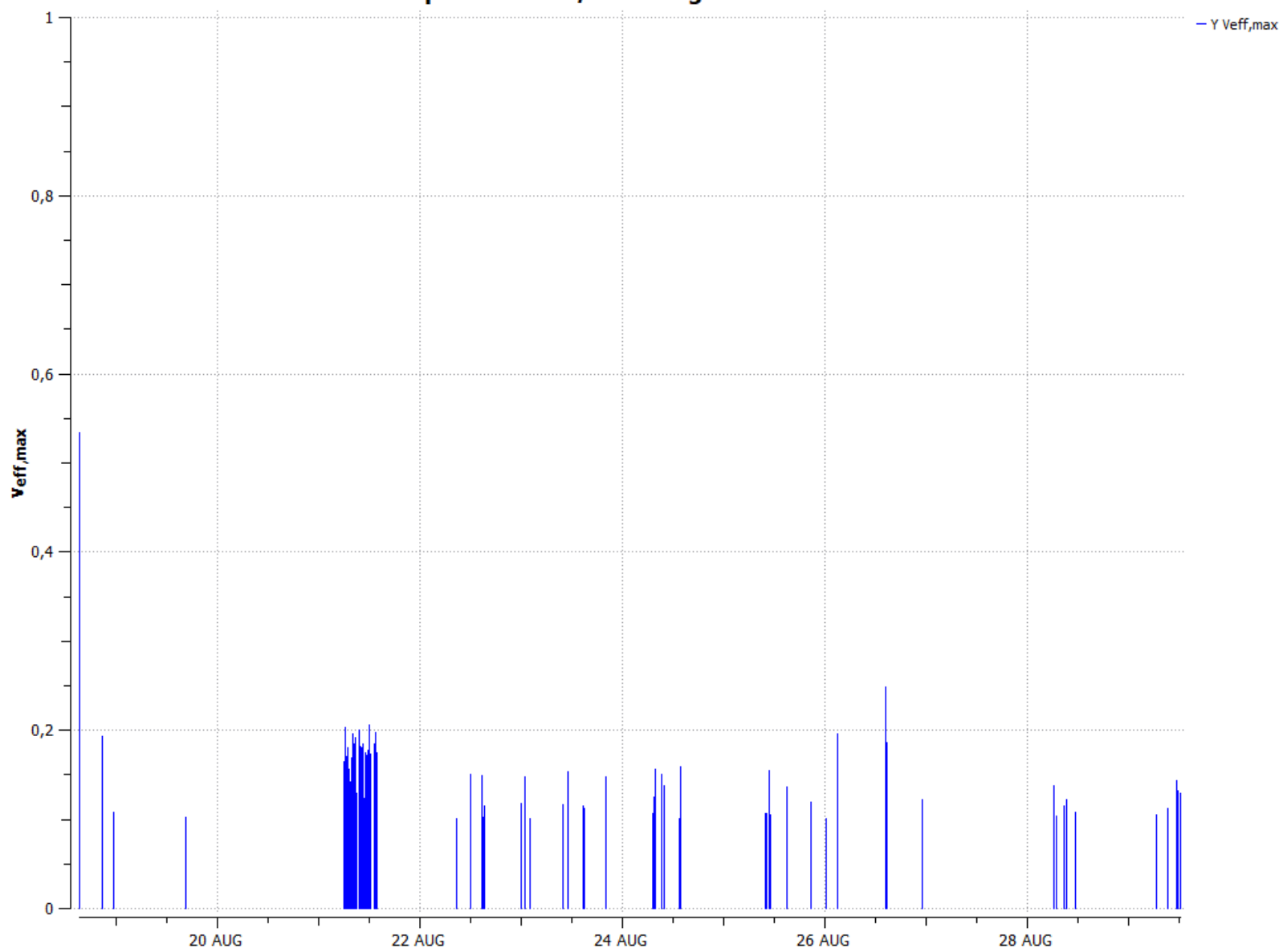
**meetpunt 3 - 18 t/m 29 augustus - VIBe115**



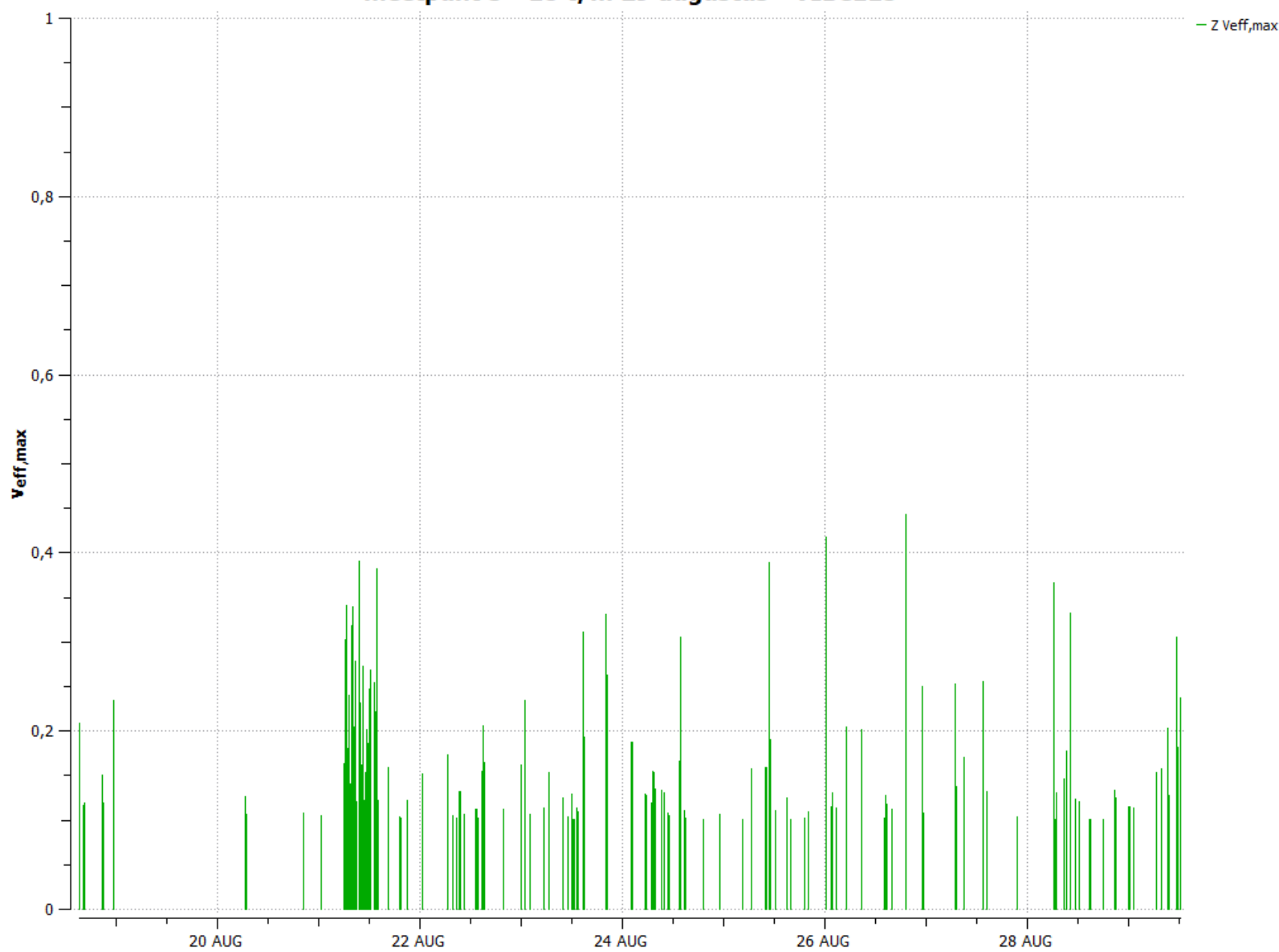
**meetpunt 3 - 18 t/m 29 augustus - VIBe115**



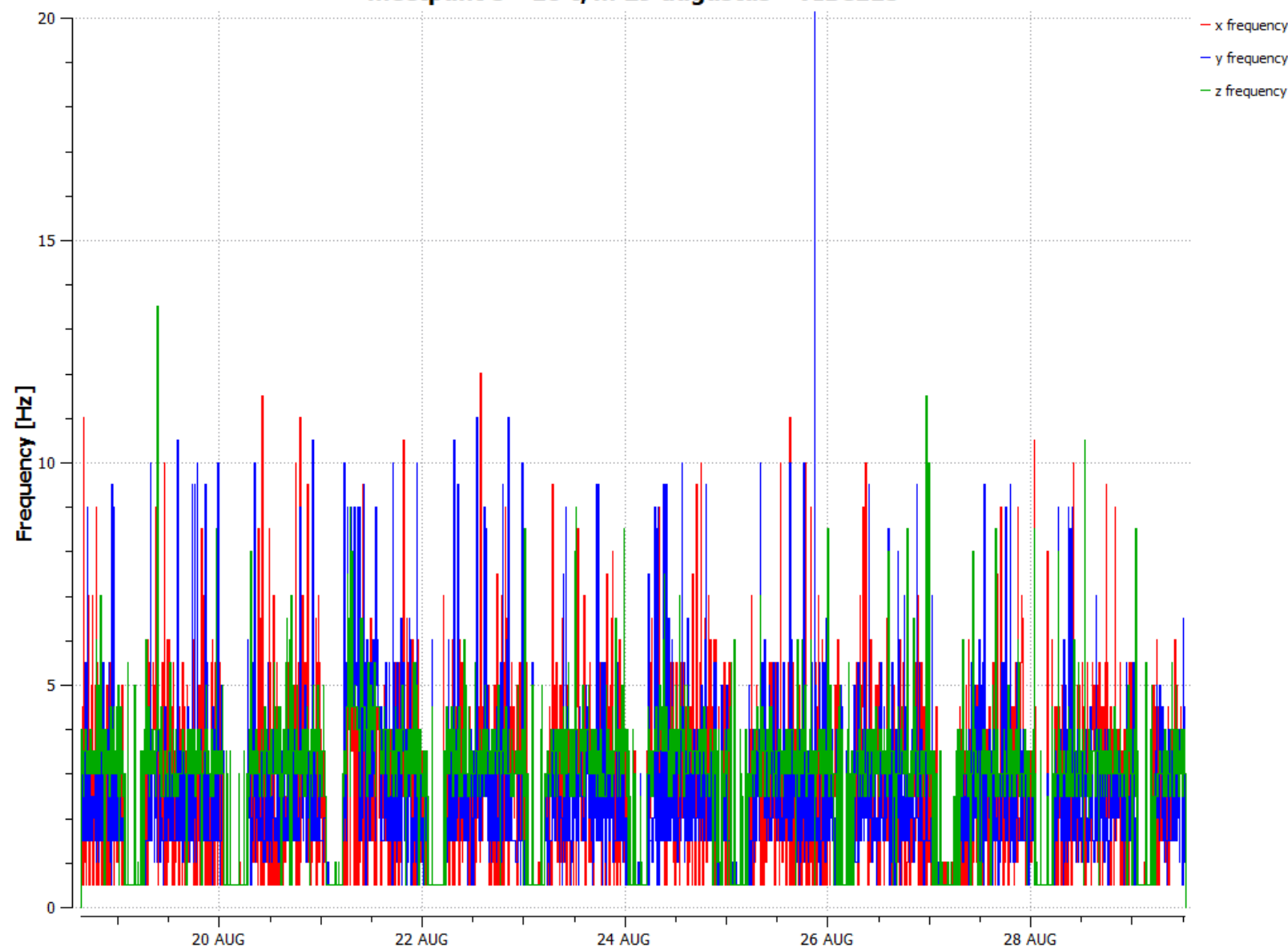
**meetpunt 3 - 18 t/m 29 augustus - VIBe115**



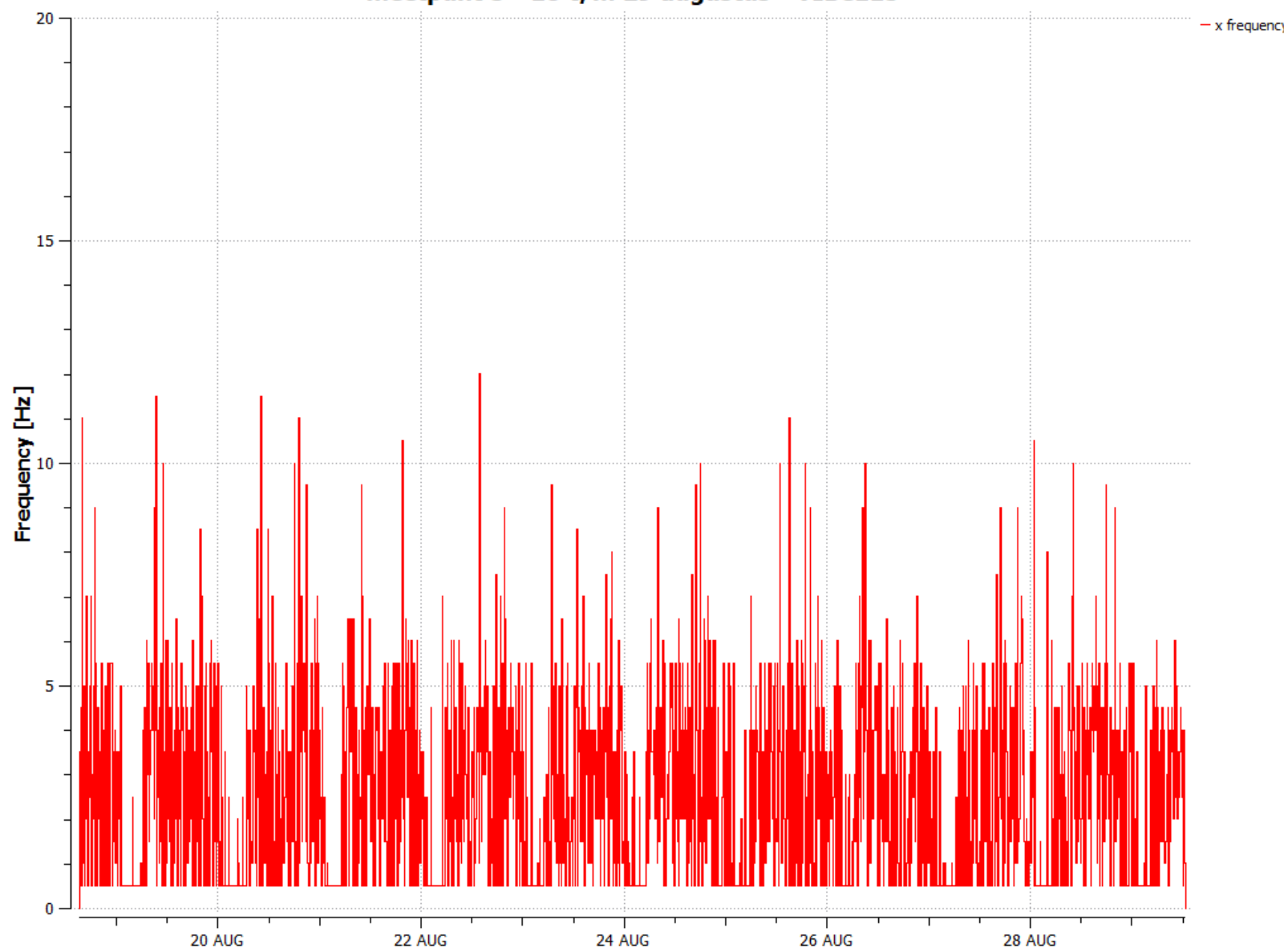
**meetpunt 3 - 18 t/m 29 augustus - VIBe115**



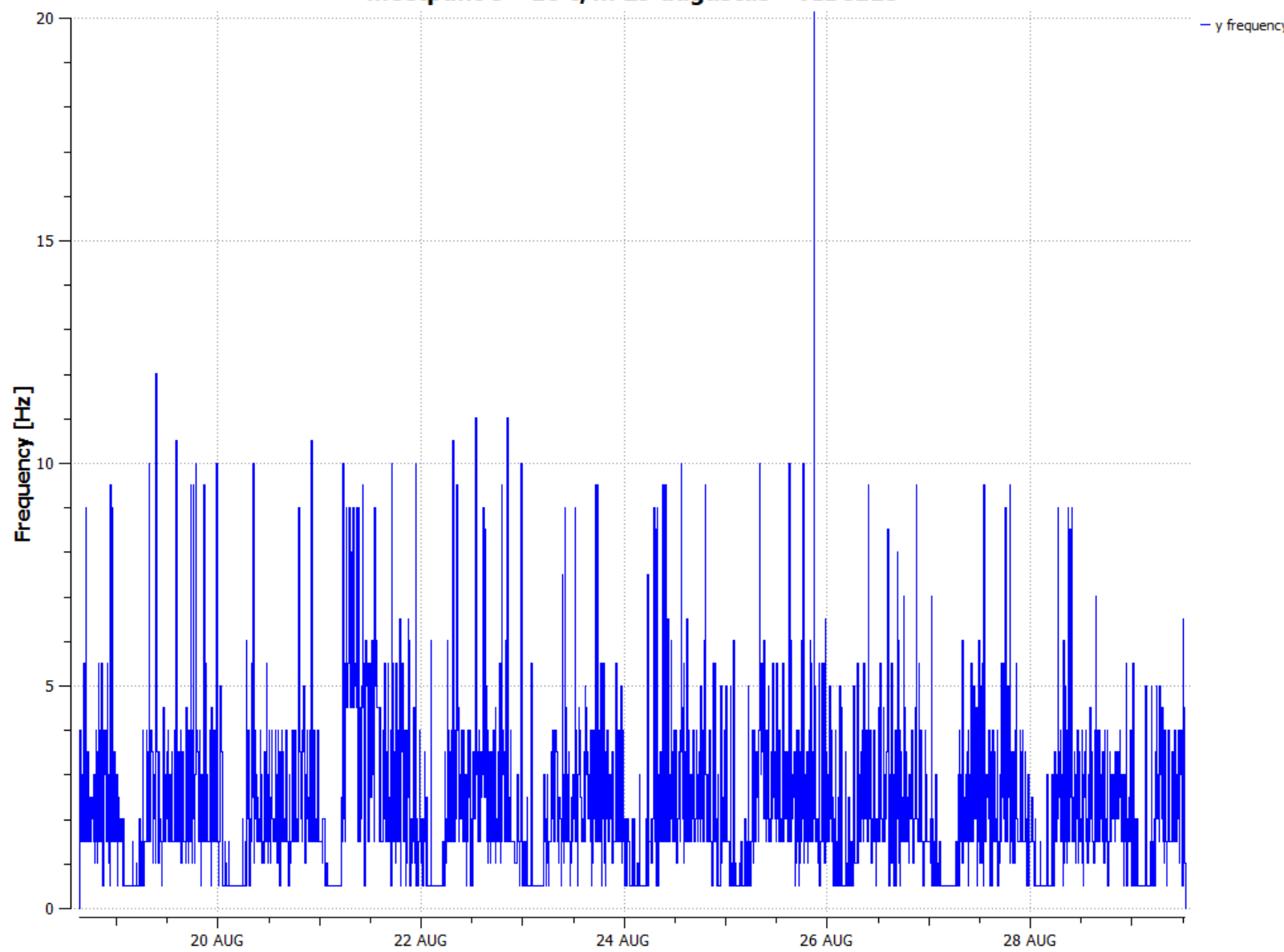
**meetpunt 3 - 18 t/m 29 augustus - VIBe115**



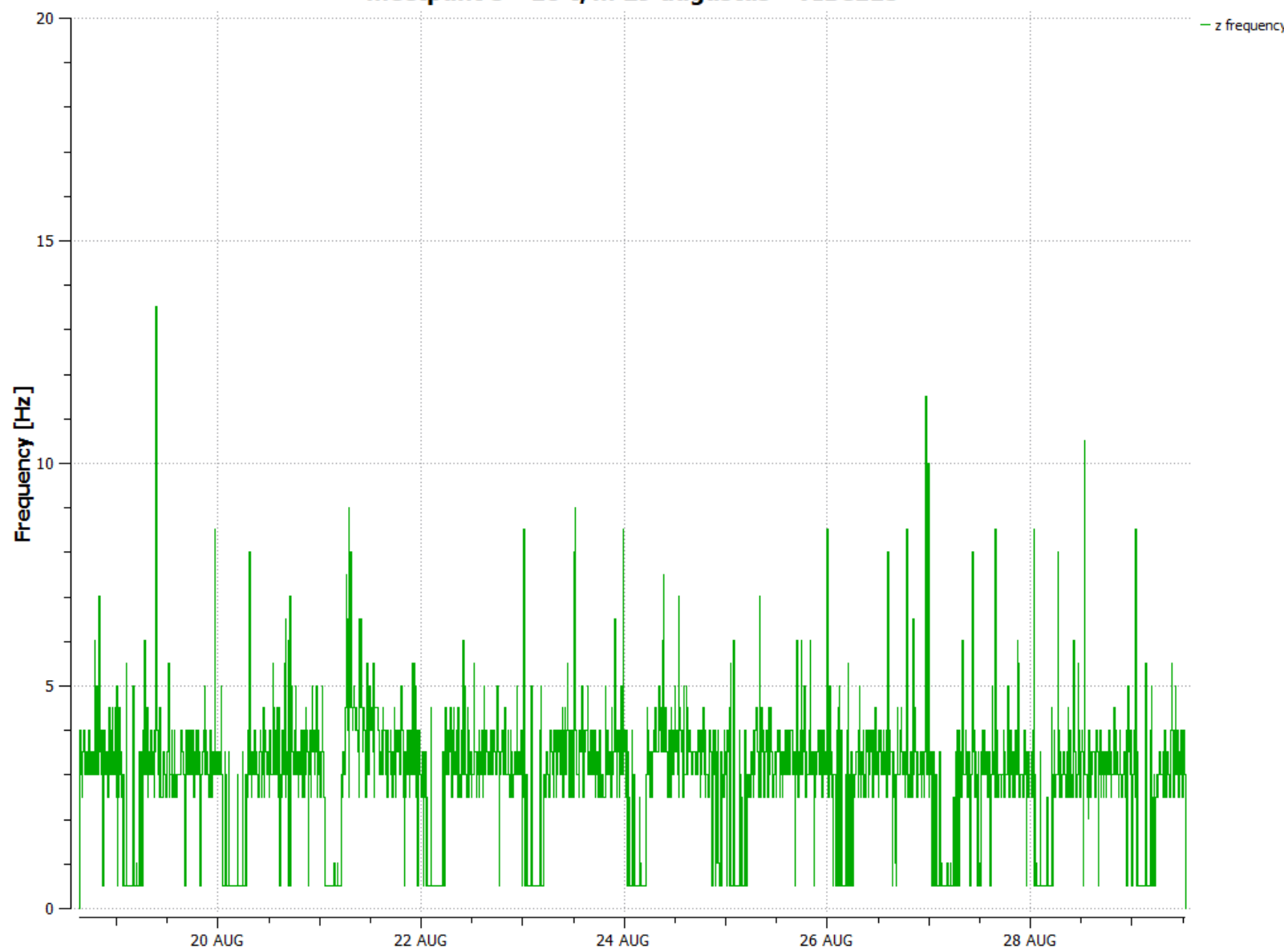
**meetpunt 3 - 18 t/m 29 augustus - VIBe115**



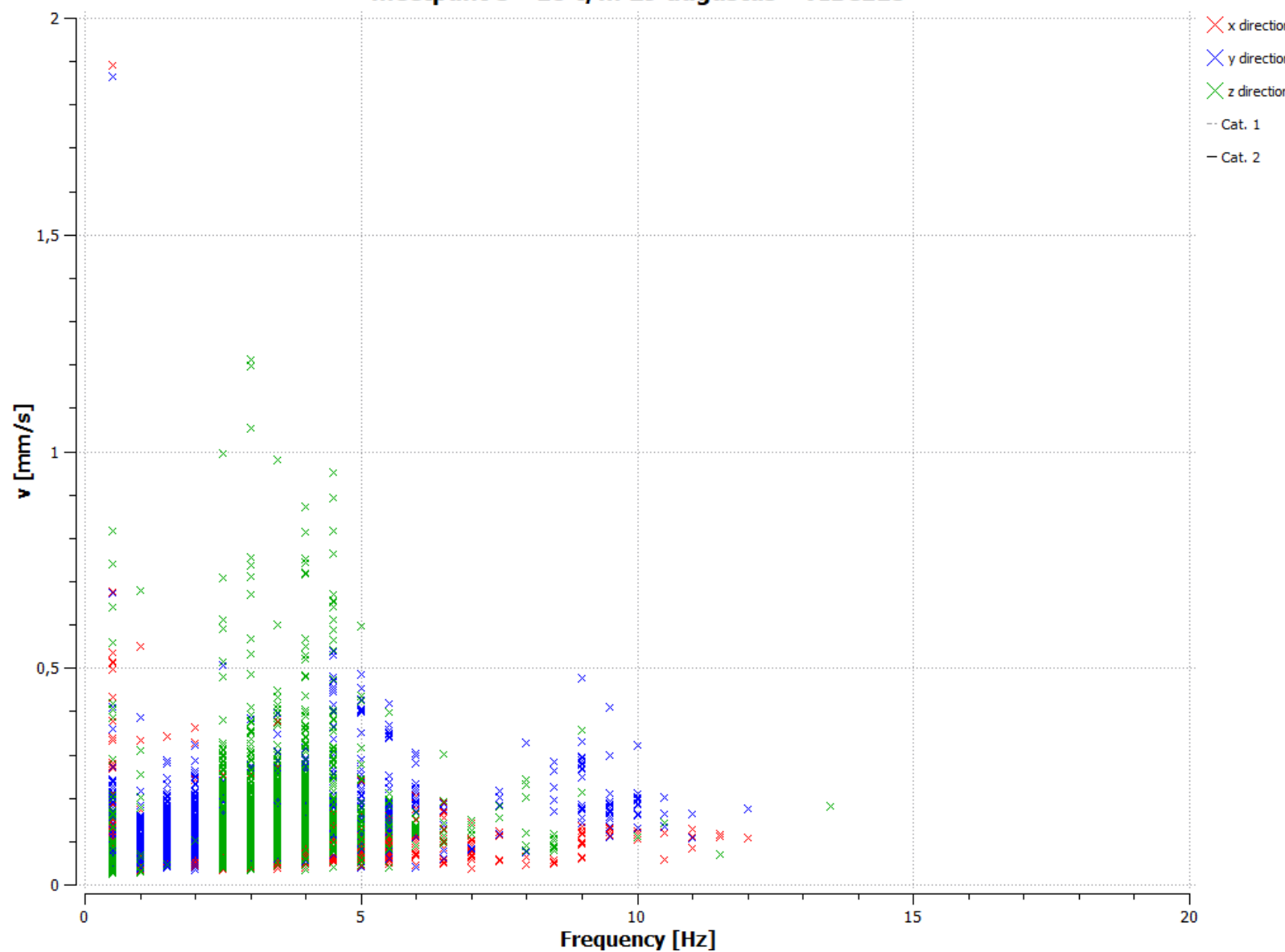
**meetpunt 3 - 18 t/m 29 augustus - VIBe115**



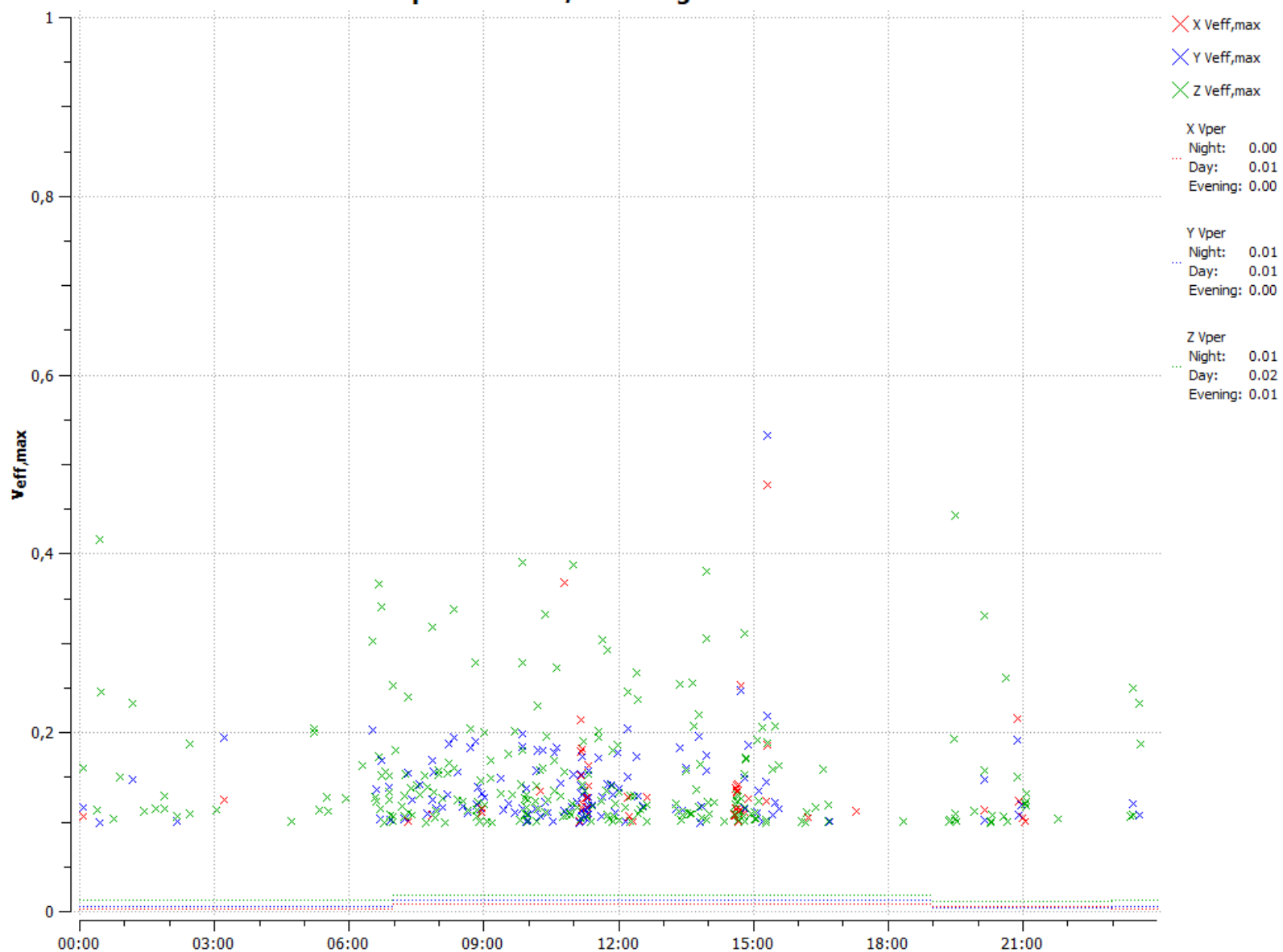
**meetpunt 3 - 18 t/m 29 augustus - VIBe115**



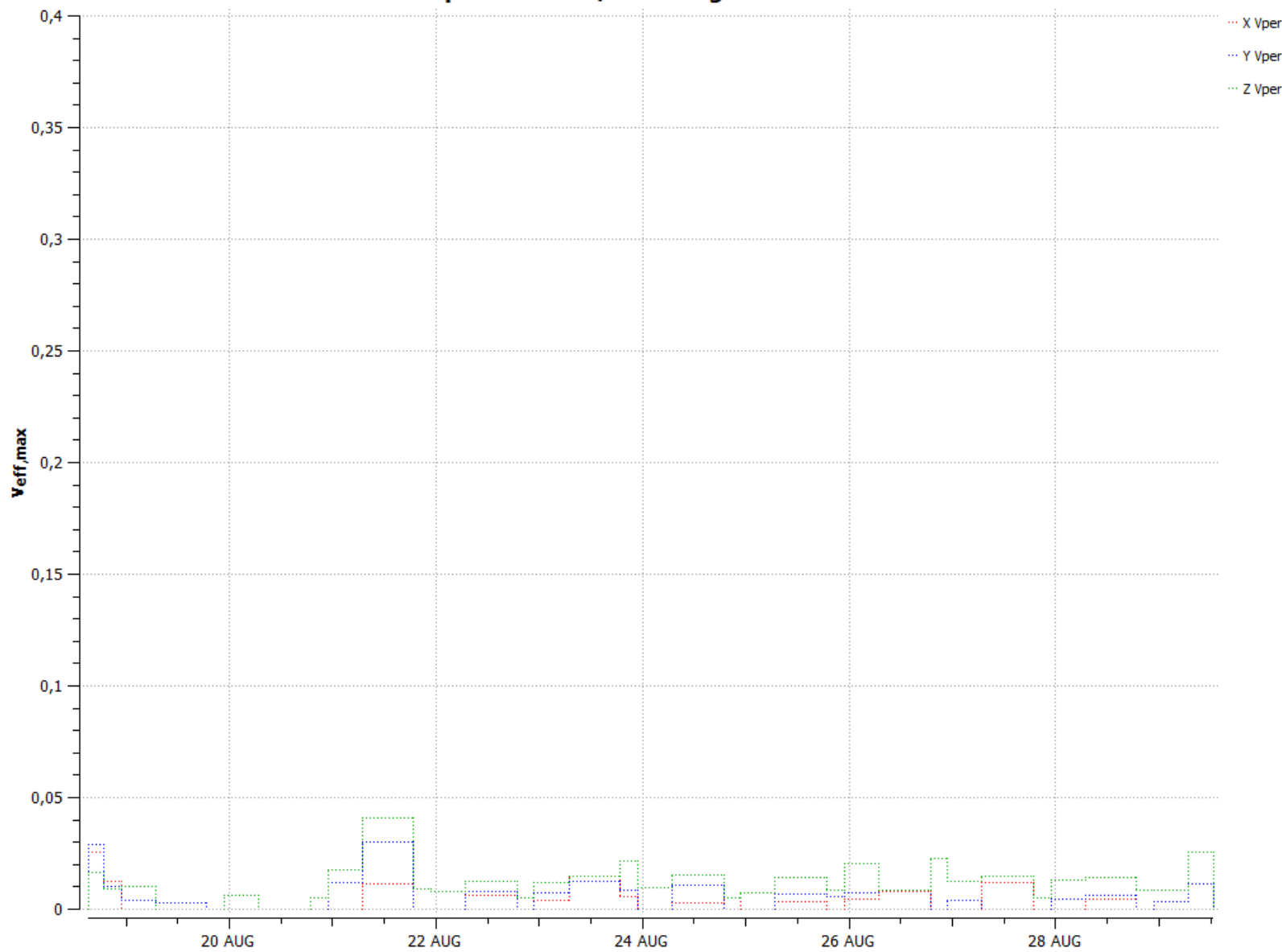
**meetpunt 3 - 18 t/m 29 augustus - VIBe115**



### meetpunt 3 - 18 t/m 29 augustus - VIBe115



**meetpunt 3 - 18 t/m 29 augustus - VIBe115**



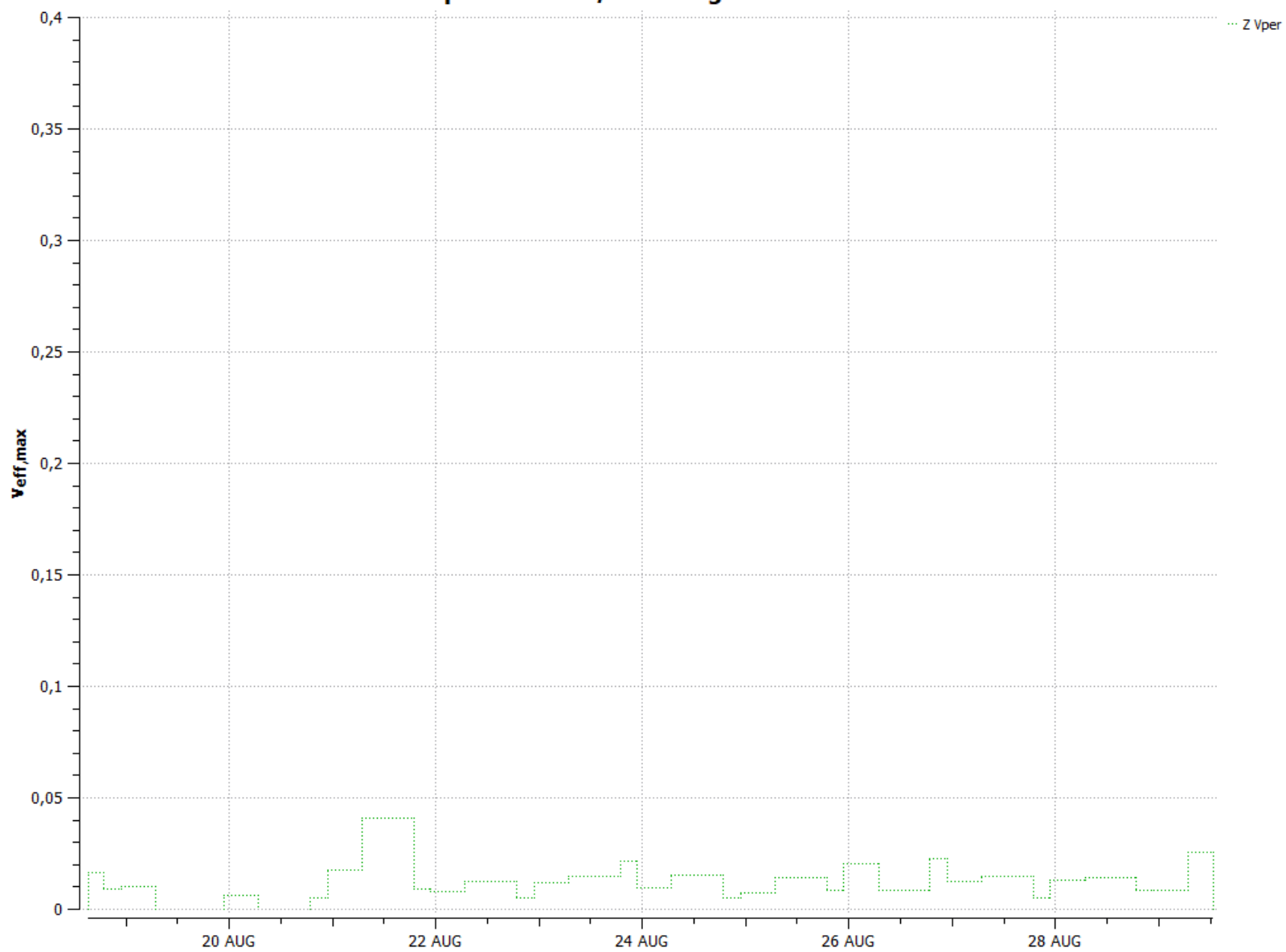
**meetpunt 3 - 18 t/m 29 augustus - VIBe115**



**meetpunt 3 - 18 t/m 29 augustus - VIBe115**



**meetpunt 3 - 18 t/m 29 augustus - VIBe115**



### meetpunt 3 - 18 t/m 29 augustus - VIBe115



## Bijlage 2: Intensiteiten goederentrein passages

basic verkeersdatum	basic treinnr	basic treinnr	basic treinnr	basic drp	basic drp ad	basic plan	basic uitvoer	quovadis_re	quovadis_re	quovadis_re	act_planactu	act_vorige dr	act_volgend dr	act_planactu	
17-8-2023	51400	G	GO	Rtz	D	17-8-2023 4:38					Rib	Rtz	Rtz		
17-8-2023	51400	G	GO	Rtz	D	17-8-2023 4:39					Rst	Wiltz			
17-8-2023	41365	G	GO	Rtz	D	17-8-2023 5:09						Wiltz	Rtst		
17-8-2023	41365	G	GO	Rtz	D	17-8-2023 5:11					Rtz	IJsm			
17-8-2023	51407	G	GO	Rtz	D	17-8-2023 6:05	17-8-2023 5:47	G2000,17xS570	719	Br	Wiltz	Rtst	Mvtn		
17-8-2023	51407	G	GO	Rtz	D	17-8-2023 6:07	17-8-2023 5:48	G2000,17xS570	719	Br	Rtz	IJsm	Mvtn		
17-8-2023	63119	G	GO	Rtz	D	17-8-2023 6:35	17-8-2023 6:34	BR193,LAAG733	1284	Mvtaho	Rib	Rtz	Gkpf		
17-8-2023	63119	G	GO	Rtz	D	17-8-2023 6:36	17-8-2023 6:35	BR193,LAAG733	1284	Mvtaho	Rst	Wiltz	Gkpf		
16-8-2023	50139	G	GO	Rtz	D	17-8-2023 7:29	17-8-2023 7:29	G1206,SGGR592	1288	Mvtahw	Rib	Rtz	At		
16-8-2023	50139	G	GO	Rtz	D	17-8-2023 7:36	17-8-2023 7:32	G1206,SGGR592	1288	Mvtahw	Rst	Wiltz	At		
17-8-2023	63196	G	GO	Rtz	D	17-8-2023 9:05					Rib	Rtz			
17-8-2023	63196	G	GO	Rtz	D	17-8-2023 9:06					Rst	Wiltz			
16-8-2023	42784	G	GO	Rtz	D	17-8-2023 9:24	17-8-2023 9:27	2xELOC1800,430	2378	Bh	Wiltz	Rtst	Kfhn		
17-8-2023	51409	G	GO	Rtz	D	17-8-2023 9:24					Rib	Rtz			
16-8-2023	42794	G	GO	Rtz	D	17-8-2023 9:26	17-8-2023 9:30	2xELOC1800,430	2378	Bh	Rtz	IJsm	Kfhn		
17-8-2023	51409	G	GO	Rtz	D	17-8-2023 9:26					Rtz	IJsm			
17-8-2023	51402	G	GO	Rtz	D	17-8-2023 9:35	17-8-2023 9:32	TRAXX,3xSG572	1192	Mvtahw	Rib	Rtz	Br		
17-8-2023	51402	G	GO	Rtz	D	17-8-2023 9:36	17-8-2023 9:33	TRAXX,3xSG572	1192	Mvtahw	Rst	Wiltz	Br		
17-8-2023	46267	G	GO	Rtz	D	17-8-2023 10:35	17-8-2023 10:35	ELOC1800,LJ559	852	Kfhz	Rib	Rtz	Bh		
17-8-2023	46267	G	GO	Rtz	D	17-8-2023 10:36	17-8-2023 10:36	ELOC1800,LJ559	852	Kfhz	Rst	Wiltz	Bh		
17-8-2023	42797	G	GO	Rtz	D	17-8-2023 11:05					Kfhz	Rib	Rtz	Bh	
17-8-2023	42797	G	GO	Rtz	D	17-8-2023 11:06					Kfhz	Rst	Wiltz	Bh	
17-8-2023	46103	G	GO	Rtz	D	17-8-2023 11:35					Rib	Rtz			
17-8-2023	46103	G	GO	Rtz	D	17-8-2023 11:36					Rst	Wiltz			
17-8-2023	41681	G	GO	Rtz	D	17-8-2023 13:24	17-8-2023 13:25	TRAXX,16xL508	772	Amf	Wiltz	Rtst	Esn		
17-8-2023	41681	G	GO	Rtz	D	17-8-2023 13:26	17-8-2023 13:27	TRAXX,16xL508	772	Amf	Rtz	IJsm	Esn		
17-8-2023	49727	G	GO	Rtz	D	17-8-2023 13:35					Rib	Rtz			
17-8-2023	49727	G	GO	Rtz	D	17-8-2023 13:36					Rst	Wiltz			
17-8-2023	51401	G	GO	Rtz	D	17-8-2023 13:54					Wiltz	Rtst			
17-8-2023	56002	G	GO	Rtz	D	17-8-2023 13:54	17-8-2023 13:56	BR203,36xF0357	467	Kfhz	Rib	Rtz	Awhvg		
17-8-2023	51401	G	GO	Rtz	D	17-8-2023 13:55					Rtz	IJsm	Mvtahw		
17-8-2023	56002	G	GO	Rtz	D	17-8-2023 13:55	17-8-2023 13:57	BR203,36xF0357	467	Kfhz	Rst	Wiltz	Awhvg		
17-8-2023	56931	G	GO	Rtz	D	17-8-2023 15:56					Rib	Rtz			
17-8-2023	56931	G	GO	Rtz	D	17-8-2023 15:58					Rst	Wiltz			
17-8-2023	50140	G	GO	Rtz	D	17-8-2023 16:24	17-8-2023 16:25	G1206,10xS591	1202	At	Wiltz	Rtst	Mvtahw		
17-8-2023	63197	G	GO	Rtz	D	17-8-2023 16:24					Wiltz	Rtst			
17-8-2023	50140	G	GO	Rtz	D	17-8-2023 16:26	17-8-2023 16:26	G1206,10xS591	1202	At	Rtz	IJsm	Mvtahw		
17-8-2023	63197	G	GO	Rtz	D	17-8-2023 16:26					Rtz	IJsm	Mvtahw		
17-8-2023	51404	G	GO	Rtz	D	17-8-2023 16:36	17-8-2023 16:37	G2000,2xSG544	1171	Mvtw	Rib	Rtz	Br		
17-8-2023	51404	G	GO	Rtz	D	17-8-2023 16:38	17-8-2023 16:38	G2000,2xSG544	1171	Mvtw	Rst	Wiltz	Br		
17-8-2023	56003	G	GO	Rtz	D	17-8-2023 17:22	17-8-2023 17:29	BR203,36xF0357	485	Kfhz	Rib	Rtz	Awhvg		
17-8-2023	56003	G	GO	Rtz	D	17-8-2023 17:23	17-8-2023 17:30	BR203,36xF0357	485	Kfhz	Rst	Wiltz	Awhvg		
17-8-2023	63122	G	GO	Rtz	D	17-8-2023 17:24	17-8-2023 17:26	BR193,2xLG732	1010	Gkpf	Wiltz	Rtst	Mvtaho		
17-8-2023	63122	G	GO	Rtz	D	17-8-2023 17:26	17-8-2023 17:28	BR193,2xLG732	1010	Gkpf	Rtz	IJsm	Mvtaho		
17-8-2023	42795	G	GO	Rtz	D	17-8-2023 17:35	17-8-2023 17:33	ELOC1800,2427	827	Kfhz	Rib	Rtz	Bh		
17-8-2023	42795	G	GO	Rtz	D	17-8-2023 17:36	17-8-2023 17:39	ELOC1800,2427	827	Kfhz	Rst	Wiltz	Bh		
17-8-2023	51403	G	GO	Rtz	D	17-8-2023 18:29	17-8-2023 18:25	TRAXX,17xS571	841	Br	Wiltz	Rtst	Mvtahw		
17-8-2023	51403	G	GO	Rtz	D	17-8-2023 18:30	17-8-2023 18:27	TRAXX,17xS571	841	Br	Rtz	IJsm	Mvtahw		
17-8-2023	62070	G	GO	Rtz	D	17-8-2023 18:51					Rib	Rtz			
17-8-2023	62070	G	GO	Rtz	D	17-8-2023 18:52					Rst	Wiltz			
17-8-2023	46254	G	GO	Rtz	D	17-8-2023 19:21	17-8-2023 19:21	TRAXX,29xS586	996	Esn	Rib	Rtz	Bh		
17-8-2023	46254	G	GO	Rtz	D	17-8-2023 19:22	17-8-2023 19:23	TRAXX,29xS586	996	Esn	Rst	Wiltz	Bh		
17-8-2023	61816	G	GO	Rtz	D	17-8-2023 19:23	17-8-2023 19:23	2x6400,2xZA195	647	Lutdsm	Rtz	IJsm	Kfhn		
17-8-2023	61816	G	GO	Rtz	D	17-8-2023 19:24	17-8-2023 19:24	2x6400,2xZA195	647	Lutdsm	Rtz	IJsm	Kfhn		
17-8-2023	60500	G	GO	Rtz	D	17-8-2023 19:54	17-8-2023 19:55	BR189,3xOrd573	779	Amf	Rtz	IJsm	Kfhn		
17-8-2023	60500	G	GO	Rtz	D	17-8-2023 19:56	17-8-2023 19:56	BR189,3xOrd573	779	Amf	Rtz	IJsm	Kfhn		
17-8-2023	46253	G	GO	Rtz	D	17-8-2023 20:24	17-8-2023 20:23	TRAXX,29xS586	1328	Bh	Wiltz	Rtst	Esn		
17-8-2023	46253	G	GO	Rtz	D	17-8-2023 20:26	17-8-2023 20:24	TRAXX,29xS586	1328	Bh	Rtz	IJsm	Esn		
17-8-2023	61186	G	GO	Rtz	D	17-8-2023 20:50	17-8-2023 20:48	6400,2xSHIM54	277	Kfhz	Rib	Rtz	Std		
17-8-2023	61186	G	GO	Rtz	D	17-8-2023 20:52	17-8-2023 20:52	6400,2xSHIM54	277	Kfhz	Rst	Wiltz	Std		
17-8-2023	62726	G	GO	Rtz	D	17-8-2023 20:56	17-8-2023 21:03	6400,SGCR5611	989	Tbl	Wiltz	Rst	Sloe		
17-8-2023	62726	G	GO	Rtz	D	17-8-2023 20:57	17-8-2023 21:05	6400,SGCR8611	989	Tbl	Rtz	IJsm	Sloe		
17-8-2023	61063	G	GO	Rtz	D	17-8-2023 21:04	17-8-2023 21:01	BR189,4xHA110	419	Kfhz	Rib	Rtz	Awhvg		
17-8-2023	61063	G	GO	Rtz	D	17-8-2023 21:06	17-8-2023 21:24	BR189,4xHA110	419	Kfhz	Rst	Wiltz	Awhvg		
17-8-2023	41784	G	GO	Rtz	D	17-8-2023 21:24	17-8-2023 21:23	2xTRAXX,LA652	1055	Bh	Wiltz	Rtst	Esn		
17-8-2023	41784	G	GO	Rtz	D	17-8-2023 21:26	17-8-2023 21:24	2xTRAXX,LA652	1055	Bh	Rtz	IJsm	Esn		
17-8-2023	51406	G	GO	Rtz	D	17-8-2023 22:37					Rib	Rtz			
17-8-2023	51406	G	GO	Rtz	D	17-8-2023 22:38					Rst	Wiltz			
17-8-2023	62073	G	GO	Rtz	D	17-8-2023 23:49					Wiltz	Rst			
17-8-2023	62073	G	GO	Rtz	D	17-8-2023 23:50					Rtz	IJsm			
17-8-2023	42796	G	GO	Rtz	D	17-8-2023 23:54	17-8-2023 23:51	2xELOC1800,361	639	Bh	Wiltz	Rtst	Kfhn		
17-8-2023	42796	G	GO	Rtz	D	17-8-2023 23:56	17-8-2023 23:52	2xELOC1800,361	639	Bh	Rtz	IJsm	Kfhn		
17-8-2023	43347	G	GO	Rtz	D	18-8-2023 0:15	18-8-2023 0:15	BR193,24xS637	866	Mvtw	Rib	Rtz	Kn		
17-8-2023	43347	G	GO	Rtz	D	18-8-2023 0:17	18-8-2023 0:17	BR193,24xS637	866	Mvtw	Rst	Wiltz	Kn		
17-8-2023	41359	G	GO	Rtz	D	18-8-2023 0:21	18-8-2023 0:23	BR193,SGCH614	2123	Ps	Rib	Rtz	Bh		
17-8-2023	41359	G	GO	Rtz	D	18-8-2023 0:22	18-8-2023 0:28	BR193,SGCH614	2123	Ps	Rst	Wiltz	Bh		
17-8-2023	51405	G	GO	Rtz	D	18-8-2023 0:52	18-8-2023 0:51	G2000,6xSG543	1242	Br	Wiltz	Rst	Mvtw		
17-8-2023	51405	G	GO	Rtz	D	18-8-2023 0:53	18-8-2023 0:52	G2000,6xSG543	1242	Br	Rtz	Mvtw			
17-8-2023	61600	G	GO	Rtz	D	18-8-2023 1:11	18-8-2023 1:12	BR189,6xHA205	666	Awhvg	Rib	Rtz	Kfhn		
17-8-2023	61600	G	GO	Rtz	D	18-8-2023 1:12	18-8-2023 1:13	BR189,6xHA205	666	Awhvg	Rtz	IJsm	Kfhn		
17-8-2023															

18-8-2023	46254	G	GO	Rtz	D	18-8-2023 18:06	18-8-2023 18:06	TRAXX.29xS 855	1099	Esn	Rst	Wltz	Bh	
18-8-2023	51401	G	GO	Rtz	D	18-8-2023 18:23	18-8-2023 18:25	TRAXX.7xSG 564	797	Br	Wltz	Rst	Mvtahw	
18-8-2023	51401	G	GO	Rtz	D	18-8-2023 18:24	18-8-2023 18:26	TRAXX.7xSG 564	797	Br	Rtz	IJsm	Mvtahw	
18-8-2023	51403	G	GO	Rtz	D	18-8-2023 18:51						Wltz	Rst	
18-8-2023	51403	G	GO	Rtz	D	18-8-2023 18:51						Rtz	IJsm	
18-8-2023	62070	G	GO	Rtz	D	18-8-2023 18:51						Rib	Rtz	
18-8-2023	62070	G	GO	Rtz	D	18-8-2023 18:52						Rst	Wltz	
18-8-2023	62870	G	GO	Rtz	D	18-8-2023 19:24	18-8-2023 19:25	BR189,2xSH 503	911	Lutdm	Wltz	Rst	Sloe	
18-8-2023	50138	G	GO	Rtz	D	18-8-2023 19:24						Wltz	Rst	
18-8-2023	62870	G	GO	Rtz	D	18-8-2023 19:26	18-8-2023 19:26	BR189,2xSH 503	911	Lutdm	Rtz	IJsm	Sloe	
18-8-2023	50138	G	GO	Rtz	D	18-8-2023 19:26						Rtz	IJsm	
18-8-2023	61063	G	GO	Rtz	D	18-8-2023 21:05	18-8-2023 21:05	BR189,3xHA 301	987	Kthz	Rib	Rtz	Awhvg	
18-8-2023	61063	G	GO	Rtz	D	18-8-2023 21:06	18-8-2023 21:06	BR189,3xHA 301	987	Kthz	Rst	Wltz	Awhvg	
18-8-2023	51406	G	GO	Rtz	D	18-8-2023 22:37	18-8-2023 22:39	TRAXX.2xSG 546	1079	Mvtw	Rib	Rtz	Br	
18-8-2023	51406	G	GO	Rtz	D	18-8-2023 22:38	18-8-2023 22:40	TRAXX.2xSG 546	1079	Mvtw	Rst	Wltz	Br	
18-8-2023	49728	G	GO	Rtz	D	18-8-2023 23:23						Wltz	Rst	
18-8-2023	46257	G	GO	Rtz	D	18-8-2023 23:24	18-8-2023 23:23	TRAXX.4xLA 447	669	Bh	Wltz	Rst	Esn	
18-8-2023	49728	G	GO	Rtz	D	18-8-2023 23:24						Rtz	IJsm	
18-8-2023	46257	G	GO	Rtz	D	18-8-2023 23:26	18-8-2023 23:24	TRAXX.4xLA 447	669	Bh	Rtz	IJsm	Esn	
18-8-2023	41715	G	GO	Rtz	D	18-8-2023 23:35	18-8-2023 23:36	BR193,SGGH 597	1308	Sloe	Rib	Rtz	Bh	
18-8-2023	41715	G	GO	Rtz	D	18-8-2023 23:36	18-8-2023 23:37	BR193,SGGH 597	1308	Sloe	Rst	Wltz	Bh	
18-8-2023	62073	G	GO	Rtz	D	18-8-2023 23:49						Wltz	Rst	
18-8-2023	62073	G	GO	Rtz	D	18-8-2023 23:50						Rtz	IJsm	
18-8-2023	51408	G	GO	Rtz	D	19-8-2023 0:06						Rib	Rtz	
18-8-2023	51408	G	GO	Rtz	D	19-8-2023 0:08						Rst	Wltz	
18-8-2023	51405	G	GO	Rtz	D	19-8-2023 0:44	19-8-2023 0:49	G2000,17xS 570	1175	Br	Wltz	Rst	Mvtw	
18-8-2023	51405	G	GO	Rtz	D	19-8-2023 0:45	19-8-2023 0:51	G2000,17xS 570	1175	Br	Rtz	IJsm	Mvtw	
18-8-2023	61600	G	GO	Rtz	D	19-8-2023 1:12	19-8-2023 1:14	BR189,2xHA 302	640	Awhvg	Wltz	Rst	Kfhn	
18-8-2023	61600	G	GO	Rtz	D	19-8-2023 1:14	19-8-2023 1:15	BR189,2xHA 302	640	Awhvg	Rtz	IJsm	Kfhn	
19-8-2023	56933	G	GO	Rtz	D	19-8-2023 16:39	19-8-2023 16:41	BR203,36xKU 432	1145	Rtd	Wltz	Rst	Rsd	
19-8-2023	56933	G	GO	Rtz	D	19-8-2023 16:40	19-8-2023 16:42	BR203,36xKU 432	1145	Rtd	Rtz	IJsm	Rsd	
19-8-2023	51782	G	GO	Rtz	D	19-8-2023 20:55	19-8-2023 20:55	G1206,33xKU 397	1323	Rtd	Wltz	Rst	Rsd	
19-8-2023	51782	G	GO	Rtz	D	19-8-2023 20:56	19-8-2023 20:57	G1206,33xKU 397	1323	Rtd	Rtz	IJsm	Rsd	
19-8-2023	59080	G	GO	Rtz	D	20-8-2023 6:52	20-8-2023 6:51	6400,36xFCo 357	1470	Awhvg	IJsm	Rtz	Rtd	
19-8-2023	59080	G	GO	Rtz	D	20-8-2023 6:54	20-8-2023 6:53	6400,36xFCo 357	1470	Awhvg	Rst	Wltz	Rtd	
20-8-2023	59072	G	GO	Rtz	D	20-8-2023 6:56	20-8-2023 6:57	6400,36xkLM 432	1415	Rtd	Wltz	Rst	Rsd	
20-8-2023	59072	G	GO	Rtz	D	20-8-2023 6:58	20-8-2023 6:58	6400,36xkLM 432	1415	Rtd	Rtz	IJsm	Rsd	
20-8-2023	55701	G	GO	Rtz	D	20-8-2023 8:10	20-8-2023 8:39	G1206,18xO 369	1327	Rtd	Wltz	Rst	Rsd	
20-8-2023	55701	G	GO	Rtz	D	20-8-2023 8:12	20-8-2023 8:41	G1206,18xO 369	1327	Rtd	Rtz	IJsm	Rsd	
20-8-2023	56949	G	GO	Rtz	D	20-8-2023 11:37	20-8-2023 11:37	BR203,36xF 356	774	Rtd	Wltz	Rst	Awhvg	
20-8-2023	56949	G	GO	Rtz	D	20-8-2023 11:39	20-8-2023 11:39	BR203,36xF 356	774	Rtd	Rtz	IJsm	Awhvg	
20-8-2023	56942	G	GO	Rtz	A	20-8-2023 12:56						Rst	Wltz	Wsba
20-8-2023	56942	G	GO	Rtz	V	20-8-2023 13:01	20-8-2023 13:05	BR203,36xF 356	1417	Awhvg	Rst	Rtz	Wsba	
20-8-2023	56942	G	GO	Rtz	D	20-8-2023 13:04	20-8-2023 13:42	BR203,36xF 356	1417	Awhvg	Rst	Wltz	Wsba	
20-8-2023	59081	G	GO	Rtz	D	20-8-2023 16:07	20-8-2023 16:11	6400,36xFCo 357	714	Rtd	Wltz	Rst	Awhvg	
20-8-2023	59081	G	GO	Rtz	D	20-8-2023 16:09	20-8-2023 16:12	6400,36xFCo 357	714	Rtd	Rtz	IJsm	Awhvg	
20-8-2023	56943	G	GO	Rtz	D	20-8-2023 20:35	20-8-2023 20:32	BR203,36xF 356	1346	Rtd	Wltz	Rst	Awhvg	
20-8-2023	56943	G	GO	Rtz	D	20-8-2023 20:37	20-8-2023 20:34	BR203,36xF 356	1346	Rtd	Rtz	IJsm	Awhvg	
21-8-2023	45711	G	GO	Rtz	D	21-8-2023 0:52	21-8-2023 0:45	BR189,19xS 379	2271	Bvhc	Wltz	Rst	Kn	
21-8-2023	45711	G	GO	Rtz	D	21-8-2023 0:53	21-8-2023 0:46	BR189,19xS 379	2271	Bvhc	Rtz	IJsm	Kn	
21-8-2023	42336	G	GO	Rtz	D	21-8-2023 10:08	21-8-2023 9:37	BR193,36xS 495	805	Bvhc	Wltz	Rst	Kn	
21-8-2023	42336	G	GO	Rtz	D	21-8-2023 10:10	21-8-2023 9:38	BR193,36xS 495	805	Bvhc	Rtz	IJsm	Kn	
21-8-2023	47666	G	GO	Rtz	D	21-8-2023 11:36	21-8-2023 11:33	2xHRL7,719x445	743	Esn	Rib	Rtz	Cmb	
21-8-2023	47666	G	GO	Rtz	D	21-8-2023 11:38	21-8-2023 11:34	2xHRL7,719x445	743	Esn	Rst	Wltz	Cmb	
21-8-2023	41348	G	GO	Rtz	D	21-8-2023 13:54	21-8-2023 13:52	BR193,SGGH 568	1323	Bh	Wltz	Rst	Ps	
21-8-2023	41348	G	GO	Rtz	D	21-8-2023 13:55	21-8-2023 13:54	BR193,SGGH 568	1323	Bh	Rtz	IJsm	Ps	
21-8-2023	45760	G	GO	Rtz	D	21-8-2023 15:53	21-8-2023 15:56	BR189,25xS 316	643	Bh	Rtz	IJsm	Kfhn	
21-8-2023	45760	G	GO	Rtz	D	21-8-2023 15:54	21-8-2023 15:57	BR189,25xS 316	643	Bh	Rtz	IJsm	Kfhn	
21-8-2023	43304	G	GO	Rtz	D	21-8-2023 19:24	21-8-2023 19:29	TRAXX.18xS 663	1674	Bh	Wltz	Rst	Whz	
21-8-2023	43304	G	GO	Rtz	D	21-8-2023 19:26	21-8-2023 19:31	TRAXX.18xS 663	1674	Bh	Rtz	IJsm	Whz	
21-8-2023	49716	G	GO	Rtz	D	21-8-2023 20:24						Wltz	Rst	
21-8-2023	49716	G	GO	Rtz	D	21-8-2023 20:26						Rtz	IJsm	
21-8-2023	61063	G	GO	Rtz	D	21-8-2023 21:05	21-8-2023 21:02	BR189,2x640 366	1177	Kthz	Rib	Rtz	Awhvg	
21-8-2023	61063	G	GO	Rtz	D	21-8-2023 21:06	21-8-2023 21:03	BR189,2x640 366	1177	Kthz	Rst	Wltz	Awhvg	
21-8-2023	41712	G	GO	Rtz	D	21-8-2023 21:24	21-8-2023 21:27	BR193,4xSG 605	1380	Bh	Wltz	Rst	Zlw	
21-8-2023	41712	G	GO	Rtz	D	21-8-2023 21:26	21-8-2023 21:29	BR193,4xSG 606	1380	Bh	Rtz	IJsm	Zlw	
21-8-2023	42794	G	GO	Rtz	D	21-8-2023 21:58						Wltz	Rst	
21-8-2023	61600	G	GO	Rtz	D	22-8-2023 1:11	22-8-2023 0:52	BR189,5xHA 134	467	Awhvg	Wltz	Rst	Kfhn	
21-8-2023	61600	G	GO	Rtz	D	22-8-2023 1:12	22-8-2023 0:53	BR189,5xHA 134	467	Awhvg	Rtz	IJsm	Kfhn	
21-8-2023	45742	G	GO	Rtz	D	22-8-2023 1:26	22-8-2023 1:20	BR193,Ordini 344	755	Bh	Wltz	Rst	Kfhn	
21-8-2023	45742	G	GO	Rtz	D	22-8-2023 1:28	22-8-2023 1:21	BR193,Ordini 344	755	Bh	Rtz	IJsm	Kfhn	
21-8-2023	47612	G	GO	Rtz	D	22-8-2023 1:48	22-8-2023 2:25	BR193,3xFA 416	1096	Fvs	IJsm	Rtz	Bvhc	
21-8-2023	47612	G	GO	Rtz	D	22-8-2023 1:50	22-8-2023 2:27	BR193,3xFA 416	1096	Fvs	Rst	Wltz	Bvhc	
22-8-2023	48797	G	GO	Rtz	D	22-8-2023 9:21	22-8-2023 9:22	2xTRAXX.26418	682	Kfhn	Rib	Rtz	Bh	
22-8-2023	48797	G	GO	Rtz	D	22-8-2023 9:22	22-8-2023 9:23	2xTRAXX.26418	682	Kfhn	Rst	Wltz	Bh	
22-8-2023	56932	G	GO	Rtz	D	22-8-2023 9:54						Wltz	Rst	
22-8-2023	56932	G	GO	Rtz	D	22-8-2023 9:55						Rtz	IJsm	
22-8-2023	49723	G	GO	Rtz	D	22-8-2023 13:35						Rib	Rtz	
22-8-2023	49723	G	GO	Rtz	D	22-8-2023 13:36						Rst	Wltz	
22-8-2023	41311	G	GO	Rtz	D	22-8-2023 11:35						Rib	Rtz	
22-8-2023	41311	G	GO	Rtz	D	22-8-2023 11:36						Rst	Wltz	
22-8-2023	45711	G	GO	Rtz	D	22-8-2023 12:07	22-8-2023							

24-8-2023	42797	G	GO	Rst	D	24-8-2023 0:50						Rib	Rtz		
24-8-2023	42797	G	GO	Rtz	D	24-8-2023 0:51						Rst	Wltz		
23-8-2023	61600	G	GO	Rtz	D	24-8-2023 1:11	24-8-2023 1:11	2xBR193,4xH 141	311	Awhvg	Wltz	Rtsl	Kfhn		
23-8-2023	61600	G	GO	Rst	D	24-8-2023 1:12	24-8-2023 1:12	2xBR193,4xH 141	311	Awhvg	Wltz	IJsm	Kfhn		
23-8-2023	49705	G	GO	Rst	D	24-8-2023 1:56						Rib	Rtz		
23-8-2023	49705	G	GO	Rtz	D	24-8-2023 1:57						Rst	Wltz		
23-8-2023	42992	G	GO	Rtz	D	24-8-2023 2:04	24-8-2023 2:06	BR193,UANG 596	1336	Bh	Wltz	Rtsl	Esn		
23-8-2023	42992	G	GO	Rst	D	24-8-2023 2:06	24-8-2023 2:08	BR193,UANG 596	1336	Bh	Rtz	Rib	Esn		
24-8-2023	46256	G	GO	Rst	D	24-8-2023 2:30	24-8-2023 2:26	TRAXX,LAER 571	1007	Esn	Rib	Rtz	Bh		
24-8-2023	46256	G	GO	Rtz	D	24-8-2023 2:31	24-8-2023 2:27	TRAXX,LAER 571	1007	Esn	Rst	Wltz	Bh		
24-8-2023	48570	G	GO	Rtz	D	24-8-2023 5:39	24-8-2023 5:41	BR193,2xTar 199	401	Bh	Wltz	Rtsl	Esn		
24-8-2023	48570	G	GO	Rst	D	24-8-2023 5:40	24-8-2023 5:43	BR193,2xTar 199	401	Bh	Rtz	Rib	Esn		
24-8-2023	43370	G	GO	Rtz	D	24-8-2023 6:11	24-8-2023 6:14	TRAXX,2xSD 657	1451	Bh	Wltz	Rtsl	Erp		
24-8-2023	43370	G	GO	Rst	D	24-8-2023 6:13	24-8-2023 6:15	TRAXX,2xSD 657	1451	Bh	Rtz	IJsm	Erp		
24-8-2023	51407	G	GO	Rtz	D	24-8-2023 6:25						Rib	Rtz	IJsm	
24-8-2023	51407	G	GO	Rst	D	24-8-2023 6:26						Rib	Rtz	IJsm	
24-8-2023	42796	G	GO	Rtz	D	24-8-2023 11:22	24-8-2023 11:22	ELOC1800,Z 282	474	Bh	Wltz	Rtsl	IJsm		
24-8-2023	42796	G	GO	Rst	D	24-8-2023 11:24	24-8-2023 11:23	ELOC1800,Z 282	474	Bh	Rtz	IJsm	IJsm		
24-8-2023	49727	G	GO	Rst	D	24-8-2023 13:35						Rib	Rtz		
24-8-2023	49727	G	GO	Rtz	D	24-8-2023 13:36						Rst	Wltz		
24-8-2023	41719	G	GO	Rst	D	24-8-2023 15:35	24-8-2023 15:32	BR193,18xS 605	1536	Zlw	Rib	Rtz	Bh		
24-8-2023	41719	G	GO	Rtz	D	24-8-2023 15:37	24-8-2023 15:34	BR193,18xS 605	1536	Zlw	Rst	Wltz	Bh		
24-8-2023	62070	G	GO	Rst	D	24-8-2023 18:51						Rib	Rtz		
24-8-2023	62070	G	GO	Rtz	D	24-8-2023 18:52						Rst	Wltz		
24-8-2023	43375	G	GO	Rst	D	24-8-2023 19:21						Rib	Rtz		
24-8-2023	43375	G	GO	Rtz	D	24-8-2023 19:22						Rst	Wltz		
24-8-2023	48571	G	GO	Rst	D	24-8-2023 20:35						Rib	Rtz		
24-8-2023	48571	G	GO	Rtz	D	24-8-2023 20:36						Rst	Wltz		
24-8-2023	41359	G	GO	Rst	D	24-8-2023 23:21	24-8-2023 23:23	BR193,2xSG 569	1572	Ps	Rib	Rtz	Bh		
24-8-2023	41359	G	GO	Rtz	D	24-8-2023 23:22	24-8-2023 23:24	BR193,2xSG 569	1572	Ps	Rst	Wltz	Bh		
24-8-2023	62073	G	GO	Rtz	D	24-8-2023 23:49						Wltz	Rtsl		
24-8-2023	62073	G	GO	Rst	D	24-8-2023 23:50						Rtb	IJsm		
24-8-2023	61600	G	GO	Rtz	D	25-8-2023 1:11	25-8-2023 1:17	BR193,SHIM 195	807	Awhvg	Wltz	Rtsl	Kfhn		
24-8-2023	61600	G	GO	Rtz	D	25-8-2023 1:12	25-8-2023 1:19	BR193,SHIM 195	807	Awhvg	Rtz	IJsm	Kfhn		
24-8-2023	42306	G	GO	Rtz	D	25-8-2023 3:28	25-8-2023 3:47	TRAXX,6xSG 560	1164	Bh	Wltz	Rtsl	Whz		
24-8-2023	42306	G	GO	Rst	D	25-8-2023 3:30	25-8-2023 3:49	TRAXX,6xSG 560	1164	Bh	Rtz	Rib	Whz		
24-8-2023	47760	G	GO	Rtz	D	25-8-2023 3:40	25-8-2023 3:40	BR189,3xZ 4353	569	Bh	Wltz	Rtsl	Erp		
24-8-2023	47760	G	GO	Rst	D	25-8-2023 3:41	25-8-2023 3:42	BR189,3xZ 4353	569	Bh	Rtz	Rib	Erp		
24-8-2023	41714	G	GO	Rtz	D	25-8-2023 4:43	25-8-2023 4:41	TRAXX,SGG 613	1643	Bh	Wltz	Rtsl	Ps		
24-8-2023	41714	G	GO	Rst	D	25-8-2023 4:44	25-8-2023 4:42	TRAXX,SGG 613	1643	Bh	Rtz	Rib	Ps		
25-8-2023	41350	G	GO	Rtz	D	25-8-2023 4:56						Wltz	Rtsl		
25-8-2023	41350	G	GO	Rst	D	25-8-2023 4:58						Rib	Rtz		
25-8-2023	44374	G	GO	Rtz	D	25-8-2023 5:05						Wltz	Rtsl		
25-8-2023	44374	G	GO	Rst	D	25-8-2023 5:06						Rib	Rtz		
25-8-2023	51407	G	GO	Rtz	D	25-8-2023 6:26						Wltz	Rtsl		
25-8-2023	51407	G	GO	Rst	D	25-8-2023 6:27						Rib	IJsm		
25-8-2023	48797	G	GO	Rst	D	25-8-2023 10:35						Rib	Rtz		
25-8-2023	48797	G	GO	Rtz	D	25-8-2023 10:36						Rst	Wltz		
25-8-2023	41720	G	GO	Rtz	D	25-8-2023 11:33	25-8-2023 11:24	BR193,2xSG 605	1237	Bh	Wltz	Rtsl	Zlw		
25-8-2023	41720	G	GO	Rst	D	25-8-2023 11:34	25-8-2023 11:25	BR193,2xSG 605	1237	Bh	Rtz	IJsm	Zlw		
25-8-2023	45707	G	GO	Rtz	D	25-8-2023 12:24	25-8-2023 12:25	BR193,26xS 327	1976	Bvhc	Wltz	Rtsl	Kn		
25-8-2023	45707	G	GO	Rst	D	25-8-2023 12:26	25-8-2023 12:26	BR193,26xS 327	1976	Bvhc	Rtz	IJsm	Kn		
25-8-2023	46253	G	GO	Rtz	D	25-8-2023 13:52	25-8-2023 13:54				Bh	Wltz	Rtsl	Esn	
25-8-2023	46253	G	GO	Rst	D	25-8-2023 13:54	25-8-2023 13:56				Bh	Rtz	IJsm	Esn	
25-8-2023	41305	G	GO	Rst	D	25-8-2023 14:35						Rib	Rtz		
25-8-2023	47335	G	GO	Rst	D	25-8-2023 17:05						Rib	Rtz		
25-8-2023	47335	G	GO	Rtz	D	25-8-2023 17:06						Rst	Wltz		
25-8-2023	62070	G	GO	Rst	D	25-8-2023 18:51	25-8-2023 18:49	6400,HABINS 33	118	Kfhz	Rib	Rtz	Gd		
25-8-2023	62070	G	GO	Rtz	D	25-8-2023 18:52	25-8-2023 18:51	6400,HABINS 33	118	Kfhz	Rst	Wltz	Gd		
25-8-2023	49728	G	GO	Rtz	D	25-8-2023 23:23						Wltz	Rtsl		
25-8-2023	49728	G	GO	Rst	D	25-8-2023 23:24						Rib	IJsm		
25-8-2023	41351	G	GO	Rst	D	25-8-2023 23:35	25-8-2023 23:32	BR193,19xS 664	1587	Erp	Rib	Rtz	Bh		
25-8-2023	41351	G	GO	Rtz	D	25-8-2023 23:36	25-8-2023 23:35	BR193,19xS 664	1587	Erp	Rst	Wltz	Bh		
25-8-2023	62073	G	GO	Rtz	D	25-8-2023 23:49	25-8-2023 23:42	6400,LGNS 24	97	Gd	Wltz	Rtsl	Kfhn		
25-8-2023	62073	G	GO	Rst	D	25-8-2023 23:50	25-8-2023 23:43	6400,LGNS 24	97	Gd	Rtz	IJsm	Kfhn		
25-8-2023	41749	G	GO	Rst	D	26-8-2023 0:21	26-8-2023 0:26	TRAXX,SGN 610	1991	Whz	Rib	Rtz	Kn		
25-8-2023	41749	G	GO	Rtz	D	26-8-2023 0:22	26-8-2023 0:27	TRAXX,SGN 610	1991	Whz	Rst	Wltz	Kn		
25-8-2023	61600	G	GO	Rtz	D	26-8-2023 1:12	26-8-2023 1:01	BR189,4xSH 277	425	Awhvg	Wltz	Rtsl	Kfhn		
25-8-2023	61600	G	GO	Rst	D	26-8-2023 1:14	26-8-2023 1:02	BR189,4xSH 277	425	Awhvg	Rtz	IJsm	Kfhn		
25-8-2023	40031	G	GO	Rst	D	26-8-2023 1:29	26-8-2023 1:41	BR193,SGNS 551	1437	Whz	Rib	Rtz	Kn		
25-8-2023	40031	G	GO	Rtz	D	26-8-2023 1:31	26-8-2023 1:42	BR193,SGNS 551	1437	Whz	Rst	Wltz	Kn		
25-8-2023	48743	G	GO	Rst	D	26-8-2023 1:41	26-8-2023 1:52	2xBR189,2xP 593	3936	Mvt	Rib	Rtz	Kn		
25-8-2023	48743	G	GO	Rtz	D	26-8-2023 1:43	26-8-2023 1:54	2xBR189,2xP 593	3936	Mvt	Rst	Wltz	Kn		
25-8-2023	40205	G	GO	Rst	D	26-8-2023 1:54	26-8-2023 2:02	BR193,UANG 586	1754	Bot	Rib	Rtz	Kn		
25-8-2023	40205	G	GO	Rtz	D	26-8-2023 1:56	26-8-2023 2:04	BR193,UANG 586	1754	Bot	Rst	Wltz	Kn		
25-8-2023	43350	G	GO	Rtz	D	26-8-2023 2:06	26-8-2023 2:04	BR193,SGM 592	1029	Kn	Wltz	Rtsl	Mvtww		
25-8-2023	44787	G	GO	Rst	D	26-8-2023 2:07	26-8-2023 2:07				Rib	Rtz			
25-8-2023	43340	G	GO	Rtz	D	26-8-2023 2:48	26-8-2023 3:24	BR193,25xS 673	1481	Kn	Wltz	Rtsl	Mvtww		
26-8-2023	43340	G	GO	Rst	D	26-8-2023 3:50	26-8-2023 3:25	BR193,25xS 673	1481	Kn	Rtz	IJsm	Mvtww		
26-8-2023	48732	G	GO	Rtz	D	26-8-2023 4:05						Wltz	Rtsl		
26-8-2023	48732	G	GO	Rst	D	26-8-2023 4:07						Rib	IJsm		
26-8-2023	41734	G	GO	Rtz	D	26-8-2023 4:40	26-8-2023 4:23	TRAXX,14xS 684	1089	Kn	Wltz	Rtsl	Mvtww		
26-8-2023	41734	G	GO	Rst	D	26-8-2023 4:41	26-8-2023 4:25	TRAXX,14							

27-8-2023	43374	G	GO	Rtz	D	27-8-2023 13:24							Wltz	Rst	
27-8-2023	43374	G	GO	Rtz	D	27-8-2023 13:26							Rtz	IJsm	
27-8-2023	49729	G	GO	Rtz	D	27-8-2023 13:35	27-8-2023 13:39	TRAXX.3xZA385	2035	Kfhz	Rib	Rtz	Bh		
27-8-2023	49729	G	GO	Rtz	D	27-8-2023 13:36	27-8-2023 13:40	TRAXX.3xZA385	2035	Kfhz	Rst	Wltz	Bh		
27-8-2023	47340	G	GO	Rtz	D	27-8-2023 16:24							Wltz	Rst	
27-8-2023	47340	G	GO	Rtz	D	27-8-2023 16:26							Rtz	IJsm	
27-8-2023	40028	G	GO	Rtz	D	27-8-2023 17:24	27-8-2023 17:24	BR193,SGNs506	1500	Bh	Wltz	Rst	Whz		
27-8-2023	40028	G	GO	Rtz	D	27-8-2023 17:25	27-8-2023 17:25	BR193,SGNs506	1500	Bh	Rtz	IJsm	Whz		
27-8-2023	40257	G	GO	Rtz	D	27-8-2023 18:29	27-8-2023 18:27	BR193,SGNs559	1430	Whz	Rib	Rtz	Kn		
27-8-2023	40257	G	GO	Rtz	D	27-8-2023 18:31	27-8-2023 18:30	BR193,SGNs559	1430	Whz	Rst	Wltz	Kn		
27-8-2023	42750	G	GO	Rtz	D	27-8-2023 21:12							Wltz	Rst	
27-8-2023	42750	G	GO	Rtz	D	27-8-2023 21:14							Rtz	IJsm	
27-8-2023	48798	G	GO	Rtz	D	27-8-2023 23:24							Wltz	Rst	
27-8-2023	48798	G	GO	Rtz	D	27-8-2023 23:26							Rtz	IJsm	
27-8-2023	63161	G	GO	Rtz	D	28-8-2023 0:57							Wltz	Rst	
27-8-2023	63161	G	GO	Rtz	D	28-8-2023 0:58							Rtz	IJsm	
27-8-2023	45744	G	GO	Rtz	D	28-8-2023 1:21							Wltz	Rst	
27-8-2023	45744	G	GO	Rtz	D	28-8-2023 1:23							Rtz	IJsm	
28-8-2023	41350	G	GO	Rtz	D	28-8-2023 9:54	28-8-2023 9:52	BR193,19xSI663	1505	Bh	Wltz	Rst	Erp		
28-8-2023	41350	G	GO	Rtz	D	28-8-2023 9:56	28-8-2023 9:54	BR193,19xSI663	1505	Bh	Rtz	IJsm	Erp		
28-8-2023	42797	G	GO	Rtz	D	28-8-2023 10:21	28-8-2023 10:22	ELOC1800.F513	2366	Kfhz	Rib	Rtz	Bh		
28-8-2023	42797	G	GO	Rtz	D	28-8-2023 10:22	28-8-2023 10:23	ELOC1800.F513	2366	Kfhz	Rst	Wltz	Bh		
28-8-2023	63120	G	GO	Rtz	D	28-8-2023 10:24							Wltz	Rst	
28-8-2023	63120	G	GO	Rtz	D	28-8-2023 10:26							Rtz	IJsm	
28-8-2023	51040	G	GO	Rtz	D	28-8-2023 10:35	28-8-2023 10:34	BR203,7xZ325	523	Whz	IJsm	Rtz	Vdgvch		
28-8-2023	51040	G	GO	Rtz	D	28-8-2023 10:36	28-8-2023 10:36	BR203,7xZ325	523	Whz	Rst	Wltz	Vdgvch		
28-8-2023	45711	G	GO	Rtz	D	28-8-2023 11:40	28-8-2023 11:36	BR193,3xSA292	1819	Bvhc	Wltz	Rst	Kn		
28-8-2023	45711	G	GO	Rtz	D	28-8-2023 11:41	28-8-2023 11:37	BR193,3xSA292	1819	Bvhc	Rtz	IJsm	Kn		
28-8-2023	45760	G	GO	Rtz	D	28-8-2023 15:53							Wltz	Rst	
28-8-2023	45760	G	GO	Rtz	D	28-8-2023 15:54							Rtz	IJsm	
28-8-2023	43375	G	GO	Rtz	D	28-8-2023 19:35							Rib	Rtz	
28-8-2023	43375	G	GO	Rtz	D	28-8-2023 19:36							Rst	Wltz	
28-8-2023	61063	G	GO	Rtz	D	28-8-2023 21:05	28-8-2023 21:04	BR193,SHIM577	1674	Kfhz	Rib	Rtz	Awhvg		
28-8-2023	61063	G	GO	Rtz	D	28-8-2023 21:06	28-8-2023 21:05	BR193,SHIM577	1674	Kfhz	Rst	Wltz	Awhvg		
28-8-2023	49716	G	GO	Rtz	D	28-8-2023 23:24	28-8-2023 23:21	TRAXX,UAN334	542	Bh	Wltz	Rst	Whz		
28-8-2023	49716	G	GO	Rtz	D	28-8-2023 23:26	28-8-2023 23:22	TRAXX,UAN334	542	Bh	Rtz	IJsm	Whz		
28-8-2023	41359	G	GO	Rtz	D	28-8-2023 23:35	28-8-2023 23:36	BR193,2xSG610	1807	Ps	Rib	Rtz	Bh		
28-8-2023	41359	G	GO	Rtz	D	28-8-2023 23:36	28-8-2023 23:37	BR193,2xSG610	1807	Ps	Rst	Wltz	Bh		
28-8-2023	41307	G	GO	Rtz	D	29-8-2023 0:05	28-8-2023 0:05	BR193,4xSG577	875	Erp	Rib	Rtz	Bh		
28-8-2023	41307	G	GO	Rtz	D	29-8-2023 0:06	29-8-2023 0:01	BR193,4xSG577	875	Erp	Rst	Wltz	Bh		
28-8-2023	43307	G	GO	Rtz	D	29-8-2023 0:19							Rib	Rtz	
28-8-2023	43307	G	GO	Rtz	D	29-8-2023 0:21							Rst	Wltz	
28-8-2023	41792	G	GO	Rtz	D	29-8-2023 0:24							Rtz	Rst	
28-8-2023	43304	G	GO	Rtz	D	29-8-2023 0:24	29-8-2023 0:23	TRAXX,5xSG664	1416	Bh	Wltz	Rst	Whz		
28-8-2023	41792	G	GO	Rtz	D	29-8-2023 0:26							Rtz	IJsm	
28-8-2023	43304	G	GO	Rtz	D	29-8-2023 0:26	29-8-2023 0:24	TRAXX,5xSG664	1416	Bh	Rtz	IJsm	Whz		
28-8-2023	45742	G	GO	Rtz	D	29-8-2023 0:50	29-8-2023 0:51	BR189,3xZA558	1220	Bh	Wltz	Rst	Kfhn		
28-8-2023	45742	G	GO	Rtz	D	29-8-2023 0:51	29-8-2023 0:52	BR189,3xZA558	1220	Bh	Rtz	IJsm	Kfhn		
28-8-2023	61600	G	GO	Rtz	D	29-8-2023 1:11							Wltz	Rst	
28-8-2023	61600	G	GO	Rtz	D	29-8-2023 1:12							Rib	Rtz	
28-8-2023	47612	G	GO	Rtz	D	29-8-2023 1:47	29-8-2023 1:25	BR193,9xSH122	296	Fvs	IJsm	Rtz	Bvhc		
28-8-2023	47612	G	GO	Rtz	D	29-8-2023 1:49	29-8-2023 1:26	BR193,9xSH122	296	Fvs	Rst	Wltz	Bvhc		
28-8-2023	48780	G	GO	Rtz	D	29-8-2023 3:13	29-8-2023 3:24	TRAXX,4xZA353	1847	Bh	Wltz	Rst	Kfhn		
28-8-2023	48780	G	GO	Rtz	D	29-8-2023 3:14	29-8-2023 3:26	TRAXX,4xZA353	1847	Bh	Rtz	IJsm	Kfhn		
28-8-2023	42306	G	GO	Rtz	D	29-8-2023 5:17	29-8-2023 4:48	TRAXX,21xS663	1561	Bh	Wltz	Rst	Whz		
28-8-2023	41714	G	GO	Rtz	D	29-8-2023 5:54	29-8-2023 5:54	BR193,SGM695	1129	Bh	Wltz	Rst	Ps		
28-8-2023	41714	G	GO	Rtz	D	29-8-2023 5:55	29-8-2023 5:55	BR193,SGM695	1129	Bh	Rtz	IJsm	Ps		
28-8-2023	46267	G	GO	Rtz	D	29-8-2023 8:35							Rib	Rtz	
28-8-2023	46267	G	GO	Rtz	D	29-8-2023 8:36							Rst	Wltz	
28-8-2023	46267	G	GO	Rtz	D	29-8-2023 8:36							Rib	Rtz	
28-8-2023	56151	G	GO	Rtz	D	29-8-2023 9:54	29-8-2023 9:54	BR203,6xOrd291	1009	Cmb	Wltz	Rst	Kfhz		
28-8-2023	56151	G	GO	Rtz	D	29-8-2023 9:55	29-8-2023 9:55	BR203,6xOrd291	1009	Cmb	Rtz	IJsm	Kfhz		
28-8-2023	49797	G	GO	Rtz	D	29-8-2023 11:35	29-8-2023 11:30	ELOC1800,4x0	782	Kfhz	Rib	Rtz	Bh		
28-8-2023	49797	G	GO	Rtz	D	29-8-2023 11:36	29-8-2023 11:32	ELOC1800,4x0	782	Kfhz	Rst	Wltz	Bh		
28-8-2023	48797	G	GO	Rtz	D	29-8-2023 12:35							Kfhn	Rst	Whz
28-8-2023	48797	G	GO	Rtz	D	29-8-2023 12:36							Rib	Rtz	Bh
28-8-2023	49723	G	GO	Rtz	D	29-8-2023 13:35							Rib	Rtz	
28-8-2023	49723	G	GO	Rtz	D	29-8-2023 13:36							Rst	Wltz	
28-8-2023	49723	G	GO	Rtz	D	29-8-2023 13:36							Rib	Rtz	
28-8-2023	45702	G	GO	Rtz	D	29-8-2023 14:35	29-8-2023 14:40	?ZACENS,?369	1819	Whz	Rib	Rtz	Bh		
28-8-2023	45702	G	GO	Rtz	D	29-8-2023 14:36	29-8-2023 14:41	?ZACENS,?369	1819	Whz	Rst	Wltz	Bh		
28-8-2023	41310	G	GO	Rtz	D	29-8-2023 16:54							Wltz	IJsm	Usma
28-8-2023	41310	G	GO	Rtz	D	29-8-2023 16:56							Rib	Rtz	
28-8-2023	62070	G	GO	Rtz	D	29-8-2023 18:51							Rib	Rtz	
28-8-2023	62070	G	GO	Rtz	D	29-8-2023 18:52							Rst	Wltz	
28-8-2023	46266	G	GO	Rtz	D	29-8-2023 19:24							Wltz	Rst	
28-8-2023	46266	G	GO	Rtz	D	29-8-2023 19:26							Rib	Rtz	
28-8-2023	41540	G	GO	Rtz	D	29-8-2023 19:35	29-8-2023 19:27	BR193,5xUA363	1929	Mvtw	Rib	Rtz	Bh		
28-8-2023	41540	G	GO	Rtz	D	29-8-2023 19:36	29-8-2023 19:28	BR193,5xUA363	1929	Mvtw	Rst	Wltz	Bh		
28-8-2023	56152	G	GO	Rtz	D	29-8-2023 20:07	29-8-2023 20:08	BR203,3xKL293	392	Kfhz	Rib	Rtz	Cmb		
28-8-2023	56152	G	GO	Rtz	D	29-8-2023 20:09	29-8-2023 20:37	BR193,18xSI630	1676	Erp	Rib	Rtz	Bh		
28-8-2023	41351	G	GO	Rtz	D	29-8-2023 20:36	29-8-2023 20:40	BR193,18xSI630	1676	Erp	Rst	Wltz	Bh		
28-8-2023	61063	G	GO	Rtz	D	29-8-2023 21:05	29-8-2023 21:05	BR193,6xHA141							

30-8-2023	42796	G	GO	Rtz	D	30-8-2023 17:54	30-8-2023 17:57	ELOC1800,Z345	549	Bh	Wiltz	Rtst	Kfhz	
30-8-2023	42796	G	GO	Rtst	D	30-8-2023 17:56	30-8-2023 17:58	ELOC1800,Z345	549	Bh	Rtz	Ijsm	Kfhz	
30-8-2023	62070	G	GO	Rtz	D	30-8-2023 18:51	30-8-2023 18:48	6400,LAAII,S65	168	Kfhz	Rib	Rtst	Gd	
30-8-2023	62070	G	GO	Rtz	D	30-8-2023 18:52	30-8-2023 18:50	6400,LAAII,S65	168	Kfhz	Rtst	Wiltz	Gd	
30-8-2023	49726	G	GO	Rtz	D	30-8-2023 19:24	30-8-2023 19:46	TRAXX,3xZA385	615	Bh	Wiltz	Rtst	Kfhz	
30-8-2023	49726	G	GO	Rtz	D	30-8-2023 19:48	30-8-2023 19:48	TRAXX,3xZA385	615	Bh	Rtz	Ijsm	Kfhz	
30-8-2023	43375	G	GO	Rtz	D	30-8-2023 19:35	30-8-2023 19:31	TRAXX,4xSD658	1239	Erp	Rib	Rtst	Bh	
30-8-2023	43375	G	GO	Rtz	D	30-8-2023 19:36	30-8-2023 19:37	TRAXX,4xSD658	1239	Erp	Rtst	Wiltz	Bh	
30-8-2023	41348	G	GO	Rtz	D	30-8-2023 20:23	30-8-2023 20:22	BR193,SGM#571	1294	Bh	Wiltz	Rtst	Ps	
30-8-2023	41348	G	GO	Rtz	D	30-8-2023 20:24	30-8-2023 20:24	BR193,SGM#571	1294	Bh	Rtz	Ijsm	Ps	
30-8-2023	41351	G	GO	Rtst	D	30-8-2023 20:35	30-8-2023 20:38	BR193,19xSI664	1761	Erp	Rib	Rtst	Bh	
30-8-2023	41351	G	GO	Rtz	D	30-8-2023 20:36	30-8-2023 20:39	BR193,19xSI664	1761	Erp	Rst	Wiltz	Bh	
30-8-2023	41788	G	GO	Rtz	D	30-8-2023 21:29	30-8-2023 21:33	TRAXX,7xZA354	587	Erp	Rib	Rtst	Bh	
30-8-2023	41788	G	GO	Rtz	D	30-8-2023 21:30	30-8-2023 21:34	TRAXX,7xZA354	587	Erp	Rst	Wiltz	Bh	
30-8-2023	62073	G	GO	Rtz	D	30-8-2023 22:24	30-8-2023 22:24	6400,HABIN,S34	110	Gd	Wiltz	Rtst	Kfhz	
30-8-2023	62073	G	GO	Rtst	D	30-8-2023 22:25	30-8-2023 22:25	6400,HABIN,S34	110	Gd	Rtz	Ijsm	Kfhz	
30-8-2023	50139	G	GO	Rtz	D	30-8-2023 22:35	30-8-2023 22:31	G2000,21xS668	1536	Mvtww	Rib	Rtz	Tbi	
30-8-2023	50139	G	GO	Rtz	D	30-8-2023 22:36	30-8-2023 22:33	G2000,21xS668	1536	Mvtww	Rst	Wiltz	Tbi	
30-8-2023	43305	G	GO	Rtz	D	30-8-2023 23:03	30-8-2023 23:04	TRAXX,SGG#666	1677	Whz	Rib	Rtz	Bh	
30-8-2023	43305	G	GO	Rtz	D	30-8-2023 23:05	30-8-2023 23:05	TRAXX,SGG#666	1677	Whz	Rst	Wiltz	Bh	
30-8-2023	41359	G	GO	Rtz	D	30-8-2023 23:21	30-8-2023 23:28	TRAXX,SGN#614	1851	Ps	Rib	Rtz	Bh	
30-8-2023	41359	G	GO	Rtz	D	30-8-2023 23:22	30-8-2023 23:30	TRAXX,SGN#614	1851	Ps	Rst	Wiltz	Bh	
30-8-2023	49792	G	GO	Rtz	D	30-8-2023 23:24	30-8-2023 23:24	ELOC1800,?279	1311	Bh	Wiltz	Rtst	Kfhz	
30-8-2023	49792	G	GO	Rtst	D	30-8-2023 23:26	30-8-2023 23:25	ELOC1800,?279	1311	Bh	Rtz	Ijsm	Kfhz	
30-8-2023	41714	G	GO	Rtz	D	31-8-2023 0:48					Wiltz	Rtst		
30-8-2023	41714	G	GO	Rtz	D	31-8-2023 0:49					Rtz	Ijsm		
30-8-2023	61600	G	GO	Rtz	D	31-8-2023 1:11	31-8-2023 1:16				Awhvg	Rtz	Rtst	Kfhz
30-8-2023	61600	G	GO	Rtst	D	31-8-2023 1:12	31-8-2023 1:17				Awhvg	Rtz	Ijsm	Kfhz
30-8-2023	49705	G	GO	Rtz	D	31-8-2023 1:56					Rib	Rtz		
30-8-2023	49705	G	GO	Rtz	D	31-8-2023 1:57					Rst	Wiltz		